

CONTRIBUȚII PRIVIND ÎMBUNĂȚIREA TEHNICILOR DE EGALIZARE ALE CANALELOR RADIO

Teză destinată obținerii
titlului științific de doctor inginer
la
Universitatea *Politehnica* Timișoara
în domeniul INGINERIE ELECTRONICĂ
ȘI TELECOMUNICAȚII
de către

ing. Florin Lucian Morgoș

Conducător științific: prof.univ.dr.ing. Miranda Naforniță
Referenți științifici: prof.univ.dr.ing. Cornelia Gordan
conf.univ.dr.ing. Romulus Terebeș
prof.univ.dr.ing. Alexandru Isar

Ziua susținerii tezei: 10 Ianuarie 2014

Seriile Teze de doctorat ale UPT sunt:

- | | |
|---|--|
| 1. Automatică | 9. Inginerie Mecanică |
| 2. Chimie | 10. Știința Calculatoarelor |
| 3. Energetică | 11. Știința și Ingineria Materialelor |
| 4. Ingineria Chimică | 12. Ingineria sistemelor |
| 5. Inginerie Civilă | 13. Inginerie energetică |
| 6. Inginerie Electrică | 14. Calculatoare și tehnologia informației |
| 7. Inginerie Electronică și Telecomunicații | 15. Ingineria materialelor |
| 8. Inginerie Industrială | 16. Inginerie și Management |

Universitatea *Politehnica* din Timișoara a inițiat seriile de mai sus în scopul diseminării expertizei, cunoștințelor și rezultatelor cercetărilor întreprinse în cadrul scolii doctorale a universității. Seriile conțin, potrivit H.B.Ex.S Nr. 14 / 14.07.2006, tezele de doctorat susținute în universitate începând cu 1 octombrie 2006.

Copyright © Editura Politehnica – Timișoara, 2014

Această publicație este supusă prevederilor legii dreptului de autor. Multiplicarea acestei publicații, în mod integral sau în parte, traducerea, tipărirea, reutilizarea ilustrațiilor, expunerea, radiodifuzarea, reproducerea pe microfilme sau în orice altă formă este permisă numai cu respectarea prevederilor Legii române a dreptului de autor în vigoare și permisiunea pentru utilizare obținută în scris din partea Universității *Politehnica* din Timișoara. Toate încălcările acestor drepturi vor fi penalizate potrivit Legii române a drepturilor de autor.

România, 300159 Timișoara, Bd. Republicii 9,
tel. 0256 403823, fax. 0256 403221
e-mail: editura@edipol.upt.ro

CUVÂNT ÎNAINTE

Cu prilejul finalizării procesului de elaborare a tezei de doctorat în cadrul Departamentului de Comunicații al Universității "Politehnica" din Timișoara, aduc mulțumiri, în mod deosebit, conducătorului științific, D-nei prof. univ. dr. ing. Miranda Naforniță, pentru sprijinul deplin acordat pe parcursul perioadei de studiu și pregătire. Grație profesionalismului său academic și a cunoștințelor împărtășite, domnia sa a avut o contribuție deosebită în realizarea și finalizarea acestei lucrări.

Doresc să mulțumesc domnilor colegi din Departamentul de Electronică și Telecomunicații din cadrul Universității din Oradea și, de asemenea, D-nei prof. univ. dr. ing. Cornelia Gordan, coordonatoarea acestui departament, pentru punctele de vedere exprimate, recomandările utile furnizate și sprijinul moral acordat pe parcursul întregii perioade de pregătire.

Mulțumesc de asemenea referenților științifici din Comisia de doctorat, pentru participarea la susținerea publică a tezei, pentru bunăvoința și timpul acordat analizei acestei lucrări.

În final, doresc să mulțumesc celor apropiați pentru înțelegerea, ajutorul și încurajările acordate pe parcursul realizării acestei lucrări.

Timișoara, Ianuarie 2014

Morgos Lucian

Morgoș, Florin Lucian

Contribuții privind îmbunătățirea tehnicilor de egalizare ale canalelor radio

Teze de doctorat ale UPT, Seria 7, Nr. 67, Editura Politehnica, 2014, 148 pagini, 81 figuri, 6 tabele.

ISSN: 1842-7014

ISBN: 978-606-554-758-2

Cuvinte cheie: egalizor, turbocodor, turboegalizor, estimator.

Rezumat, Scopul principal al tezei este de a propune și studia îmbunătățirea tehnicilor de egalizare ale canalelor radio. Întrucât în ultimii ani a crescut exponențial numărul de utilizatori ai rețelelor fără fir (wireless), creșterea capacității acestor sisteme de transmisiuni este o problemă continuă de cercetare. Capacitatea este limitată de zgomotul din canal, de interferențe, și de modificarea stării canalului ca urmare a mobilității utilizatorilor. Interferența se poate elimina, reduce sau evita, prin tehnici adecvate de egalizare a canalului sau alte tehnici de prelucrare a semnalului. Pentru a studia importanța egalizării s-a considerat transmisia unei secvențe de date, care a fost codată cu un turbocodor și apoi modulată BPSK. Această secvență este transmisă printr-un canal cu zgomot care are răspunsul la impuls. La partea de recepție, egalizarea canalului și turbodecodarea sunt realizate prima dată independent, iar apoi se fac împreună cu un turboegalizor. O problemă importantă este estimarea răspunsului la impuls al canalului. Sunt prezentate metode de estimare a răspunsului la impuls al canalului precum și rezultatele obținute în funcție de corectitudinea estimării. Pentru rafinarea estimării este propusă estimarea iterativă care oferă performanțe superioare față de estimarea neiterativă.

CUPRINS

Abrevieri.....	7
Lista tabelor.....	9
Lista figurilor.....	10
Capitolul 1. Introducere.....	14
1.1 Limitările canalelor de comunicație.....	14
1.2 Canalul AWGN	15
1.3 Modele de canale cu interferență.....	16
1.3.1 Alocarea optimala a puterii - water filling	18
1.3.2 Alocarea puterii fără water-filling	22
1.4 Comparația dintre ratele maxime de informație	24
Capitolul 2. Scheme clasice de detecție.....	26
2.1 Detecția ML	26
2.2 Detecția liniară.....	29
2.2.1 Filtrul adaptat de albire.....	29
2.2.2 Egalizorul bloc liniar ZF	30
2.2.3 Egalizorul bloc liniar MMSE	30
2.3 Detectorul cu reacție decizională.....	31
2.3.1 Egalizorul bloc liniar ZF cu reacție (ZF – BDFE).....	32
2.3.2 Egalizorul MMSE bloc cu reacție decizionala (MMSE-BDFE).....	32
2.4 Detecția multinivel.....	33
2.4.1 Supresorul interferenței.....	34
2.4.2 Eroarea medie pătratică, MSE.....	34
2.4.3 Supresorul adaptiv al interferenței.....	35
Capitolul 3. Decodare MAP utilizând algoritmul BCJR.....	37
3.1 Implementarea algoritmului BCJR.....	41
3.2 Rezultate obținute.....	44
3.2.1 Cazul estimării perfecte a canalului.....	52
3.2.2 Cazul estimării cu algoritmul LS.....	53
Capitolul 4. Turbo egalizarea.....	56
4.1 Principiul egalizării turbo utilizând unul sau mai multe decodoare.....	59
4.2 Turbo Egalizor cu intrare și ieșire soft	64
4.3 Decodor cu intrare și ieșire soft pentru egalizarea turbo.....	64
4.4 Exemple de egalizare turbo.....	71
4.5 Rezultate obținute	89
4.5.1 Estimarea canalului la transmisia BPSK.....	89
4.5.1.1 Estimare perfecta a canalului.....	90
4.5.1.2 Estimare eronata a canalului.....	91
4.5.2 Estimarea canalului la transmisia OFDM.....	96
4.5.2.1 Rata erorii de bit (BER) în funcție de raportul semnal zgomot utilizând algoritmul de estimare LS.....	98
4.5.2.2 Rata erorii de bit (BER) în funcție de raportul semnal zgomot utilizând algoritmul de estimare MMSE.....	100
4.5.2.3 Comparație între rezultatele obținute cu schema din figura 4.17 utilizând algoritmi LS si MMSE	102

4.5.2.4 Comparație între rezultatele obținute cu schema din figura 4.21 utilizând algoritmi LS și MMSE.....	104
Capitolul 5. Contribuții și concluzii.....	106
Bibliografie citată și consultată.....	111
Anexa 1.....	118
Anexa 2.....	129

ABREVIERI

ACI - Adjacent Channel Interference
AWGN - Additive White Gaussian Noise
BCJR - Bahl-Cocke-Jelinek-Raviv Algorithm
BDFE - Block Decision-Feedback Equalizer
BER - Bit Error Rate
BPSK - Binary Phase Shift Keying
CCI - Co Channel Interference
CDMA - Code Division Multiple Access
CIR - Channel Impulse Response
CISI - Controlled Inter Symbol Interference
CSI - Channel State Information
DFE - Decision Feedback Detector/Equalizer
DFFT - Discrete Fast Fourier Transform
DFT - Discrete Fourier Transform
DMT - Discrete Multi-Ton
ECC - Error Correcting Codes
FER - Frame Error Rate
FIR - Finite Impulse Response
GMSK - Gaussian Minimum Shift Keying
IC - Interference Canceller
IDFT - Inverse Discrete Fourier Transform
IFFT - Inverse Fast Fourier Transform
ISI - Inter Symbol Interference
LDPC - Low Density Parity Check
LE - Linear Equalizer
LLR - Log-Likelihood Ratio
LMS - Least Mean Square
Log-MAP- Logarithm-MAP
LS - Least-Square
MAI - Multiple Access Interference
MAP - Maximum A Posteriori
MIMO - Multiple Input Multiple Output
ML - Maximum Likelihood
MMSE - Minimum Mean Square Error
MSE - Mean Square Error
OFDM - Orthogonal Frequency Division Multiplex
PLL - Phase Loop Locked
QAM - Quadrature Amplitude Modulation
RFI - Radio Frequency Interference
RLS - Recursive Least Square
RSC - Recursive Systematic Convolutional Code
SINR - Signal to Interference Plus Noise Ratio
SISO - Soft Input Soft Output
SNR - Signal to Noise Ratio

SOVA - Soft Output Viterbi Algorithm

WMF - Whitening Matched Filter

ZF - Zero Forcing

ZF-BLE - Zero Forcing Block Linear Equalizer

LISTA TABELELOR

- 4.1 Biții sursă transmiși și biții codificați corespunzători produși de un codor convoluțional recursiv la o rată $R=1/2$ și $K=3$ folosind polinoamele generatoare octale $G_0 = 7$ și $G_1 = 5$
- 4.2 Valorile logaritmului pentru diferite valori ale f_{dif}
- 4.3 Informațiile recepționate și generate de egalizor
- 4.4 Metricile decodurului de canal extrase din simulări după prima iterație de turbo egalizare
- 4.5 Diferite metrici de egalizare extrase din simulări după a doua iterație.
- 4.6 Metricile decodurului de canal extrase din simulări după a doua iterație de turbo egalizare. Nu se recepționează informațiile a-priori APRI-S.

LISTA FIGURILOR

- 1.1. Modelul canalului
- 1.2. Alocarea energiei utilizând algoritmul "water pouring/filling"
- 1.3. Exemplu Uplink pentru sistemul CDMA
- 1.4. Sistem de antene multiple
- 1.5. Canal cu ISI
- 1.6. Un sistem de comunicare, care pre-anulează interferența de canal
- 1.7. Decodarea și detecția comună optimală
- 1.8. Separarea clasică (suboptimală) a detecției și decodării
- 1.9. Ratele de informație pentru canalul cu ISI având răspunsul la impuls dat de relația (1.23)
- 2.1. Detecția de plauzibilitate maximă, ML (Maximum Likelihood)
- 2.2. (a) Latice mărginită reprezentând mulțimea vectorilor necodați
- 2.2. (b) Regiunile de decizie corespunzătoare pentru canalul AWGN
- 2.3. (a) Latice mărginită reprezentând toți vectorii posibili Hx pentru un canal cu interferență
- 2.3. (b) Regiunile de decizie corespunzătoare
- 2.4. Detecția liniară
- 2.5. Structura WMF
- 2.6. Structura ZF-BLE
- 2.7. Structura MMSE -BLE
- 2.8. Detectorul cu reacție decizională
- 2.9. Structura egalizorului ZF-BDFE
- 2.10. Detectorul multinivel
- 2.11. Supresorul interferenței
- 3.1. Decodorul turbo
- 3.2. Codorul turbo
- 3.3. Codor convoluțional ($G = [111 ; 101]$)
- 3.4. Diagrama de stare a codorului
- 3.5. Tranziția stărilor pentru matricea generatoare $G = [111; 101]$ utilizată pentru calcularea coeficienților γ , unde S^+ corespunde tranziției (s', s) cu $x_k = +1$ în diagrama de trellis
- 3.6. Probabilitatea erorii pe bit pentru o modulație BPSK (numărul biților transmiși este 10^6)
- 3.7. Rata erorii de bit în funcție de numărul de iterații ($E_b / N_0 = 0,2$, numărul de biți=100)
- 3.8. Rata erorii de bit în funcție de numărul de iterații ($E_b / N_0 = 0,5$, numărul de biți=100)
- 3.9. Rata erorii pe bit în funcție de numărul de iterații ($E_b / N_0 = 0,2$, numărul de biți=10000)

- 3.10. Rata erorii pe bit în funcție de numărul de iterații ($E_b / N_0 = 0,5$, numărul de biți=10000)
- 3.11. BER/SNR (numărul de biți=10)
- 3.12. BER/SNR (numărul de biți=100)
- 3.13. Schema bloc a sistemului de transmisie – recepție care realizează la recepție estimarea și egalizarea canalului
- 3.14. BER/SNR în cazul egalizării MMSE și ZF ($k = 10^5, h = \hat{h} = [0.213 \ 0.812 \ 0.312]$)
- 3.15. BER/SNR ($h = [0.2 \ 0.9 \ 0.3], N = 8, k = 128$)
- 3.16. BER/SNR ($h = [0.2 \ 0.9 \ 0.3], N = 16, k = 128$)
- 3.17. Schema bloc a sistemului de transmisie – recepție care realizează la recepție estimarea iterativă și egalizarea canalului
- 3.18. BER/SNR ($h = \hat{h} = [0.2 \ 0.9 \ 0.3], k = 128$)
- 3.19. BER/SNR ($h = [0.2 \ 0.9 \ 0.3], k = 128, N = 8$)
- 3.20. BER/SNR ($h = [0.2 \ 0.9 \ 0.3], k = 128, N = 16$)
- 4.1. Sistem serial format din codor convoluțional, dispozitiv de întrețesere, modulator BPSK și un turbo egalizor, care efectuează egalizare, demodulare și decodare iterativă.
- 4.2. Structura originală a egalizorului turbo introdusă de C.Douillard
- 4.3. Schema decodurului utilizat în turboegalizare
- 4.4. Schema decodurului utilizat în turbodecodare
- 4.5. Structura unui egalizor turbo având două decodoare componente
- 4.6. Schema egalizorului SISO cu accent pe informația de intrare și de ieșire a acestuia la iterația p
- 4.7. Schema decodurului SISO cu accent pe informația de intrare și de ieșire a acestuia la iterația p
- 4.8. Trellisul pentru un decodor convoluțional ($K = 3$ RSC) la intervalul de trellis d al decodurului, unde reprezentarea în octal a polinoamelor generatoare G_0 și G_1 este de 7 și respectiv 5
- 4.9. Simbolul spațiat în canalul static cu trei căi
- 4.10. Schema unui sistem utilizând codarea convoluțională, modulația BPSK și schema egalizorului turbo din figura 4.2.
- 4.11. Reprezentarea tranzițiilor legitime pe trellis ale egalizorului
- 4.12. Calcularea termenului $A_m(k)$ pentru egalizorul turbo din figura 4.10 prin recursivitate înainte utilizând modelul de canal din figura 4.9 și o serie de valori $\Gamma_m(k', k)$ care au fost calculate
- 4.13. Calcularea termenului $B_m(k')$ pentru egalizorul turbo din figura 4.10 prin recursivitate înapoi utilizând modelul de canal din figura 4.9 și o serie de valori $\Gamma_m(k', k)$ care au fost calculate
- 4.14. (a) Tranzițiile de trellis ale egalizorului, care au fost luate în considerare atunci când calculăm valorile LLR corespunzătoare biților $u_m = -1$ la intervalul de trellis $m=6$

- 4.14. (b) Tranzițiile de trellis ale egalizorului, care au fost luate în considerare atunci când calculăm valorile LLR corespunzătoare biților $u_m = +1$ la intervalul de trellis $m=6$
- 4.15. (a) Tranzițiile de trellis ale decodoarelor de canal cu $K=3$ RSC și $R=1/2$, care au fost luate în considerare atunci când se calculează valorile LLR corespunzătoare bitului $c_{1,4} = -1$, care este primul bit codat la intervalul de trellis $d=4$. Trellisul este bazat pe figura 4.8.
- 4.15. (b) Tranzițiile de trellis ale decodoarelor de canal cu $K=3$, RSC și $R=1/2$, care au fost luate în considerare atunci când se calculează valorile LLR corespunzătoare bitului $c_{1,4} = +1$, care este primul bit codat la intervalul de trellis $d=4$. Trellisul este bazat pe figura 4.8.
- 4.16. (a) Tranzițiile de trellis ale decodoarelor de canal cu $K=3$ RSC și $R=1/2$, care au fost luate în considerare atunci când se calculează valorile LLR corespunzătoare bitului $c_{2,4} = -1$, care este al doilea bit codat la intervalul de trellis $d=4$. Trellisul este bazat pe figura 4.8.
- 4.16. (b) Tranzițiile de trellis ale decodoarelor de canal cu $K=3$ RSC și $R=1/2$, care au fost luate în considerare atunci când se calculează valorile LLR corespunzătoare bitului $c_{2,4} = +1$, care este al doilea bit codat la intervalul de trellis $d=4$. Trellisul este bazat pe figura 4.8.
- 4.17. Schema bloc a sistemului de emisie – recepție cu estimarea lui h
- 4.18. BER/SNR ($k=32$)
- 4.19. BER/SNR ($k=128$)
- 4.20. BER/SNR ($k=128$, $h = [0.302 \ 0.725 \ 0.456]$, $\hat{h} = [0.423 \ 0.567 \ 0.231]$)
- 4.21. Schema bloc a sistemului de emisie – recepție cu estimarea iterativă a lui \hat{h}
- 4.22. BER/SNR pentru cazul i) $h = \hat{h}$ ($k=128$, $h = \hat{h} = [0.302 \ 0.725 \ 0.456]$)
- 4.23. BER/SNR pentru cazul ii) $h \neq \hat{h}$ ($k=128$, $h = [0.302 \ 0.725 \ 0.456]$, $\hat{h} = [0.423 \ 0.567 \ 0.231]$)
- 4.24. BER/SNR ($k=128$, $h = [0.302 \ 0.725 \ 0.456]$, $N=8$)
- 4.25. BER/SNR ($k=128$, $h = [0.302 \ 0.725 \ 0.456]$, $N=18$)
- 4.26. BER/SNR ($k=128$, $h = [0.302 \ 0.725 \ 0.456]$, $N=128$)
- 4.27. Sistem de transmisie utilizând tehnica OFDM
- 4.28. Implementarea sistemului de transmisie OFDM utilizând IDFT și DFT
- 4.29. Implementarea schemei de transmisie OFDM utilizând IFFT și DFFT cu prefix ciclic.
- 4.30. BER/SNR (algoritm LS , $k=128$, $h = [0.302 \ 0.725 \ 0.456]$, $N=8$, $L=8$)
- 4.31. BER/SNR (algoritm LS , $k=128$, $h = [0.302 \ 0.725 \ 0.456]$, $N =18$, $L =8$)
- 4.32. BER/SNR (algoritm LS , $k=128$, $h = [0.302 \ 0.725 \ 0.456]$, $N =64$, $L =8$)
- 4.33. BER/SNR (algoritm MMSE , $k=128$, $h = [0.302 \ 0.725 \ 0.456]$, $N =8$, $L =8$)
- 4.34. BER/SNR (algoritm MMSE , $k=128$, $h = [0.302 \ 0.725 \ 0.456]$, $N =18$, $L =8$)
- 4.35. BER/SNR (algoritm MMSE, $k=128$, $h = [0.302 \ 0.725 \ 0.456]$, $N =64$, $L =8$)

-
- 4.36. BER/SNR ($k = 128$, $h = [0.302 \ 0.725 \ 0.456]$, $N = 8$, $L = 8$)
4.37. BER/SNR ($k = 128$, $h = [0.302 \ 0.725 \ 0.456]$, $N = 18$, $L = 8$)
4.38. BER/SNR ($k = 128$, $h = [0.302 \ 0.725 \ 0.456]$, $N = 64$, $L = 8$)
4.39. BER/SNR ($k = 128$, $h = [0.302 \ 0.725 \ 0.456]$, $N = 8$, $L = 8$)
4.40. BER/SNR ($k = 128$, $h = [0.302 \ 0.725 \ 0.456]$, $N = 18$, $L = 8$)
4.41. BER/SNR ($k = 128$, $h = [0.302 \ 0.725 \ 0.456]$, $N = 64$, $L = 8$)

1. Introducere

1.1 Limitările canalelor de comunicație

În ultimii ani a crescut exponențial numărul de utilizatori ai rețelelor fără fir (wireless) ceea ce justifică cercetările pentru creșterea capacității acestor sisteme de transmisiuni. Capacitatea este limitată de *zgomotul* din canal, de *interferențe*, și de *modificarea stării* canalului ca urmare a mobilității utilizatorilor [86, 87]. Interferența între simboluri, ISI (Inter Symbol Interference) este cauzată de banda limitată a canalului, iar interferența radio RFI (Radio Frequency Interference) poate fi cauzată de utilizatorii din aceeași celulă, CCI (Co Channel Interference) sau din celule adiacente, ACI (Adjacent Channel Interference), precum și din alte cauze (cupatoare de microunde, platforme de calcul, etc.). Interferența se poate elimina, reduce sau evita, prin tehnici adecvate de egalizare a canalului sau alte tehnici de prelucrare a semnalului [90, 85]. Semnalul mai poate fi distorsionat și datorită propagării pe căi multiple [88, 89].

La începutul anilor 1940, se credea că prin creșterea vitezei de transmitere a informației prin canal crește și numărul de erori din informația recepționată. Dar, în 1948, în lucrarea sa, "A Mathematical Theory of Communications" [1], C. Shannon stabilea că dacă rata maximă de transmisie a informației printr-un canal de comunicație este mai mică decât capacitatea canalului se poate obține o probabilitate de eroare oricât de mică, dacă sunt folosite coduri de o anumită lungime:

$$p_e \leq 2^{-ne(D)} \quad (1.1)$$

unde p_e este probabilitatea erorii, n este lungimea codului, iar $e(D)$ este exponentul erorii (teorema codării canalelor cu zgomot). C. Shannon a propus utilizarea codurilor aleatoare, împreună cu regula de decodare "cel mai apropiat vecin" (the nearest neighbour), decodare extrem de complexă și dificil de implementat, dimensiunea tabelilor de asociere (lookup) crescând exponențial cu n . De atunci au fost create multe alte coduri corectoare de erori, ECC (Error Correcting Codes) cu structuri mult mai simple și simplu de decodat. Codurile corectoare de erori au îmbunătățit considerabil calitatea semnalului livrat de receptor, utilizatorului.

Introducerea turbo codurilor, de C. Berrou, A. Glavieux, și P. Thitimajshina [2] a permis rate de eroare foarte scăzute, la rate de transmisiune apropiate de capacitatea canalului, indicată de C. Shannon, precum și câștiguri de codare apropiate de limita Shannon. Din 1993 au fost depuse multe eforturi pentru îmbunătățirea lor și înțelegerea cauzelor performanțelor lor deosebite. Principiul turbo constă în combinarea a două sau mai multor tehnici și executarea lor serie, iterativ. El a fost extins și în alte domenii, primul fiind turbo egalizarea pentru

eliminarea ISI, idee propusă de C. Douillard s.a. [3]. Canalul este asimilat cu un cod convoluțional nerecursiv nesistematic, care se codează cu un codor extern (outer coder), cu un interleaver plasat între cele două. Detecția turbo e similară cu detecția iterativă a două coduri convoluționale concatenate serial; aceeași tehnică poate fi aplicată pentru realizarea combinată a detecției și decodării [4]. Egalizarea și decodarea ieșirii soft a canalului sunt concatenate și realizate iterativ.

Iterațiile din procesul de decodare turbo îmbunătățesc spectaculos rata erorii pe bit BER (Bit Error Rate) și pe cadru, FER (Frame Error Rate); din simulări rezultă că ISI poate fi eliminat complet pentru un canal gaussian, dacă există un interleaver suficient de lung și o estimare perfectă a canalului.

Calitatea informației livrată utilizatorului depinde de starea canalului, de disponibilitatea sau nu a informațiilor despre starea acestuia (CSI-Channel State Information) de modul de propagare, de modulația folosită precum și de tipul de detecție.

Pentru eliminarea efectelor ISI poate fi folosită egalizarea liniară, LE (Linear Equalizer), sau o prelucrare neliniară DFE (Decision Feedback Detector/Equalizer). Dar metodele optime de minimizare a BER și FER sunt neliniare, și sunt bazate pe estimarea ML (Maximum Likelihood), ca de exemplu algoritmul Viterbi de optimizare a FER [5]. Din estimarea ML derivă și estimarea MAP (Maximum A Posteriori), ca de exemplu algoritmul BCJR Viterbi de optimizare a BER când există informații a priori despre date. În prima lucrare, C. Douillard s.a. au folosit pentru egalizare estimarea ML a secvenței și decodarea canalului cu ieșiri soft (algoritmul BCJR pentru detecția de simbol, respectiv algoritmul SOVA, de complexitate mai redusă pentru decodarea de canal).

Complexitatea algoritmilor bazați pe ML sau MAP, crește exponențial cu lungimea răspunsului la impuls al canalului, CIR (Channel Impulse Response) și dimensiunea modulației; de aceea cele mai folosite sunt modulațiile simple, BPSK (Binary Phase Shift Keying), GMSK (Gaussian Minimum Shift Keying) respectiv CIR cu 6 prize. În consecința, primul scop este reducerea complexității turbo detectorului. Detectorul ISI contribuie cel mai mult la complexitate, datorită decodării soft a canalului, pentru determinarea informației extrinseci, furnizată apoi ca intrare în turbo egalizor. Multe studii s-au ocupat de scăderea complexității turbo detectorului, folosind un estimator suboptimal, SISO (Soft Input Soft Output). O altă metodă pentru reducerea complexității este înlocuirea detectorului MAP cu un supresor de ISI, cu rezultate foarte bune pentru canale Rayleigh invariante sau nu în timp și modulații de eficiență spectrală mare. Glavieux [6] a fost printre primii care au aplicat metoda cu supresor ISI, care este de fapt un filtru FIR cu câștiguri adaptive, a cărui complexitate depinde doar liniar de lungimea CIR. A mai propus un turbo egalizor simplu SISO, M-ar, ce reduce drastic ISI, actualizând în fiecare etapă parametrii egalizorului conform criteriului MSE (Mean Square Error) [7].

1.2 Canalul AWGN

Vom descrie un model în banda de bază și timp discret pentru un sistem digital de comunicații și problema detecției, precum și codarea și decodarea de canal, pentru transmiterea sigură a informației, la debite și precizii ridicate. Capacitatea canalului AWGN (Additive White Gaussian Noise) sau rata de maximă a informației care poate fi trimisă prin un canal, este dată de formula stabilită de C.Shannon, pe baza lucrărilor lui H. Nyquist și R.Hartley:

$$C = B \log_2 \left(1 + \frac{P_S}{P_N} \right) \quad (1.2)$$

unde C [bps], B banda de frecvențe a canalului [Hz], P_S [W] este puterea semnalului, iar P_N este puterea zgomotului din canal. O altă exprimare este:

$$C_{AWGN} = \log_2 \left(1 + \frac{\varepsilon_S}{N_0} \right) \quad (1.3)$$

unde raportul $C_{AWGN} = C/B$ [*bit / s/Hz*] (eficiența spectrală), care derivă din relația (1.2), se folosește cu sens de capacitate; la fel, în relația (1.3), în loc de raportul P_S/P_N se folosește raportul echivalent dintre energia bitului și densitatea spectrală de putere ε_S/N_0 .

În prezent sunt pe larg studiate proiectarea codurilor și tehnicile practice de decodare pentru rate apropiate de capacitatea canalului AWGN. La SNR mic, sunt suficiente codurile de rată mică - turbo codurile [2] și codurile LDPC (Low Density Parity Check), coduri cu controlul parității, de densitate mică [8, 9] - care se apropie de limitele teoretice. S-a demonstrat că un cod LDPC poate opera la o valoare a SNR, apropiată de limita Shannon, cu doar 0.0045 dB peste valoarea SNR minimă necesară pentru codurile cu această rată [10]. Pentru atingerea capacității, în regimurile cu valori SNR mari, unde sunt necesare coduri cu rată mare, pot fi folosite codurile multinivel, cu mai multe nivele de decodare [11, 12].

1.3 Modele de canale cu interferență

Considerăm un model de canal în timp discret, în banda de bază, care abstractizează canalul și ascunde detaliile implementării. Cu acest model putem trata diverse sisteme de comunicații și tipuri de interferențe, având același spațiu al semnalelor. Considerăm un vector \mathbf{X} , $N \times 1$ al datelor echiprobabile, ce trebuie transmise prin canal. Componentele vectorului pot fi purtătoare de diferite frecvențe, diferite momente de timp, etc. Interferența canalului este considerată liniară, modelată prin înmulțirea lui \mathbf{X} cu \mathbf{H} , o matrice $Q \times N$. Deoarece zgomotul (un vector \mathbf{W} complex) din canal rezultă din suprapunerea mai multor acțiuni independente, teorema limită centrală sugerează că se poate modela ca un zgomot gaussian, alb și aditiv (AWGN), de medie nulă, cu varianța N_0 . Vectorul \mathbf{R} , $Q \times 1$ de la receptor este - figura 1.1:

$$\mathbf{R} = \mathbf{H}\mathbf{X} + \mathbf{W} \quad (1.4)$$

Vom urmări, detecția la receptor a vectorului \mathbf{X} transmis, cunoscând \mathbf{R} , \mathbf{H} și statisticile vectorului \mathbf{W} . Parametrii lui \mathbf{H} pot fi învățați la receptor prin antrenare (training). Estimarea lui \mathbf{H} se face prin transmiterea de vectori cunoscuți la transmițător și receptor. Când canalul se modifică în timp \mathbf{H} poate fi actualizată cu ajutorul deciziilor de detecție. Dacă urmărirea eșuează se reantrenează periodic. În majoritatea cazurilor se consideră cunoscute la receptor \mathbf{H} și statisticile vectorului \mathbf{W} . Sistemele de detecție dezvoltate sunt aplicabile la orice scenariu pentru care este valabila relația (1.4).

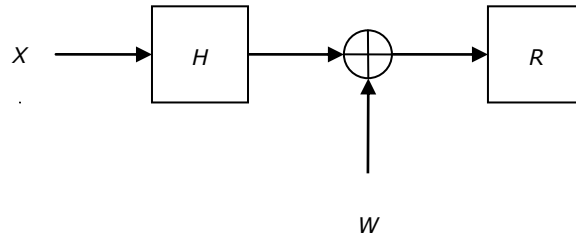


Figura 1.1. Modelul canalului

• Un exemplu de sistem de comunicații, în care se aplică modelul de canal (1.4), este scenariul în timp discret a N utilizatori, CDMA sincron, pe legătura uplink - figura 1.3. În acest sistem, utilizatorul i modulează cu simbolul complex x_i o secvență de lungime Q , $h_i[k]$ - semnătura (signature), alocată celui utilizator. Secvența modulată este transmisă prin canal, unde suferă o atenuare A_i . Stația de bază primește semnalele de la toți utilizatorii plus zgomotul, așa cum se vede din (1.4), în care coloanele matricei \mathbf{H} sunt semnăturile utilizatorilor scalate cu factorii de atenuare corespunzători canalului, adică,

$$\begin{bmatrix} r[0] \\ r[1] \\ \vdots \\ r[Q-1] \end{bmatrix} = \begin{bmatrix} A_0 h_0[0] & A_1 h_1[0] & \cdots & A_{N-1} h_{N-1}[0] \\ A_0 h_0[1] & A_1 h_1[1] & \cdots & A_{N-1} h_{N-1}[1] \\ \vdots & \vdots & \ddots & \vdots \\ A_0 h_0[Q-1] & A_1 h_1[Q-1] & \cdots & A_{N-1} h_{N-1}[Q-1] \end{bmatrix} \begin{bmatrix} x_0 \\ x_1 \\ \vdots \\ x_{N-1} \end{bmatrix} + \begin{bmatrix} w[0] \\ w[1] \\ \vdots \\ w[Q-1] \end{bmatrix} \quad (1.5)$$

• Un alt exemplu în care se aplică (1.4), este un sistem sincron cu antene multiple, cu N antene de transmisie și Q antene la recepție - figura 1.4. Fiecare antenă transmite un alt simbol complex x_i pe canal. Pentru transmisia de bandă îngustă, calea de la antena de emisie i la antena de recepție j este descrisă printr-un singur coeficient de fadingul plat h_{ji} , care poate fi introdus în matricea \mathbf{H} . Fiecare antenă de la recepție primește semnale suprapuse de la toate antenele transmițătoare, cu zgomot alb, deci modelul din (1.4):

$$\begin{bmatrix} r[0] \\ r[1] \\ \vdots \\ r[Q-1] \end{bmatrix} = \begin{bmatrix} h_{00} & h_{01} & \cdots & h_{0,N-1} \\ h_{10} & h_{11} & \cdots & h_{1,N-1} \\ \vdots & \vdots & \ddots & \vdots \\ h_{Q-1,0} & h_{Q-1,1} & \cdots & h_{Q-1,N-1} \end{bmatrix} \begin{bmatrix} x_0 \\ x_1 \\ \vdots \\ x_{N-1} \end{bmatrix} + \begin{bmatrix} w[0] \\ w[1] \\ \vdots \\ w[Q-1] \end{bmatrix} \quad (1.6)$$

• Canalul în timp discret "point-to-point", cu interferență inter-simbol (ISI), reprezentat în figura 1.5, poate fi, de asemenea, modelat folosind (1.4). Datele transmise sunt un flux de simboluri complexe x_i , afectate de convoluția cu

răspunsul la impuls al canalului (cu ISI), h_i , și de zgomotul aditiv, w_i , obținând simbolul de la recepție:

$$r_i = \sum_k h_{i-k} x_k + w_i \quad (1.7)$$

Dacă r_i , x_i , și w_i sunt aranjate fiecare în format vectorial și $\mathbf{H} = [h_1, \dots, h_p]$ iar h_{i-k} este versiunea întârziată a lui h_i , atunci se va obține din nou modelul (1.4). Un exemplu cu un răspuns la impuls de lungime doi este

$$\begin{bmatrix} r_0 \\ r_1 \\ \vdots \\ r_{N-1} \end{bmatrix} = \begin{bmatrix} h_0 & 0 & 0 & \dots & 0 \\ h_1 & h_0 & 0 & \dots & 0 \\ 0 & h_1 & \ddots & \ddots & \vdots \\ \vdots & \ddots & \ddots & h_0 & 0 \\ 0 & \dots & 0 & h_1 & h_0 \end{bmatrix} \begin{bmatrix} x_0 \\ x_1 \\ \vdots \\ x_{N-1} \end{bmatrix} + \begin{bmatrix} w_0 \\ w_1 \\ \vdots \\ w_{N-1} \end{bmatrix} \quad (1.8)$$

Se observă că matricea \mathbf{H} este pătratică în acest caz și de tip Toeplitz.

1.3.1 Alocarea optima a puterii - water filling

În sistemele de comunicații pentru a avea o rată maximă a informației alocarea optima a puterii diferitelor componente ale lui \mathbf{X} se face aplicând teorema "water pouring/filling". Principiul water filling prevede transmisia începând cu canalele mai puțin zgomotoase și trecând progresiv spre cele mai zgomotoase, pe măsură ce se ocupa primele. Puterea trebuie crescută și ea, progresiv, pentru menținerea unui raport semnal/zgomot acceptabil.

Aplicând principiul water filling poate fi maximizată capacitatea canalului MIMO (Multiple Input Multiple Output), care este suma capacităților canalelor individuale SISO (Single Input Single Output) paralele. [13]:

$$C = \max_{\{\varepsilon_{s,k}\}_{\sum_{k=1}^N \varepsilon_{s,k} \leq \varepsilon, \varepsilon_{s,k} \geq 0}} \sum_{k=1}^N \log_2 \left(1 + \frac{\varepsilon_{s,k}}{N_0} \lambda_k \right) \quad (1.9)$$

În relația de mai sus N_0 este densitatea spectrală de putere, $\lambda_k = |h_k|^2$ reprezintă câștigul subcanalului k , ε_s este energia care trebuie alocată pentru cele N canale, iar $\varepsilon_{s,k}$ este energia transmisă prin subcanalul k

Găsirea acestui maxim se poate face cu ajutorul **funcției de tip Lagrange**.

$$L(\{\varepsilon_{s,k}; \lambda\}) = \sum_{k=1}^N \log_2 \left(1 + \frac{\varepsilon_{s,k}}{N_0} \lambda_k \right) + \lambda \left(\sum_{k=1}^N \varepsilon_{s,k} - \varepsilon_s \right) \quad (1.10)$$

$$\Rightarrow \frac{\partial L}{\partial \varepsilon_{s,k}} = \frac{\lambda_k}{N_0} \frac{\log_2 e}{\left(1 + \frac{\varepsilon_{s,k}}{N_0} \lambda_k\right)} + \lambda = 0 \quad (1.11)$$

$$\Rightarrow \forall k, \left(\frac{N_0}{\lambda_k} + \varepsilon_{s,k}\right) = \mu \Rightarrow \forall k, \left(\frac{N_0}{\lambda_k} + \varepsilon_{s,k}\right) = \mu \quad (\mu \text{ este o constantă}) \quad (1.12)$$

Întrucât $\varepsilon_{s,k} \geq 0$

$$\varepsilon_{s,k} = \left(\mu - \frac{N_0}{\lambda_k}\right)^+ \quad (1.13)$$

În care $(x)^+$ este definit ca:

$$(x)^+ = \begin{cases} x & \text{daca } x \geq 0 \\ 0 & \text{daca } x < 0 \end{cases} \quad (1.14)$$

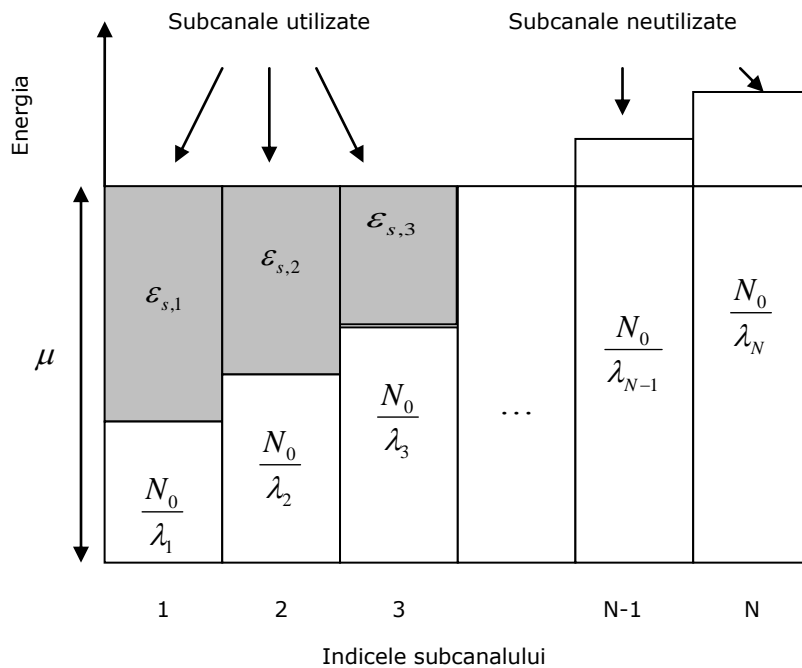


Figura 1.2. Alocarea energiei utilizând algoritmul "water pouring/filling"

Dacă matricea de interferență \mathbf{H} este nontrivială și cunoscută la emisie, energia transmisă prin subcanalul k va fi [13]:

$$\varepsilon_{s,k} = \max\left(\mu - \frac{N_0}{\lambda_k}, 0\right) \quad (1.15)$$

unde μ este ales astfel încât energia de emisie medie să fie

$$\varepsilon_s = \frac{1}{N} \sum_{k=0}^{N-1} \varepsilon_{s,k} \quad (1.16)$$

Pentru a maximiza informația mutuală, transmițătorul poate accesa individual aceste subcanale și să le aloce niveluri variabile de putere.

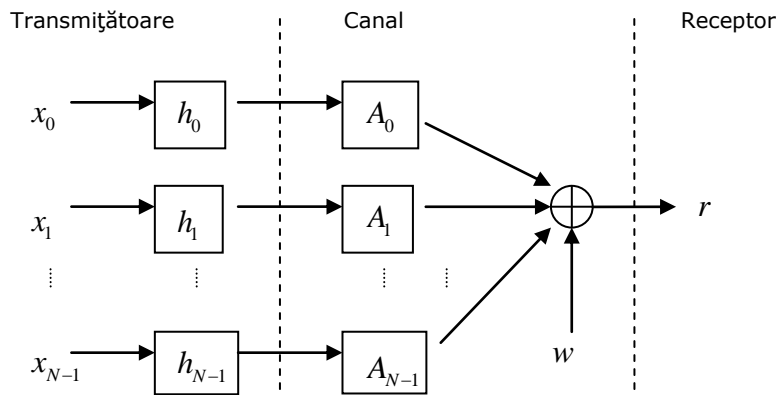


Figura 1.3. Exemplu Uplink pentru sistemul CDMA

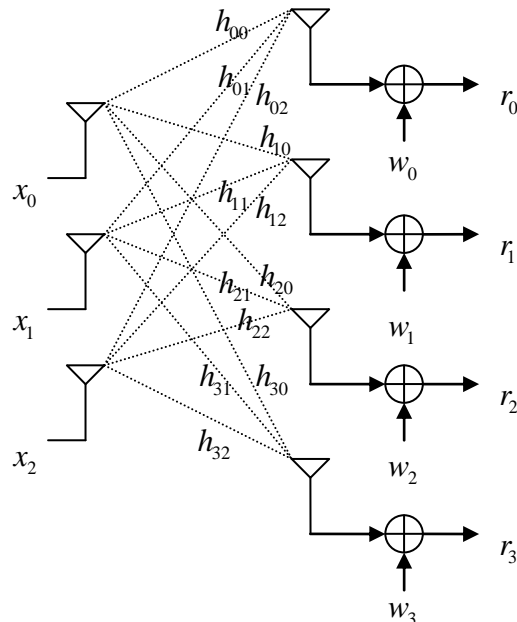


Figura 1.4. Sistem de antene multiple

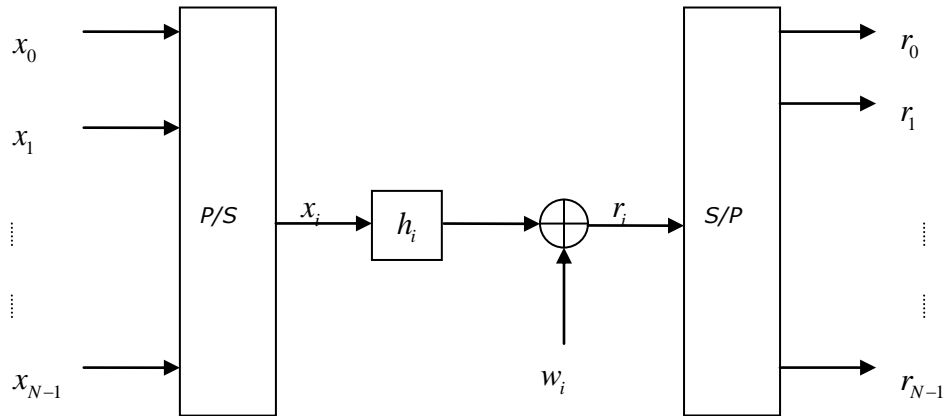


Figura 1.5. Canal cu ISI

Dacă K este un set de subcanale, iar puterea de transmisie este alocată prin intermediul algoritmului "water pouring", atunci capacitatea canalului cu interferențe (în bit/s/Hz) este:

$$C_{int} = \frac{K}{N} \log_2 \left(\frac{\frac{\epsilon_s}{N_0} \frac{N}{K} + \left\langle \frac{1}{\lambda_k} \right\rangle_{A,K}}{\left\langle \frac{1}{\lambda_k} \right\rangle_{G,K}} \right) \quad (1.17)$$

unde $\left\langle \frac{1}{\lambda_k} \right\rangle_{A,K}$ și $\left\langle \frac{1}{\lambda_k} \right\rangle_{G,K}$ reprezintă media aritmetică și respectiv geometrică a rapoartelor $\frac{1}{\lambda_k}$ pentru cele K subcanale și sunt date de relațiile:

$$\left\langle \frac{1}{\lambda_k} \right\rangle_{A,K} = \frac{1}{|K|} \sum_{k \in K} \frac{1}{\lambda_k} \quad (1.18)$$

$$\log \left\langle \frac{1}{\lambda_k} \right\rangle_{G,K} = \frac{1}{|K|} \sum_{k \in K} \log \frac{1}{\lambda_k} \quad (1.19)$$

Azi sunt cunoscute tehnici care fac posibilă utilizarea capacității canalelor cu interferență aproape la fel ca și a capacităților canalelor fără interferență, cu condiția ca emițătorul să fie informat cu privire la interferențe. Un sistem de comunicație, care încorporează astfel de tehnici este prezentat în figura 1.6. La emițător, cunoașterea informațiilor despre starea canalului este folosită într-un

"pre-anulator" de interferențe, care alocă optim puterea de transmisie subcanalelor. Grupul format din emițător cu pre-anulator și canal poate fi privit ca un canal fără interferențe, astfel încât tehnicile de codare și decodare pentru canalele AWGN să poată fi folosite pentru a aproxima capacitatea. Există două clase principale de astfel de tehnici.

O clasă tratează toate subcanalele, ca aparținând unui singur canal [14, 15, 16], în timp ce cealaltă clasă partiționează canalul de bază în sub-canale paralele independente, prin care simbolurile sunt transmise ținând seama de alocarea optimă a puterii conform principiului water filling [17].

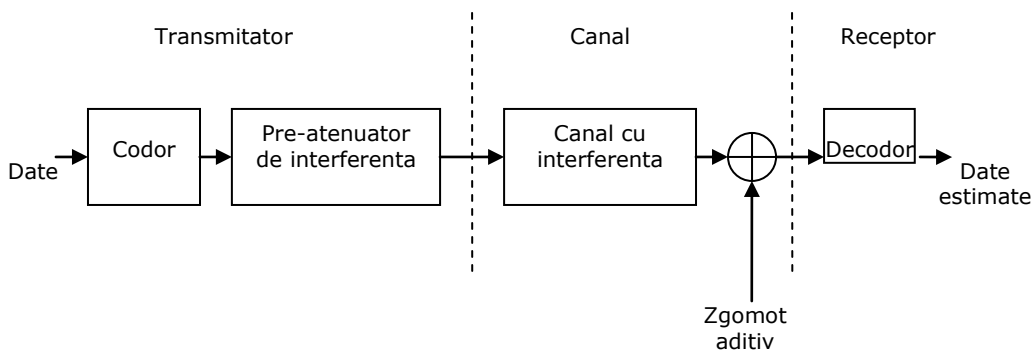


Figura 1.6. Un sistem de comunicare, care pre-anulează interferența de canal

Pentru canale cu ISI, un exemplu din prima clasă este precodarea Tomlinson-Harashima, iar un exemplu pentru cea de a doua este discret multi-ton (DMT).

1.3.2 Alocarea puterii fără water-filling

Atunci când transmițătorul nu are informații despre starea canalului, nu se poate aplica principiul water pouring pentru a obține capacitatea canalului cu interferențe. În acest caz pentru a obține o rată maximă de biți, puterea de transmisie este distribuită uniform în toate subcanalele sistemului.

$$I_{int} = \frac{1}{N} \sum_{k=0}^{N-1} \log_2 \left(1 + \frac{\epsilon_s \lambda_k}{N_0} \right) \quad (1.20)$$

Această cantitate reprezintă informația mutuală a canalului, mai degrabă decât capacitatea canalului, deoarece rata de informație nu este optimizată la transmițător prin intermediul algoritmului water pouring. În acest exemplu, sistemul de comunicație descris în figura 1.6 nu mai poate fi folosit, iar interferența trebuie să fie tratată la receptor. Receptorul optimal în sensul probabilității de eroare folosește algoritmi ML (Maximum-Likelihood) sau MAP (Maximum A Posteriori). Receptorul apare ca un singur bloc care efectuează atât detecția cât și decodarea, așa cum se arată în figura 1.7. Deși optimizarea este comună, complexitatea unui astfel de sistem este de obicei determinată de produsul dintre complexitatea

detectorului optimal pentru sistemul necodificat corespunzător și decodorul optimal pentru canalul AWGN corespunzător. Astfel, complexitatea unui astfel de sistem este prohibitivă.

O soluție clasică suboptimală este de a separa problemele de detecție și decodare, așa cum se arată în figura 1.8. Detectorul trebuie să fie proiectat în așa fel încât grupul format din canal cu interferențe și detector să apară ca un canal AWGN. Structura detectorului diferă doar pentru cazul în care datele sunt transmise necodat.

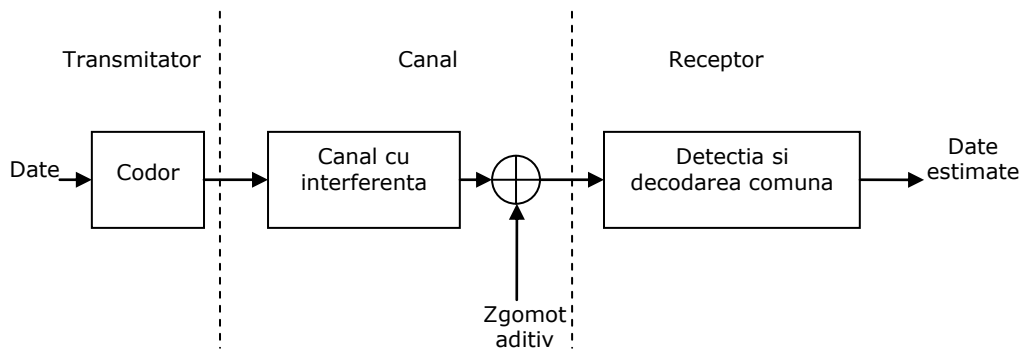


Figura 1.7. Decodarea și detecția comună optimală

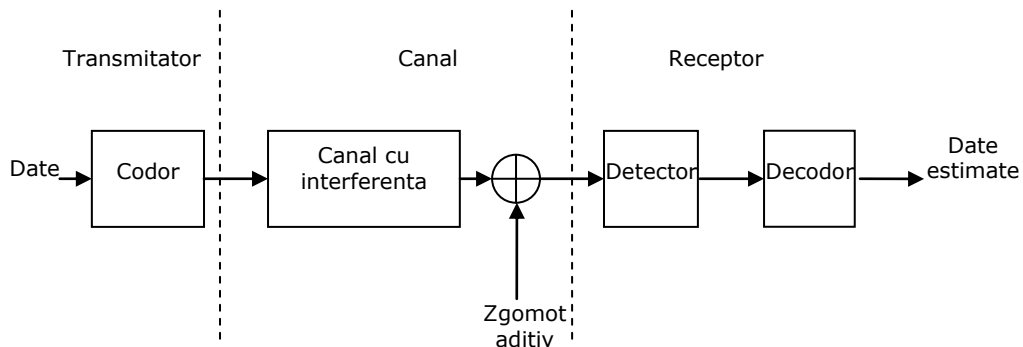


Figura 1.8. Separarea clasică (suboptimală) a detecției și decodării

Cu toate acestea, este mult mai dificil să se realizeze grupul format din canal și detector ca și cum ar fi un canal AWGN, decât grupul format din emițător cu pre-anulator și canal, deoarece zgomotul de pe canal poate fi amplificat sau consolidat prin detector. Cu toate acestea, presupunând că detectorul este conceput corect, se pot utiliza schemele de codare și decodare pentru canalele AWGN, astfel încât structura decodului să fie aceeași, atât în sistemele care utilizează canale cu interferențe, cât și în cele care utilizează canale fără interferențe. În acest caz

complexitatea generală este mai degrabă suma complexităților componentelor individuale, decât produsul acestora.)

Dintre cele trei scenarii prezentate, în cazul celui din urmă tehnicile de abordare a limitelor teoretice sunt cel mai puțin dezvoltate. Această teză prezintă schemele practice cu complexitate redusă care abordează informația mutuală a unui canal cu interferență, fără ca la transmițător să existe informații despre canal. Înainte de a prezenta unele detectoare clasice, se vor compara limitele teoretice de transmisie a informației corespunzătoare celor trei scenarii de comunicare amintite.

1.4 Comparația dintre ratele maxime de informație

Se vor compara în continuare ratele maxime atinse pentru diferitele scenarii de comunicare la aceeași SNR recepționat, așa cum sunt definite în (1.8). Pentru a putea realiza comparația, se va presupune că numărul de coloane din H $\|H\|_F^2 = \sum_{k=1}^N \lambda_k$ este normalizat la N , iar energia simbolului ϵ_s și varianța zgomotului N_0 sunt de asemenea fixate. Atunci când puterea de emisie este distribuită în mod egal între subcanale, canalul cu interferență nu poate avea o informație mutuală mai mare decât cea corespunzătoare canalului AWGN cu o valoare SNR echivalentă. Se poate vedea acest lucru din concavitatea funcției log:

$$I_{int} = \frac{1}{N} \sum_{k=1}^N \log_2 \left(1 + \frac{\epsilon_s \lambda_k}{N_0} \right) \leq \log_2 \left(1 + \frac{\epsilon_s}{N_0} \right) = C_{AWGN} \quad (1.21)$$

În cazul în care se folosește normalizarea $\|H\|_F^2$, iar ratele sunt pe două dimensiuni. La valori SNR reduse, putem arăta că $I_{int} = C_{AWGN}$ folosind aproximarea $\ln(1+a) \approx a$

$$I_{int} = \frac{1}{N} \sum_{k=1}^N \log_2 \left(1 + \frac{\epsilon_s \lambda_k}{N_0} \right) \approx \frac{1}{N} \sum_{k=1}^N \frac{\epsilon_s \lambda_k}{N_0 \ln 2} \approx \frac{\epsilon_s}{N_0 \ln 2} \approx \log_2 \left(1 + \frac{\epsilon_s}{N_0} \right) = C_{AWGN} \quad (1.22)$$

La valori SNR ridicate, scăderea ratei de la C_{int} la I_{int} datorită neaplicării algoritmului "water pouring", este neglijabilă, deoarece alocarea puterii de transmise la subcanale este egală. Expresia "SNR ridicate" este relativă în acest context, deoarece nu numai că puterea de emisie totală trebuie să fie ridicată, dar și valoarea puterii alocate fiecărui subcanal trebuie să fie de asemenea mare.

Astfel un canal cu mai puține subcanale necesită o valoare SNR mai mare decât un canal cu mai multe subcanale pentru ca C_{int} și I_{int} să fie aproximativ egale. Cu toate acestea la valori SNR mici capacitatea C_{int} a unui canal cu interferență poate depăși în mod substanțial atât informația mutuală I_{int} fără aplicarea algoritmului "water pouring" cât și capacitatea canalului AWGN C_{AWGN} , chiar dacă s-a făcut normalizarea $\|H\|_F^2$. Rezultă că puterea transmisă este selectiv încărcată pe subcanalele canalului, care pot suporta cele mai mari rate. În figura 1.9

se compară capacitatea canalului AWGN (C_{AWGN}) cu capacitatea canalului cu interferențe (C_{int}) și respectiv informația mutuală (I_{int}) corespunzătoare canalului cu ISI având răspunsul la impuls de forma:

$$h_i = 0.5\delta_i + 0.707\delta_{i-1} + 0.5\delta_{i-2} \quad (1.23)$$

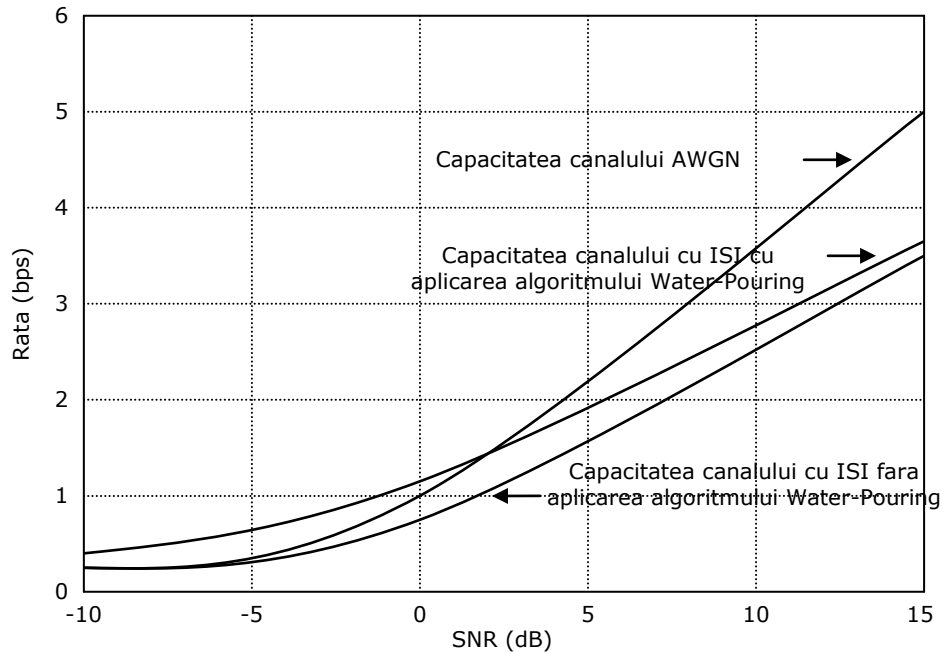


Figura 1.9. Ratele de informație pentru canalul cu ISI având răspunsul la impuls dat de relația (1.23)

După cum s-a menționat mai sus, capacitatea unui canal cu ISI este mai mare decât cea a canalului AWGN pentru valori scăzute ale SNR, deoarece puterea de emisie poate fi încărcată pe frecvențele favorabile. În cazul în care algoritmul "water pouring" nu este aplicat, atunci la valori mici ale SNR informația mutuală a canalului cu ISI aleator se apropie de capacitatea canalului AWGN corespunzător. La valori mari ale SNR, capacitatea canalului cu ISI devine mai mică decât capacitatea canalului AWGN, și, de asemenea, efectul obținut prin aplicarea algoritmului "water pouring" devine neglijabil. Pantele celor trei curbe sunt egale, ceea ce înseamnă că dezavantajul unui canal cu interferență constă doar în pierderea ratei fixe.

Capitolul 2

Scheme clasice de detecție

În orice sistem de recepție pot fi folosite o serie de detectoare. Primul detector tratat este detectorul de plauzibilitate maximă, ML (Maximum Likelihood) care minimizează probabilitatea detecției eronate a unui vector/cuvânt de cod și care poate fi considerat optimal. Celelalte detectoare ce vor fi prezentate au o performanță care se apropie de cea a ML, dar au o complexitate mai redusă. Toate reprezintă un compromis acuratețe/complexitate, dar toate caută soluția de eliminare a efectului de interferență a canalului H , astfel încât canalul să poată fi tratat la recepție ca un canal AWGN. Pentru cazul particular al sistemelor necodate, problema detecției poate fi tratată separat, cu un dispozitiv de decizie simbol-cu-simbol.

Înainte de prezentarea detectoarelor este utilă stabilirea metodei de comparare a performanței datelor. Deși sistemele practice folosesc transmisii codate, în cele ce urmează compararea performanței detectoarelor se va face pentru transmisii necodate, deoarece detectoarele tratează de obicei datele ca fiind necodate [18]; astfel, considerând datele ca fiind necodate, se poate separa problema calității detectorului de cea a calității decodurii. Fiecare componentă a lui X conține date alese echiprobabil dintr-un set finit, $X \in X^N$. Probabilitatea erorii pe bit, BER (Bit Error Rate) la un sistem codat, este definită ca probabilitatea ca o componentă a lui \hat{X} să nu fie egală cu componenta corespunzătoare din $X \in X^N$, fiind măsura utilizată aici pentru aprecierea performanței detectorului. Utilizarea acestei metrici este aleasă din câteva motive:

- i) detectorul ML, care minimizează probabilitatea detecției eronate a vectorului/cuvântului recepționat are, la SNR mare, un BER aproape identic cu cel al detectorului care minimizează rata erorii pe bit [5]. Astfel că, asimptotic, detectorul ML oferă o limită inferioară a BER, mai mică decât a oricărui alt detector.
- ii) analiza BER este echivalentă cu calculul distanței Hamming dintre x și \hat{x} , care dă o măsură a apropierii dintre vectorul detectat și cel transmis. Deoarece vectorul ML este, în medie, cel mai apropiat de X , putem aprecia cât de apropiate sunt soluțiile oferite de diferite detectoare față de soluția optimală.
- iii) folosirea BER este intuitivă, deoarece detectoarele suboptimale încearcă de obicei să decupleze detecția simbolurilor codate folosind un dispozitiv de decizie simbol cu simbol de distanță minimă (numit și slicer),.
- iv) deseori codurile sunt caracterizate de numărul biților eronați din cuvântul de cod care pot fi corecți. La sistemele care realizează decodarea după detecție, un BER scăzut după detecție este preferabil pentru o performanță globală bună a sistemului.

2.1 Detecția ML

Deoarece toți vectorii x sunt echiprobabili, detectorul care minimizează probabilitatea detecției eronate a vectorului este detectorul ML:

$$\hat{X} = \underbrace{\arg \max}_{X \in X^N} f(R|X) \quad (2.1)$$

Deoarece zgomotul este independent de X , necorelat și gaussian, relația (2.1) se simplifică la regula distanței minime - vezi figura 2.1.

$$\hat{X} = \underbrace{\arg \min}_{X \in X^N} \|R - HX\| \quad (2.2)$$

Astfel că, detectorul calculează cel mai plauzibil vector X , bazat pe cunoașterea lui R și H , precum și a distribuției W . Mulțimea tuturor vectorilor necodați posibili, X^N , poate fi reprezentată într-un spațiu euclidian N -dimensional ca puncte ale unei latice ortogonale (deplasate) mărginită dintr-un cub N -dimensional. Mulțimea vectorilor posibili este reprezentată în figura 2.2.a, pentru $N = 2$.

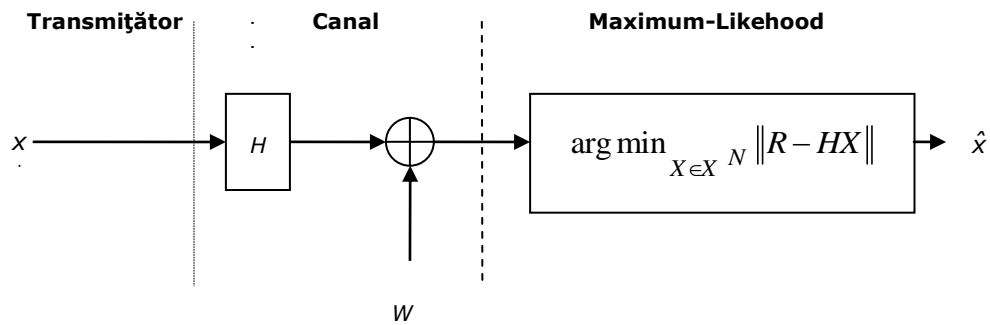


Figura 2.1 Detecția de plauzibilitate maximă, ML (Maximum Likelihood)

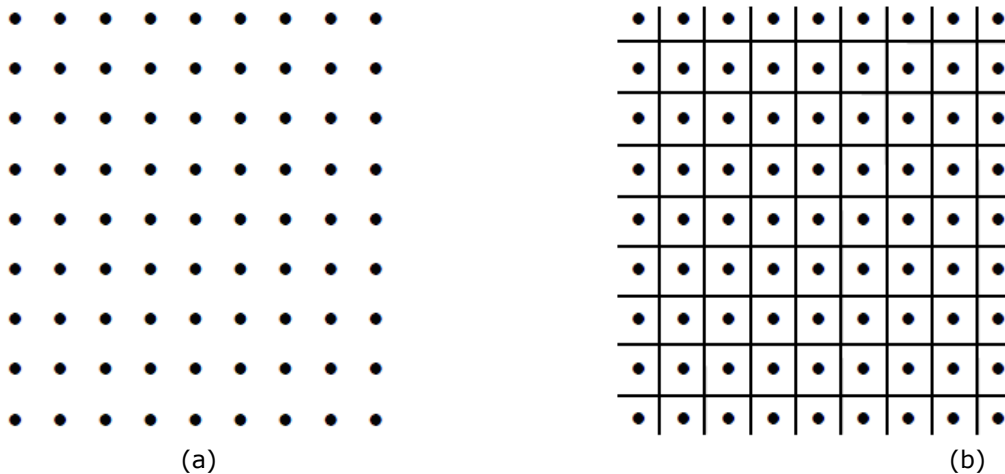


Figura 2.2 (a) Latice mărginită reprezentând mulțimea vectorilor necodați
(b) Regiunile de decizie corespunzătoare pentru canalul AWGN

În cazul particular al canalului AWGN, modelul devine $R = X + W$, iar R este versiunea lui X perturbată de zgomot. Regula distanței minime devine:

$$\hat{X} = \underset{X \in X^N}{\operatorname{arg\,min}} \|R - X\| \quad (2.3)$$

Deoarece fiecare componentă a vectorului necodat X afectează doar componenta corespunzătoare din R , și deoarece vectorul de zgomot este necorelat, detectorul ML poate fi tratat separat ca o mulțime de optimizări simbol cu simbol, care pot fi rezolvate folosind un dispozitiv de decizie de distanță minimă (slicer), simbol cu simbol.

$$\hat{x}_i = \underset{X \in X^N}{\operatorname{arg\,min}} \|r_i - x_i\| \quad \text{pentru } i = 0, 1, \dots, N-1 \quad (2.4)$$

Regiunile de decizie, corespunzătoare valorilor lui R pentru care trebuie luate decizii la fiecare în parte, sunt prezentate în figura 2.2.b. Capacitatea de a decupla detectorul ML în componente pentru minimizare este marcată de faptul că granițele oricărei regiuni de decizie formează o grilă ortogonală. Minimizarea fiecăreia din cele N componente ale lui X necesită compararea a $|X|$ diferențe, deci complexitatea depinde liniar de N .

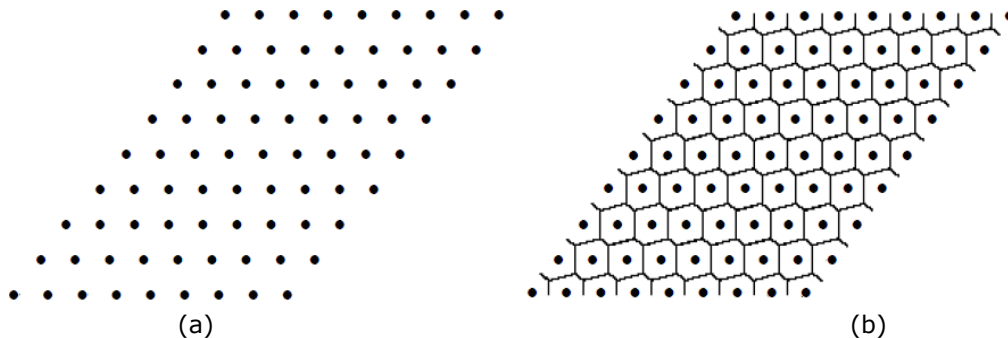


Figura 2.3 (a) Lattice mărginită reprezentând toți vectorii posibili Hx pentru un canal cu interferență. (b) Regiunile de decizie corespunzătoare

În cazul general când există o interferență liniară, avem $R = HX + W$, iar detectorul ML, (2.2), în general, nu poate fi descompus în N probleme mai mici. Se poate vedea acest lucru știind că acțiunea lui H asupra mulțimii vectorilor necodați $X \in X^N$ este de asociere a punctelor latticei - figura 2.2.a - cu punctele latticei - figura 2.3.a - care are generatoarele de-a lungul direcțiilor coloanelor lui H . Regiunile de decizie ale lui (2.2), sunt polipuri (figuri geometrice de tip poligon) - figura 2.3.b- și separarea problemelor nu mai este posibilă.

Minimizarea relației (2.2), implica compararea a $|X|^N$ diferențe, deci complexitatea crește exponențial cu N . La canalul ISI, detecția ML, poate fi făcută folosind decodarea Viterbi [5], cu complexitatea proporțională cu $|X|^L$, L fiind lungimea răspunsului la impuls al canalului. Dacă L sau $|X|$ sunt mari, și detecția ML este destul de complexă.

Complexitatea detectorului ML este un impediment, deci în practică se caută detectoare mai simple, care aproximează soluțiile relației (2.2).

2.2 Detecția liniară

Detectoarele liniare – vezi figura 2.4 – preiau vectorul recepționat R și îl pre-multiplică cu matricea B^+ . Produsul rezultat, \tilde{X} , e trimis slicer-ului simbol cu simbol, de distanță minimă, rezultând \hat{x} . Matricea B poate fi optimizată după criterii diferite, dar cele mai utilizate sunt criteriul cu forțarea zerourilor- zero forcing (ZF) - respectiv MMSE (Minimum Mean Squared Error) de eroare medie pătratică minimă.

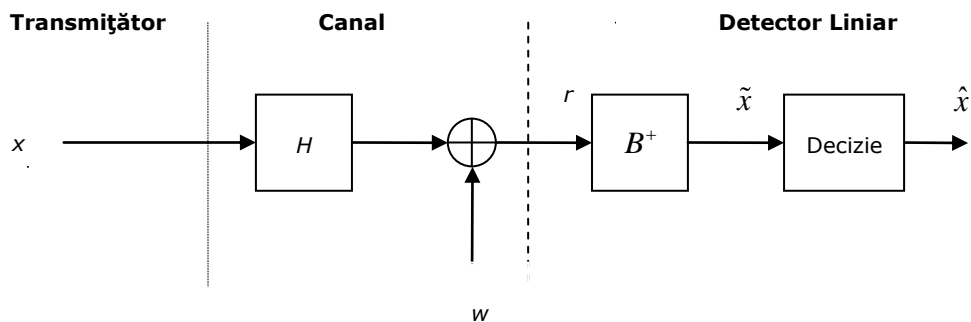


Figura 2.4. Detecția liniară

Criteriul ZF de anulare a interferenței, alege B astfel încât să fie complet eliminată interferența în \tilde{X} , iar la MMSE se alege B astfel încât să fie minimizată varianța lui $\tilde{X} - X$. Dezavantajul acestor detectoare de complexitate redusă este o rată a erorii pe simbol mai slabă deoarece matricea B^+ crește puterea componentelor zgomotului din W și determină corelarea vectorului diferență $\tilde{X} - X$. Problema este și mai gravă la criteriul ZF, dar de fapt este prezentă la întreaga clasă de detectoare.

2.2.1 Filtrul adaptat de albire

Estimatorul de date convențional este format dintr-un banc de filtre adaptate. În cazul zgomotului corelat, estimatorul de date convențional este extins cu un filtru de pre-albire. Filtrul adaptat de albire, WMF (Whitening Matched Filter) este o combinație de filtre de pre-albire și filtre adaptate urmate de circuite de eșantionare la rata de simbol. Deși WMF și MAI tratează ISI ca zgomot, sunt expuse aici, deoarece următoarele pot fi interpretate ca o extensie a WMF, unde zgomotul este decorelat sau prealbit, și deci semnalul prealbit este livrat filtrelor adaptate ca răspuns al filtrului de pre-albire la secvența de date - vezi figura 2.5.

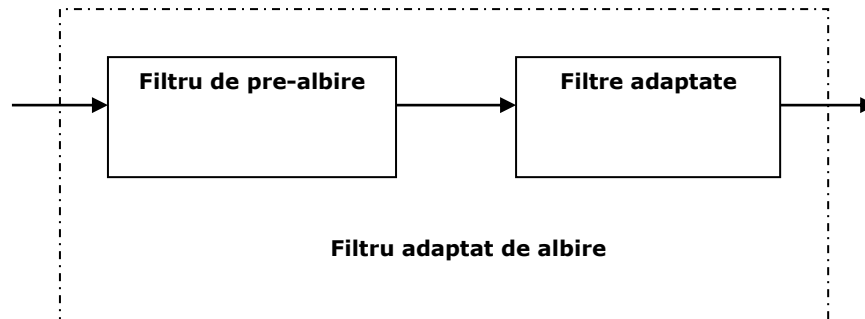


Figura 2. 5 Structura WMF

Albirea zgomotului urmată de filtrarea adaptată se apropie de optim dacă ISI și componentele MAI sunt neglijabile, care este cazul factorilor mari de împrăștiere și a secvențelor ortogonale de tip semnătură, ceea ce implică o eficiență spectrală redusă.

2.2.2 Egalizorul bloc liniar ZF

Egalizorul bloc liniar ZF (ZF-BLE) conduce la un estimat continuu nedeplasat (fără eroare sistematică). Egalizorul ZF se presupune că elimină total ISI și MAI, independent de nivelul zgomotului. Egalizorul ZF-BLE este o extensie a WMF. Dacă nu există ISI, ZF-BLE acționează ca un detector decorelativ – vezi figura 2.6.

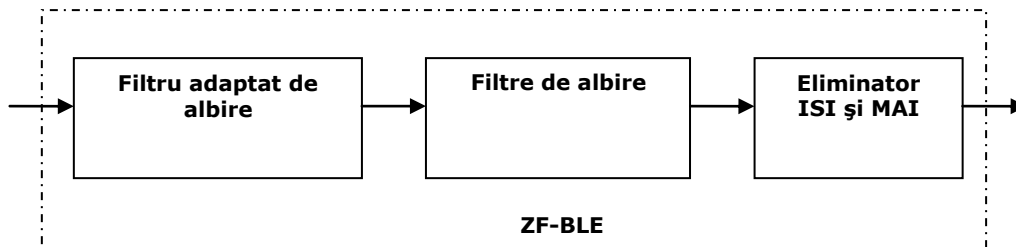


Figura 2.6. Structura ZF-BLE

2.2.3 Egalizorul bloc liniar MMSE

Egalizorul bloc liniar MMSE (MMSE-BLE) minimizează eroarea pătratică și duce la un estimat continuu, fiind o extensie a ZF-BLE cu un estimator Wiener, care împiedică reducerea performanței ZF-BLE, cauzată de faptul că deciziile nu iau în considerare corelația zgomotului. Estimatorul Wiener preia semnalul de la ieșirea ZF-BLE și produce estimatul MMSE. Cu estimatorul Wiener se decorelează ISI și MAI față de zgomot –vezi figura 2.7.

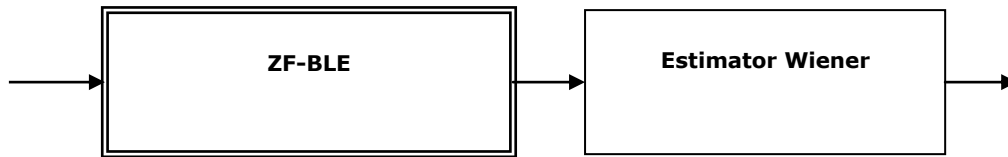


Figura 2.7. Structura MMSE -BLE

Pentru $\sigma^2 \rightarrow 0$ MMSE -BLE se apropie de ZF-BLE , iar pentru $\sigma^2 \rightarrow \infty$ MMSE -BLE se apropie de WMF.

2.3 Detectorul cu reacție decizională

Detectorul cu reacție decizională se bazează pe un detector liniar combinat cu o buclă de reacție neliniară - figura 2.8. Ca și mai înainte, vectorul recepționat R este pre-multiplicat cu B^+ , dar în loc de o decizie simbol cu simbol a slicerului de distanță minimă pentru întregul vector, deciziile se iau secvențial, pas cu pas. La început, prima componentă a lui B^+R , notată cu \tilde{x}_1 este procesată de slicer care livrează simbolul detectat \hat{x}_1 . Presupunem că \hat{x}_1 este egal cu x_1 , bucla de reacție este folosită pentru extragerea interferenței cauzată de x_1 din componentele lui B^+R rămase. A doua componentă x_2 a vectorului B^+R cu interferența extrasă, este apoi procesată de slicer care generează \hat{x}_2 . Dacă \hat{x}_2 este decizia corectă, interferența cauzată de x_2 este extrasă din componentele lui B^+R rămase și procesul continuă până se iau deciziile pentru toate componentele.

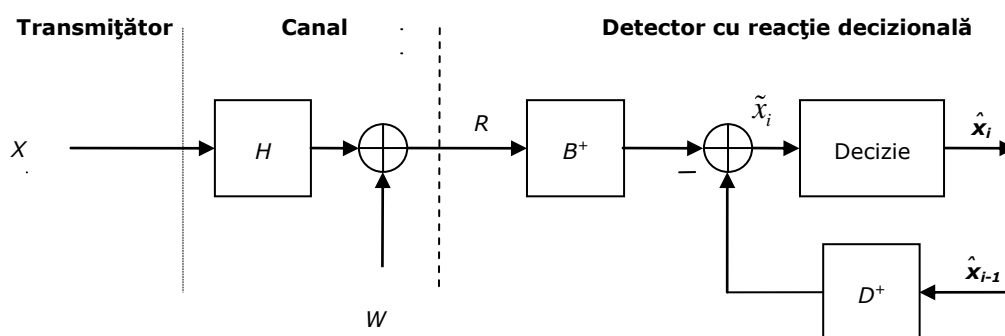


Figura 2.8. Detectorul cu reacție decizională

Detectoarele liniare ZF și MMSE sunt foarte răspândite. Deși detectoarele cu reacție decizională au performanțe mai bune, au și probleme. Prima problemă este amplificarea zgomotului, deși nu e atât de severă ca la detecția liniară. A doua este că deciziile se iau secvențial în slicer, deci pot îmbunătăți doar deciziile viitoare nu și cele trecute. A treia este propagarea unei decizii eronate, la viitoarele decizii. Acest lucru poate influența negativ matricele B și D folosite în bucla de reacție, dar acestea sunt optimizate în ipoteza că eroarea nu se propagă. A patra problemă este că detectorul cu reacție decizională fiind secvențial, este incompatibil cu canalele ISI împreună cu codarea canalului. Aceste detectoare cu reacție sunt deci adecvate doar pentru sisteme necodate.

2.3.1 Egalizorul bloc liniar ZF cu reacție (ZF – BDFE)

În acest tip de egalizor se introduce secvența recepționată modificată [19], iar deciziile se iau conform unei formule recursive. La transmisii codate ar putea fi generate intrări soft decodurului, folosind estimări cuantizate în bucla de reacție și informații evaluate continuu înaintea decuantizării pentru decodare, eventual cu anumite informații de stare a canalului. Se extrag din noul estimat toate deciziile anterioare, iar dacă deciziile anterioare se apropie de decizia corectă estimarea este convergentă - vezi figura 2.9, de unde se vede că ZF – BDFE este echivalent cu detectorul cu anulare a zgomotului. Dacă estimatele evaluate continuu u_k obținute prin omiterea pragului de detecție, sunt readuse prin reacție la intrare, atunci ZF – BDFE devine ZF – BLE.

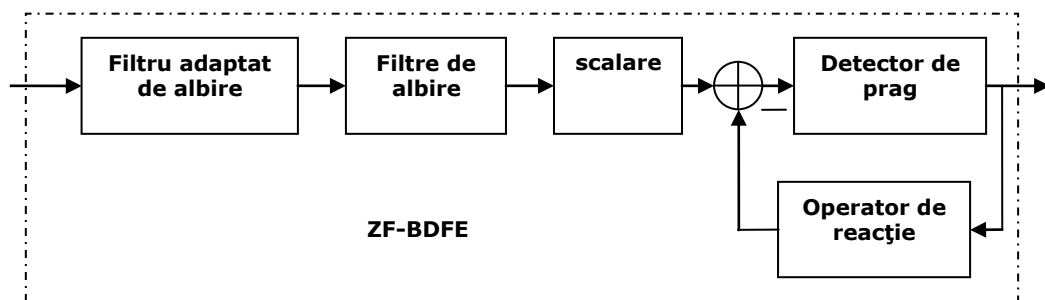


Figura 2.9. Structura egalizorului ZF-BDFE

2.3.2 Egalizorul MMSE bloc cu reacție decizională (MMSE-BDFE)

Structura este aceeași cu cea a egalizorului ZF-BDFE din figura 2.9, dacă se modifică matricea filtrului de albire. Se folosește o descompunere Cholesky, iar extragerea vechilor decizii și deciziile se fac la fel ca în §2.3.1.

2.4 Detecția multinivel

Pentru a simetriza problema anulării doar a simbolurilor viitoare în detectoarele cu reacție decizională, detectorul multinivel/multistage procesează vectorul recepționat în blocuri de iterații. Detectorul multinivel poate fi privit ca un procesor paralel, unde procesorul secvențial este dat de detectoarele cu reacție decizională –vezi figura 2.10. În prima iterație vectorul recepționat R este pre-multiplicat cu matricea filtrului adaptat H^+ pentru a produce $\tilde{X}^{(1)}$, care este apoi transmisă slicerului pentru a genera $\hat{X}^{(1)}$ o tentativă cu primul set de decizii asupra tuturor simbolurilor. În a doua iterație vectorul recepționat R este din nou pre-multiplicat cu matricea filtrului adaptat H^+ , dar înainte ca rezultatul să fie trimis slicerului, este creată o copie identică a interferenței și extrasă, presupunând că $\hat{X}^{(1)}$ este setul de decizii corect. Slicerul ia apoi vectorul $\tilde{X}^{(2)}$ și generează al doilea set de tentativă de decizii $\hat{X}^{(2)}$. Viitoare tentative $\tilde{X}^{(l)}$ sunt generate la fel, folosind tentativele precedente $\tilde{X}^{(l-1)}$ pentru a extrage interferența. După un număr suficient de iterații este considerată ca decizie finală, ultima tentativă. Cele două matrice sunt refăcute în fiecare iterație, și optimizate astfel încât să maximizeze SINR (Signal to Interference +noise Ratio) de la intrarea slicerului pentru o tentativă de decizie corectă. În general, categoria detectoarelor multinivel are structura din figura 2.10, doar că matricele pereche se schimbă la fiecare iterație. Problema principală la aceste detectoare este că de obicei nu converg spre optimul absolut și pot apărea cicluri sau divergențe. Cauza este ipoteza că optimizarea matricelor se face considerând decizii corecte în fiecare iterație, ceea ce nu este întotdeauna adevărat și poate apărea propagarea erorii.

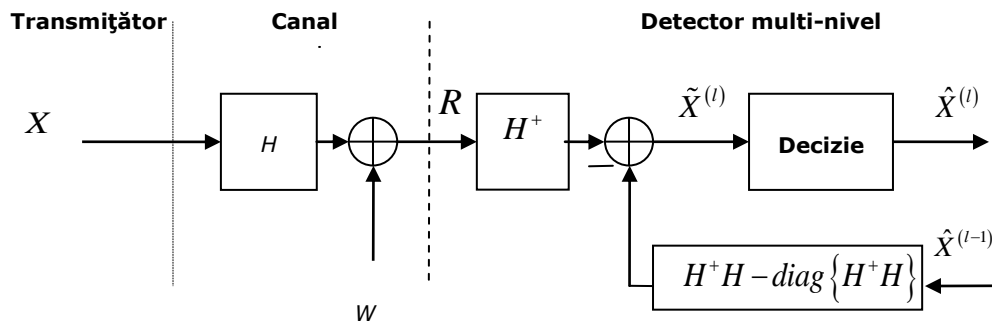


Figura 2.10. Detectorul multinivel

2.4.1 Supresorul interferenței

Pentru reducerea complexității turbo egalizării, detectorul MAP poate fi înlocuit cu succes de un supresor al interferenței, IC (Interference Canceller). Noul receptor poate evita aproape complet ISI din canale Rayleigh variabile sau nu în timp, pentru modulații cu eficiență spectrală mare. Supresorul interferenței –vezi figura 2.11- conține două filtre transversale la intrarea cărora se aduc eşantioanele recepționate și datele, estimate în iterația precedentă.

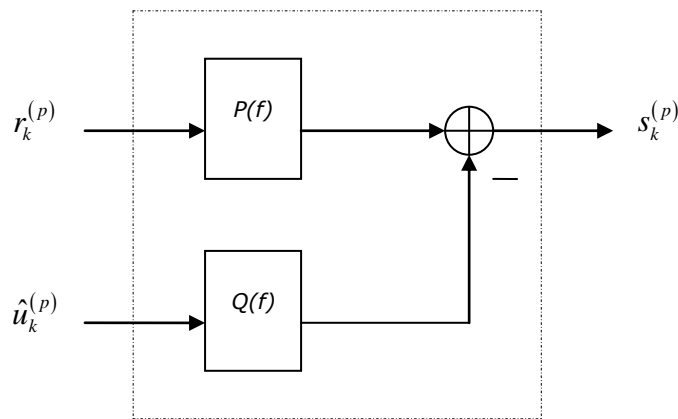


Figura 2.11. Supresorul interferenței

La fiecare iterație supresorul este actualizat conform unui criteriu: IC optim și IC adaptiv.

2.4.2 Eroarea medie pătratică, MSE

Criteriul erorii medii pătratice, MSE (Mean Square Error) este definit ca:

$$MSE = E \left\{ |s_k - u_k|^2 \right\}.$$

Pentru a determina **IC optim**, este necesar ca să fie cunoscute simbolurile $(\hat{d}_k = d_k)$. Se considera $(q_0 = 0)$ zero câștigul central al filtrului $Q(f)$, și atunci filtrul IC optim are funcția de transfer:

$$P(f)_{optimal} = \beta \frac{H^*(f)}{hh_0} = \sum_{l=0}^L p_l \exp(-j2\pi flT) \quad (2.5)$$

$$Q(f)_{optimal} = \beta \left(\frac{|H(f)|^2}{hh_0} - 1 \right) = \sum_{l=0}^L q_l \exp(-j2\pi flT) \quad (2.6)$$

unde $H(f)$ este funcția de transfer a canalului, hh_0 funcția de autocorelație a canalului, β este un coeficient de ponderare, egal cu:

$$\beta = \frac{\sigma_U^2 hh_0}{(\sigma_U^2 hh_0 + \sigma_W^2)} \quad (2.7)$$

iar p_l și q_l sunt coeficienții filtrelor $P(f)$ și $Q(f)$. Astfel ieșirea IC nu are ISI și este:

$$s_k = \beta \left(u_k + \frac{1}{hh_0} \sum_{l=0}^L h_l^* w_{k+l} \right) \quad (2.8)$$

Iar ieșirea MSE este dată de:

$$MSE_{optimal} = \frac{\sigma_U^2 \sigma_W^2}{(\sigma_U^2 hh_0 + \sigma_W^2)} = 1 - \beta \quad (2.9)$$

Iar SNR la ieșirea IC este:

$$SNR_{optimal} = \frac{\sigma_U^2 hh_0}{\sigma_W^2} \quad (2.10)$$

2.4.3 Supresorul adaptiv al interferenței

Algoritmii adaptivi, ca LMS (Least Mean Square) sau RLS (Recursive Least Square) pot fi folosiți pentru actualizarea parametrilor egalizorului. Ei minimizează MSE. Ei pretind o secvență de date inițial, sau periodic, (secvența de antrenare), cunoscuta de receptor, pentru a asigura convergența algoritmului. După asigurarea convergenței, algoritmi sunt comandați de decizii și minimizează MSE estimat, dat de $MSE = E \left\{ |s_k - u_k|^2 \right\}$, unde u_k este decizia tentativă de la ieșirea egalizorului – vezi figura 2.11. Secvența Y_k de la ieșirea canalului și secvența simbolurilor estimate \hat{U}_k furnizată de decodorul de canal în iterația precedentă, alimentează egalizorul IC. Ieșirea IC este:

$$s_k = P_k^T R_k - Q_k^T \hat{U}_k \quad (2.11)$$

Unde $R_k = [r_{k+L_1} \cdots r_k \cdots r_{k-L_1}]$ și $\hat{U}_k = [\hat{u}_{k+L_2} \cdots \hat{u}_k \cdots \hat{u}_{k-L_2}]$ sunt vectorii eșantion recepționați și vectorii valorilor medii estimate.

Apoi $P_k = [\hat{p}_{-L_1}(k) \cdots \hat{p}_0(k) \cdots \hat{p}_{L_1}(k)]$, iar $Q_k = [\hat{q}_{-L_2}(k) \cdots \hat{q}_0(k) \cdots \hat{p}_{L_2}(k)]$ sunt vectorii parametrilor egalizorului corespunzând filtrelor $P(f)$ și $Q(f)$. L_1 și L_2 sunt valori adecvate mai mari sau egale cu L .

Pentru canalul invariant în timp, este folosit algoritmul LMS pentru toate iterațiile ($p \geq 1$) și sunt inițializate printr-o secvență de antrenare la începutul transmisiei.

$$P_{k+1} = P_k - \mu R_k^* (s_k - \hat{u}_k) \quad (2.12)$$

$$Q_{k+1} = Q_k - \mu \hat{U}_k^* (s_k - \hat{u}_k) \quad (2.13)$$

Pentru canalul invariabil în timp, este folosit algoritmul RLS pentru toate iterațiile ($p \geq 1$) și date de inițializare printr-o secvență de antrenare periodică. După prima iterație ($p = 1$) simbolurile estimate nu sunt cunoscute, iar IC este doar un filtru transversal. Pentru alte iterații ($p > 1$) din relațiile (2.5) și (2.6), coeficienții egalizorului p_l și q_l pot fi calculați cu:

$$p_l = \frac{\beta h_{l-1}^*}{h h_0} \quad (2.14)$$

$$q_l = \frac{\beta h h_l}{h h_0} \cdot l \neq 0, \quad q_0 = 0 \quad (2.15)$$

Avantajul e numărul redus de prize (taps) de ajustat pentru a permite algoritmului să urmărească fluctuațiile rapide ale canalului, dar la prima iterație IC este suboptimal. În plus trebuie integrat în egalizor un circuit cu calare pe fază PLL (Phase Loop Locked).

Capitolul 3 Decodare MAP utilizând algoritmul BCJR

În acest paragraf se descrie procesul de decodare folosind algoritmul BCJR. Structura unui decodor turbo cu concatenare paralelă arată ca în figura 3.1 .

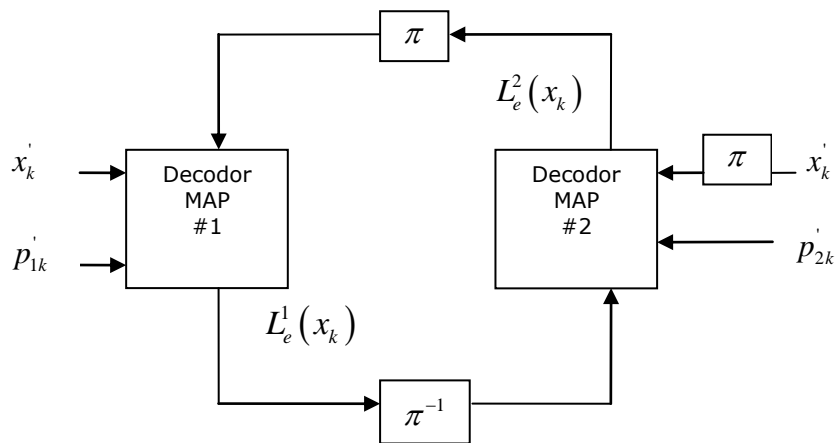


Figura 3.1: Decodorul turbo

Acesta se compune dintr-o pereche de decodoare care lucrează împreună, în scopul de a rafina și a îmbunătăți estimarea biților originali. Decodorul se bazează pe algoritmul BCJR, de asemenea, numit și algoritm MAP (Maximum a posteriori probability). Decodarea se bazează pe decizie soft a informației.

După inițializare decizia soft provenită de la un decodor notată cu L_e și numită informație extrinsecă este utilizată pentru a inițializa celălalt decodor. Informația decodată este din nou adusă la intrarea primului decodor . Aceste iterații se repetă până când decizia soft converge către un set stabil de valori. Pentru a calcula valorile estimate ale mesajului se folosește ultima informație extrinsecă emisă de primul decodor. În figura de mai sus s-a notat cu π^{-1} blocul de întreșere (interleaver) , iar cu π blocul de de-întreșere (de-interleaver).

Algoritmul BCJR este un algoritm pentru decodarea MAP a codurilor corectoare de erori bazate pe diagrama de trellis (în principal coduri convoluționale). Algoritmul este numit după inventatorii săi: Bahl, Cocke, Jelinek și Raviv. În această secțiune se va descrie algoritmul BCJR folosind [20] și [21].

Pentru început se vor introduce câteva notații :

- Elementele mesajului transmis, care depind de ieșirea codorului $i \in \{1, 2\}$,

sunt $y_{k,i} = \{x_k, p_k^i\}$, unde x_k este codul sistematic, iar p_k^1 și p_k^2 reprezintă secvențele de verificare a parității provenite de la codorul RSC 1, respectiv de la codorul RSC 2

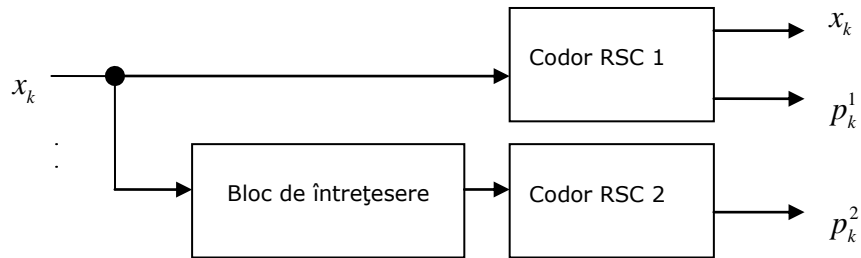


Figura 3.2 Codorul turbo

• Elementele codului recepționat $y'_{k,i} = \{x'_k, p'_{i,k}\}$ $i \in \{1, 2\}$ și vectorul codului recepționat depind de ieșirile codoarelor $Y' = y'_{1,N} = \{y'_1, y'_2, \dots, y'_N\}$ unde N este lungimea mesajului.

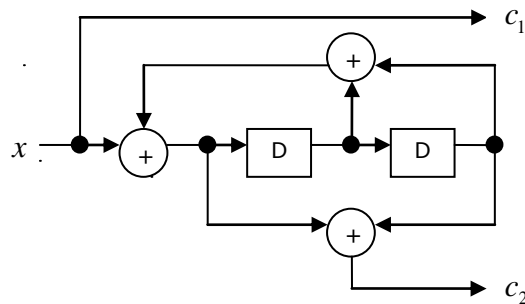
• Informația extrinsecă $L_{e,i,j}$ de la decodorul i la decodorul j unde $(i, j) \in \{1, 2\}^2$

• Informația apriori $L_{a,k}$ la decodorul $k \in \{1, 2\}$

• Decizia soft MAP este :

$$L_{map}(x_k) = \log \left\{ \frac{Pr(x_k = +1|Y')}{Pr(x_k = -1|Y')} \right\} \quad (3.1)$$

Structura codorului RSC utilizat este de forma:

Figura 3.3: Codor convoluțional ($G = [111 ; 101]$)

3.4: Diagrama de stare corespunzătoare acestui codor este prezentată în figura

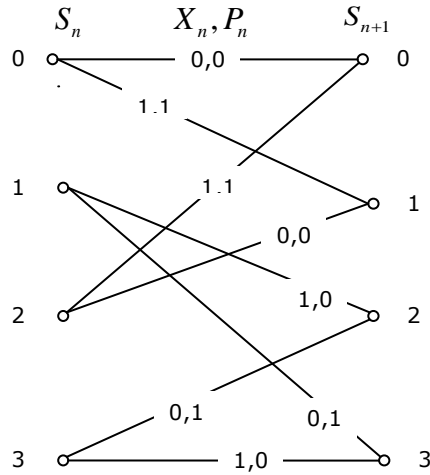


Figura 3.4: Diagrama de stare a codorului

Construcția diagramei de trellis permite descrierea comportamentului codorului turbo și este un element cheie în procesul de decodare.

Pentru codorul turbo, diagrama de trellis este finalizată atunci când, după secvența de intrare, sunt inserați $m = K-1$ biți suplimentari, unde K este numărul de coloane din matricea generatoare G . Acești biți suplimentari aduc codorul la starea inițială (terminarea trellisului).

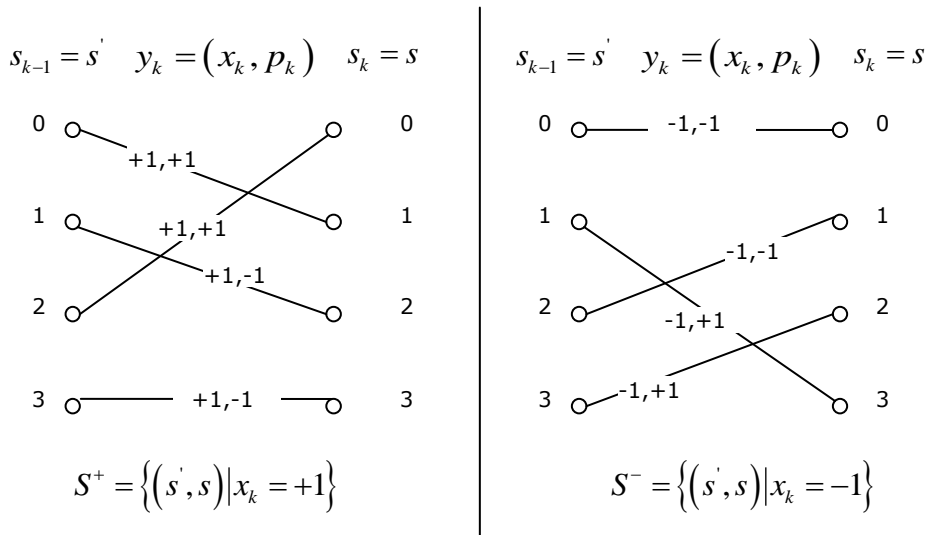


Figura 3.5 Tranziția stărilor pentru matricea generatoare $G = [111; 101]$ utilizată pentru calcularea coeficienților γ , unde S^+ corespunde tranziției (s', s)

cu $x_k = +1$ în diagrama de trellis

Notajiile introduse în figurile 3.4 și 3.5 sunt :

- $s_k \in S$ este starea codorului la momentul de timp k ,
- S^+ este setul de perechi (s', s) care corespund tranziției

$(s_{k-1} = s') \rightarrow (s_k = s)$ determinat de intrarea de date $x_k = +1$.

La fel, S^- este definit pentru date de intrare $x_k = -1$. Prin utilizarea teoremei lui Baye în relația (3.1), atât la numărător cât și la numitor se poate simplifica această expresie, eliminând $P(y')$. În acest caz se obține expresia :

$$\left\{ \frac{Pr(x_k = +1|y')}{Pr(x_k = -1|y')} \right\} = \frac{\sum_{(s',s) \in S^+} Pr(s_{k-1} = s', s_k = s, y')}{\sum_{(s',s) \in S^-} Pr(s_{k-1} = s', s_k = s, y')} \quad (3.2)$$

Dezvoltând această expresie prin introducerea altor funcții cum ar fi $(\gamma_k, a_k$ și $\beta_k)$ se obține :

$$Pr(s_{k-1} = s', s_k = s, y'_{1,N}) = Pr(s_{k-1} = s', y'_{1,k-1}).$$

$$Pr(s_k = s, \gamma'_k | s_{k-1} = s') \cdot Pr(y'_{k+1,N} | s_k = s) = a_{k-1}(s') \cdot \gamma_k(s', s) \cdot \beta_k(s) \quad (3.3)$$

Sensurile acestor funcții, diferitele etape și calculele utilizate pentru a obține aceste expresii sunt prezentate în lucrările [20] [21]. Prin urmare, funcția $a_k(s')$ este probabilitatea de a ajunge la o ramură într-o stare particulară cu secvența zgomotoasă $y'_{1,k} = \{y'_1, y'_2, \dots, y'_k\}$ care duce la acea stare. Utilizând recursivitatea înainte se poate exprima această funcție în termenii $\gamma_k(s', s)$:

$$\begin{aligned} a_k(s) &= Pr(s_k = s, \gamma'_{1,k}) = \sum_{s'} Pr(s_{k-1} = s', \gamma'_{1,k-1}) \cdot Pr(s_k = s, \gamma'_k | s_{k-1} = s') \\ &= \sum_{s'} a_{k-1}(s') \cdot \gamma_k(s', s) \end{aligned} \quad (3.4)$$

Prin normalizarea acestei funcții, se obține:

$$a_k(s) = \frac{\sum_{s'} a_{k-1}(s') \cdot \gamma_k(s', s)}{\sum_s \sum_{s'} a_{k-1}(s') \cdot \gamma_k(s', s)} \quad (3.5)$$

Funcția $\beta_k(s)$ corespunde probabilității de a exista o ramură prin intermediul unei anumite stări particulare s și secvența cu zgomot $y'_{k+1,N} = y'_{k+1}, y'_{k+2}, \dots, y'_N$ care termină trellisul.

Utilizând recursivitatea înapoi, funcția $\beta_k(s)$ se poate exprima cu ajutorul termenilor $\gamma_k(s', s)$.

$$\begin{aligned}\beta_k(s') &= Pr(y'_{k+1,N} | s_k = s) = \sum_s Pr(s_{k+1} = s, y'_{k-1} | s_k = s') \cdot Pr(y'_{k+2,N} | s_k = s') \\ &= \sum_{s'} \gamma_{k+1}(s', s) \cdot \beta_{k+1}(s)\end{aligned}\quad (3.6)$$

După normalizare acest coeficient devine :

$$\beta_k(s) = \frac{\sum_{s'} \gamma_{k+1}(s', s) \cdot \beta_{k+1}(s)}{\sum_s \sum_{s'} \gamma_{k+1}(s', s) \cdot \beta_{k+1}(s')}\quad (3.7)$$

Funcția $\gamma_k(s', s)$ reprezintă probabilitatea de a transmite semnalul cu bitul de paritate y'_k cunoscând starea anterioară. Această funcție poate fi aproximată ca :

$$\exp\left\{\frac{1}{2}\left(x_k L_a(x_k) + x_k L_c x'_k + p_k L_c p'_k\right)\right\}\quad (3.8)$$

Unde L_a este informația a-priori emisă de la decodorul anterior, $L_c = \frac{2}{\sigma^2}$ depinde de raportul semnal zgomot (SNR) utilizat. Utilizând de asemenea matricea trellis se exprimă x_k și p_k pentru o anumită tranziție de stare. În final x'_k este mesajul cu zgomot, iar p'_k este bitul de paritate care depinde de decodor.

3.1 Implementarea algoritmului BCJR

În această secțiune se va descrie un algoritm de decodare implementat în MATLAB, prezentat și în [22]. Programul utilizat în [22], a fost parțial modificat de către autorul acestei lucrări. Această modificare s-a realizat pentru a se putea face o comparație între ratele de eroare de bit pentru un sistem care transmite necodat și un sistem care utilizează codarea turbo și respectiv decodarea turbo, ambele utilizând modulația BPSK [91]. Totodată în urma acestei modificări se poate vizualiza evoluția BER în funcție de raportul semnal/zgomot pentru fiecare iterație în parte.

====Inițializare====

Decodorul 1

- $a_0^1(s) = \delta_{s,0}$
- $\beta_N^1(s) = \delta_{s,0}$
- $Le_{2,1}^1(x_k) = 0$ pentru $k=1,2,\dots,N$

Nu s-a transmis de la D2 → D1, deoarece a fost parcursă doar prima iterație.

Decodorul 2

- $\alpha_0^2(s) = \delta_{s,0}$

- $\beta_N^1(s) = \alpha_N^2(s)$ pentru toate s (stabilite după calculul $\alpha_N^2(s)$ în prima iterație)

- $Le_{2,1}^1(x_k)$ pentru $k=1,2,\dots,N$

După prima iterație se obține informația extrinsecă de la D1 și se folosește această valoare întretesută ca informație apriori L_a^2 pentru decodorul D2.

=====
 ===== iterația n=====

Decodorul 1

for $k=1 : N$

- se obține $\gamma'_k = (x'_k p'_{1,k})$

- se calculează prima dată $\gamma_k(s', s)$ din relația (3.8) pentru toate

tranzițiile admisibile de stare, unde informația apriori este $L_a^1 = n^{-1}(Le_{2,1})$, informația extrinsecă dezântretesută de la decodorul 2.

- se calculează α_k^1 pentru toate s utilizând relația (3.5)

end

for $k = N : -1 : 2$

- se calculează $\beta_{k-1}^1(s)$ pentru toate s utilizând relația (3.7)

end

for $k = 1 : N$

- se calculează

$$Le_{1,2}(x_k) = \log \left\{ \frac{\sum_{s \in S^+} \alpha_{k-1}^1(s') \cdot \gamma_k(s', s) \cdot \beta_k^1(s)}{\sum_{s \in S^-} \alpha_{k-1}^1(s') \cdot \gamma_k(s', s) \cdot \beta_k^1(s)} \right\} \text{ utilizând funcția Trellis}$$

din figura 3.5 pentru sumele S^+ și S^-

end

Decodorul 2

for $k=1 : N$

- se calculează $\gamma'_k = (n(x'_k) p'_{2,k})$

• se calculează $\gamma_k(s', s)$ din relația (3.8) pentru toate tranzițiile admisibile de stare unde informația apriori este $L_a^2 = \pi(L_{e_{1,2}})$, informația extrinsecă întreținută de la decodorul 1, devine informație a-priori.

• se calculează a_k^2 pentru toate s utilizând relația (3.5)

end

for $k = N : -1 : 2$

• se calculează $\beta_{k-1}^2(s)$ pentru toate s utilizând relația (3.7)

end

for (pentru) $k = 1 : N$

• se calculează

$$L_{e_{2,1}}(x_k) = \log \left\{ \frac{\sum_{s \in S^+} a_{k-1}^2(s') \cdot \gamma_k(s', s) \cdot \beta_k^2(s)}{\sum_{s \in S^-} a_{k-1}^2(s') \cdot \gamma_k(s', s) \cdot \beta_k^2(s)} \right\}$$

end

=====

=====După ultima iterație =====

$k = 1 : N$

• se calculează L_{map1} emise de decodorul 1

$$L_{map}(x_k) = L_a(x_k) + L_c(x'_k) + L_{e_{1,2}}$$

Folosind valorile obținute la ultima iterație

• dacă $L_{map}(x_k) > 0$

decide $x_k = +1$

altfel

$x_k = -1$

End

3.2 Rezultate obținute

În figura 3.6 s-a reprezentat BER în funcție de SNR pentru o secvență de date transmisă necodat. S-a generat o secvență de biți care a fost modulată BPSK utilizând diferite valori pentru SNR. Pentru fiecare valoare a SNR s-a calculat BER cu relația (3.9) și s-a reprezentat grafic (în figura 3.6 curba roșie)

$$BER_{sim} = \frac{\text{număr de erori}}{\text{număr de biți transmiși}} \quad (3.9)$$

Aceste valori "BER_sim" sunt comparate cu valorile "BER_teoretic", acestea din urmă fiind calculate pentru modulația BPSK cu relația (3.10) și apoi reprezentate grafic. (în figura 3.6 curba albastră)

$$BER_{teoretic} = \frac{1}{2} \operatorname{erfc}(\sqrt{SNR}) \quad \dots\dots\dots(3.10)$$

unde

$$\operatorname{erfc}(x) = \frac{2}{\sqrt{\pi}} \int_x^{\infty} e^{-x^2} dx \quad (3.11)$$

În figura 3.6 se observă că cele două curbe aproape se suprapun. Această comparație s-a făcut pentru a vedea dacă se poate utiliza relația (3.10) în programul care face turbo codare/ decodare pentru a trasa caracteristica BER în funcție de SNR pentru secvența necodată (în figurile 3.11 și 3.12 curba albastră). Astfel s-a încercat să se facă o comparație (în figurile 3.11 și 3.12) între valoarea BER pentru secvența codată utilizând un anumit număr de iterații și valoarea BER pentru aceeași secvență, dar necodată.

Aceasta ar fi echivalentă cu transmiterea simultană, pentru aceleași valori SNR, atât a secvenței de biți necodată cât și a secvenței codată cu un turbocodor, ambele modulate BPSK.

La receptor, pentru secvența codată, BER-ul se calculează după decodare (utilizând un anumit număr de iterații) cu relația (3.9), iar pentru secvența necodată cu relația (3.10).

În figurile 3.7, 3.8, 3.9 și 3.10 sunt prezentate rezultatele pe care le-am obținut în urma simulării ratei erorii de bit (BER) în funcție de numărul de iterații pentru diferite valori ale lungimii secvenței de biți transmise și a raportului semnal zgomot (SNR). Din aceste patru figuri se observă că BER-ul scade odată cu creșterea atât a numărului de iterații cât și a numărului de biți din mesajul transmis. La această concluzie se ajunge din rezultatele pe care le-am obținut, urmărind rata erorii de bit în funcție de raportul semnal zgomot (BER/SNR), acestea fiind prezentate în figurile 3.11 și 3.12

Totodată în figurile 3.11 și 3.12 se observă că după prima iterație, valoarea BER este mai mare pentru secvența codată decât pentru secvența necodată. În cazul de față se impune ca în procesul de decodare să existe minim două iterații pentru a obține o performanță mai bună față de cazul transmisiei necodate.

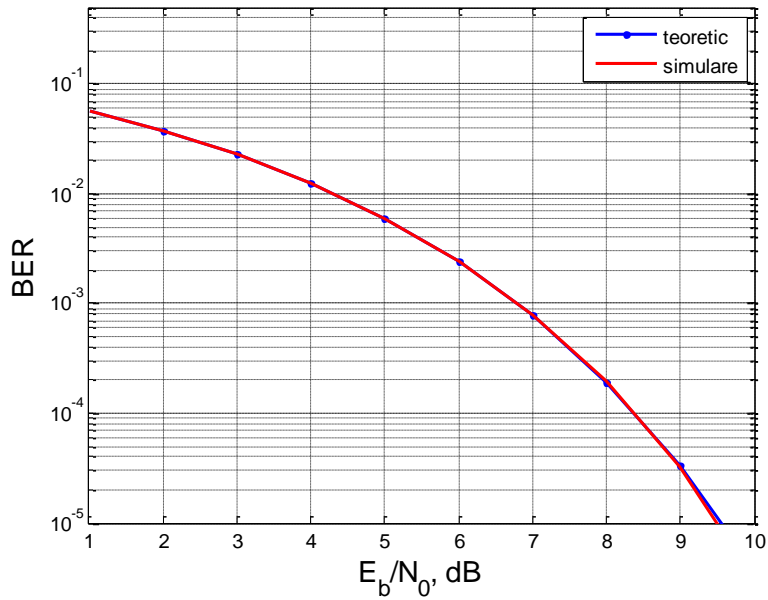


Figura 3.6 Probabilitatea erorii pe bit pentru o modulație BPSK (numărul biților transmiși este 10^6)

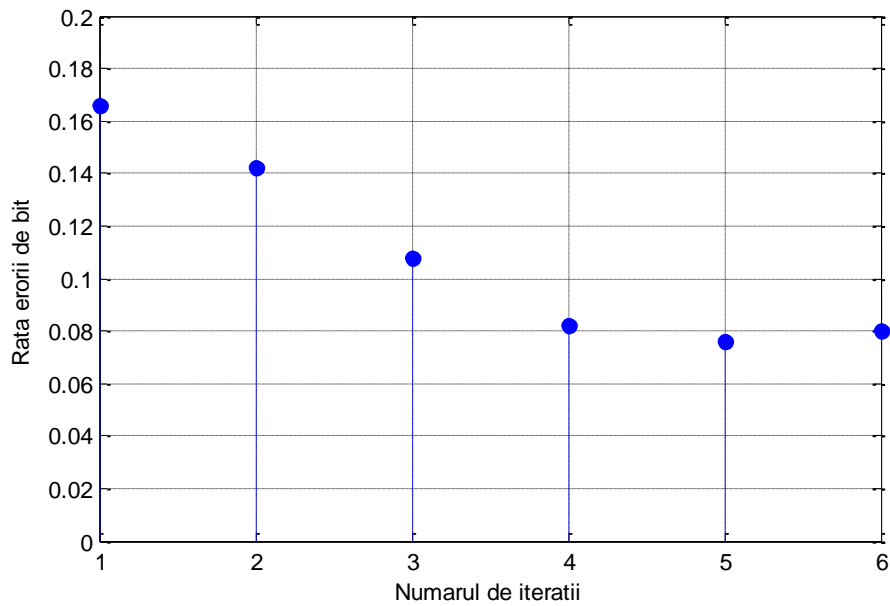


Figura 3.7 Rata erorii de bit in funcție de numărul de iterații ($E_b / N_0 = 0,2$, numărul de biți=100)

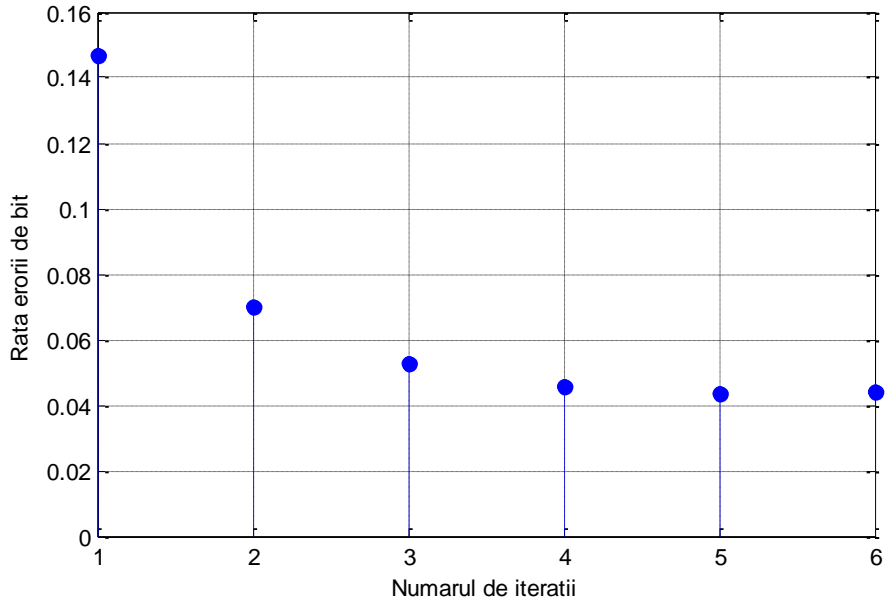


Figura 3.8 Rata erorii de bit în funcție de numărul de iterații
($E_b / N_0 = 0,5$, numărul de biți=100)

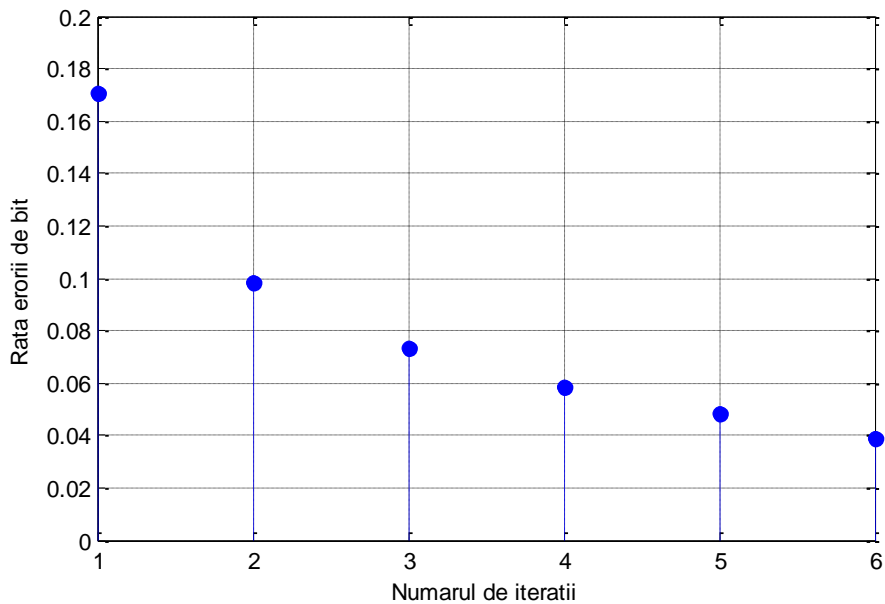


Figura 3.9 Rata erorii pe bit în funcție de numărul de iterații
($E_b / N_0 = 0,2$, numărul de biți=10000)

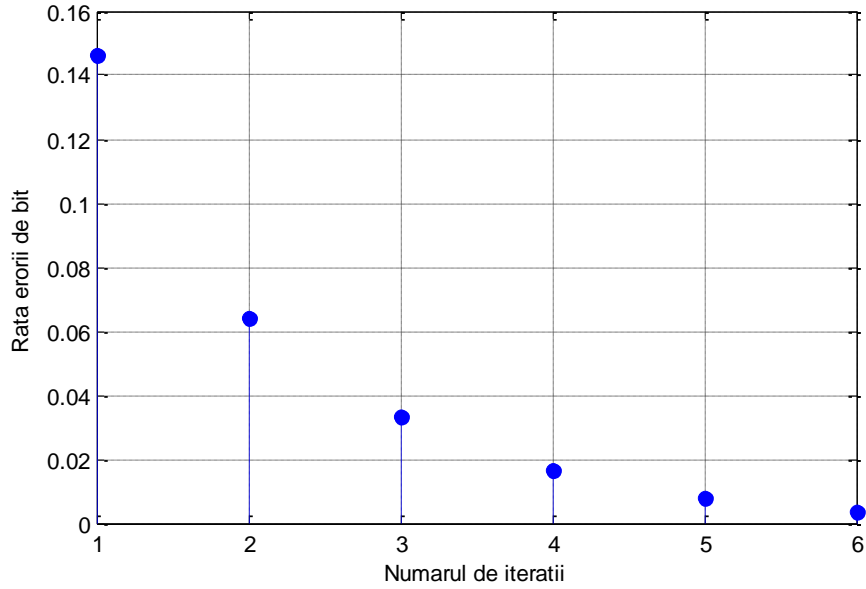


Figura 3.10 Rata erorii pe bit în funcție de numărul de iterații ($E_b / N_0 = 0,5$, numărul de biți=10000)

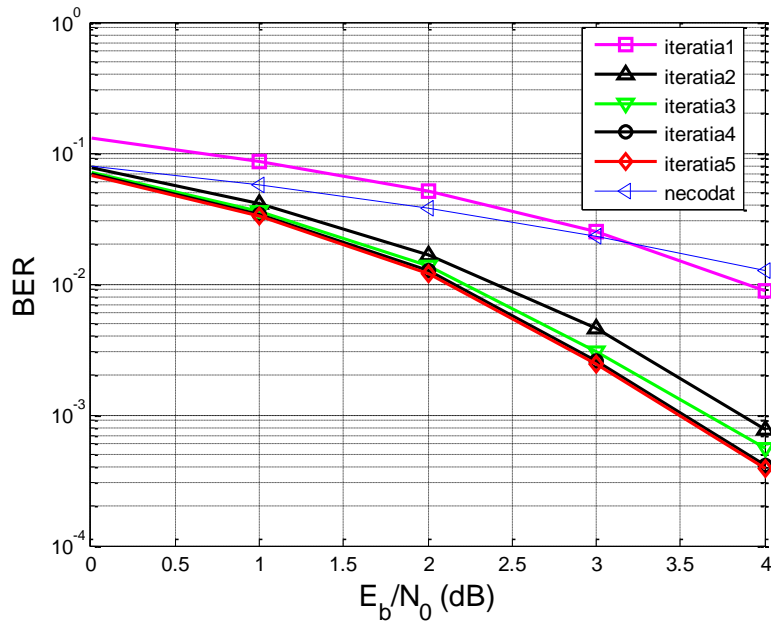


Figura 3.11 BER/SNR (numărul de biți=10)

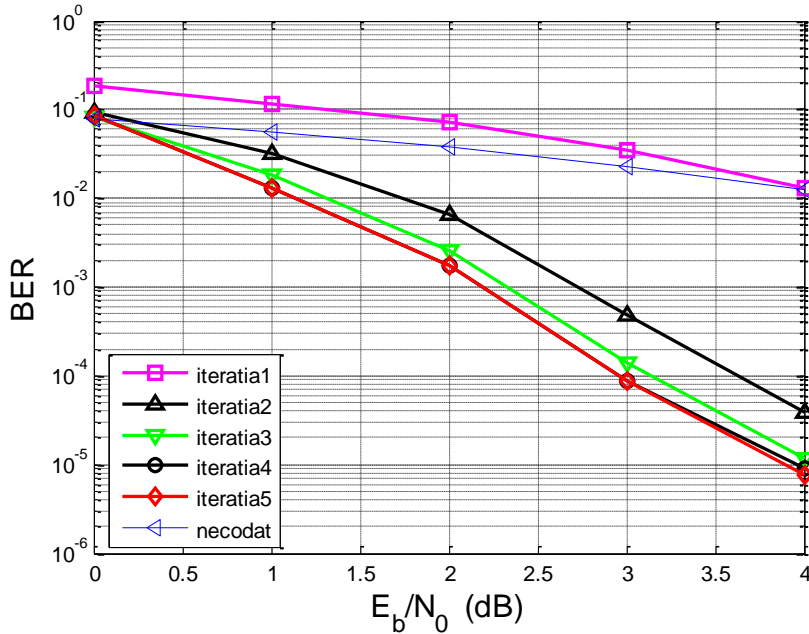


Figura 3.12 BER/SNR (numărul de biți=100)

Totodată iterația cinci nu aduce nici o îmbunătățire secvenței estimate de la ieșirea decodurului turbo. În exemplul prezentat răspunsul la impuls h al canalului era considerat ca fiind unitar (nu există propagare multicale).

În cazul în care există propagare multicale în fața decodurului trebuie introdus un egalizor. Schema bloc a sistemului de transmisie - recepție este prezentată în figura 3.13. În cazul de față am implementat schema bloc din figura 3.13 cu programul Matlab pentru două tipuri de egalizoare și anume: MMSE și ZF. Înainte de a face implementarea am făcut o analiză comparativă a performanțelor celor două tipuri de egalizoare în cazul unei transmisii BPSK, considerând estimarea răspunsului la impuls al canalului ca fiind perfectă. Lungimea secvenței de biți s-a considerat $k = 10^5$, iar valoarea lui $h = [0.213 \ 0.812 \ 0.312]$. În urma simulării am obținut figura 3.14.

Din figura 3.14 se observă că BER-ul, în cazul egalizării MMSE, este mai mic decât în cazul egalizării ZF pentru aceeași valoare a SNR, (ceea ce indică o performanță mai ridicată a egalizării MMSE față de egalizarea ZF).

Revenind la schema bloc din figura 3.13, când comutatoarele sunt în poziția 1 se transmite o secvență de învățare, s_N , care este cunoscută de estimatorul de canal. Pe baza secvenței recepționate \tilde{s}_N și utilizând unul din algoritmi de estimare cum ar fi MMSE sau LS, se poate determina valoarea estimată a lui h (\hat{h}). Când comutatoarele sunt în poziția 2 se face transmisia datelor.

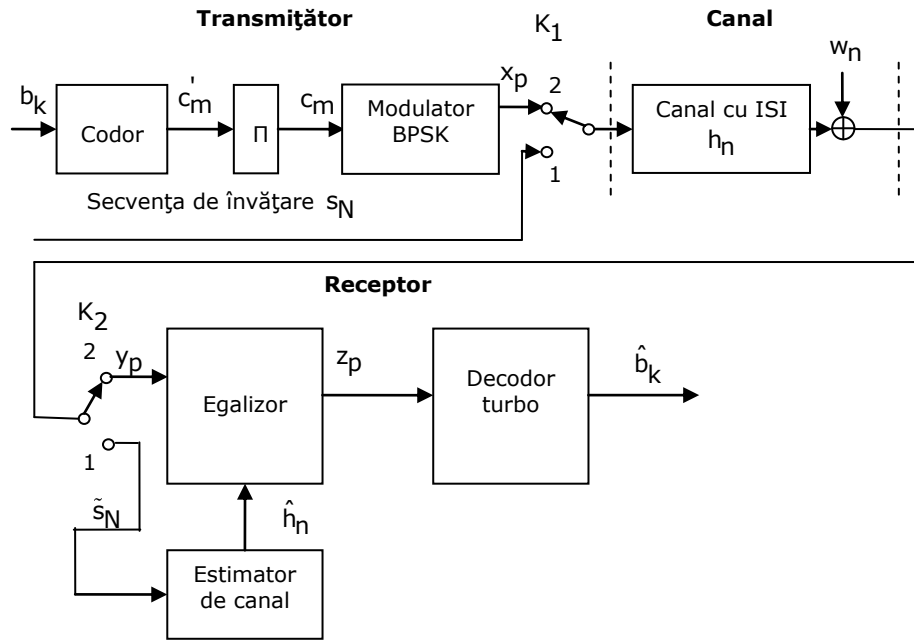


Figura 3.13 Schema bloc a sistemului de transmisie – recepție care realizează la recepție estimarea și egalizarea canalului

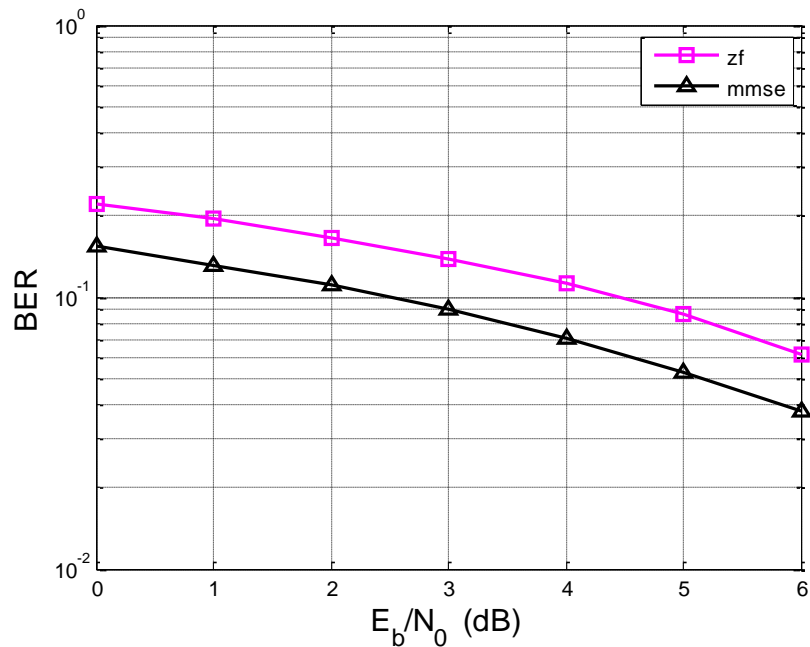


Figura 3.14. BER/SNR în cazul egalizării MMSE și ZF
($k = 10^5$, $h = \hat{h} = [0.213 \ 0.812 \ 0.312]$)

În cazul de față am folosit algoritmul de estimare LS (least-square). Metoda de estimare LS, implică găsirea lui \hat{h} care minimizează eroarea pătratică utilizând următoarea relație:

$$\hat{h} = \arg \min_h \|\tilde{s} - Sh\|^2 \quad (3.12)$$

Presupunând că zgomotul este alb și Gaussian, soluția ecuației de mai sus este:

$$\hat{h}_{LS} = (S^T \cdot S)^{-1} \cdot S^T \cdot \tilde{s} \quad (3.13)$$

unde S este matricea Toeplitz corespunzătoare secvenței de învățare transmise $s[N]$, iar S^T reprezintă transpusa matricei S .

În figurile 3.15 și 3.16 este prezentată analiza comparativă a performanțelor dintre egalizorul MMSE și egalizorul ZF pentru două valori ale lungimii secvenței de învățare ($N=8$, respectiv 16). Valoarea răspunsului la impuls al canalului s-a considerat ca fiind $h = [0.2 \ 0.9 \ 0.3]$, iar lungimea secvenței de date care se transmite $k = 128$.

Odată cu creșterea lungimii secvenței de învățare, estimarea canalului devine mai bună, dar egalizarea MMSE oferă performanțe mai ridicate față de egalizarea ZF.

O îmbunătățire a estimării și implicit a decodării turbo poate fi obținută prin utilizarea schemei bloc din figura 3.17.

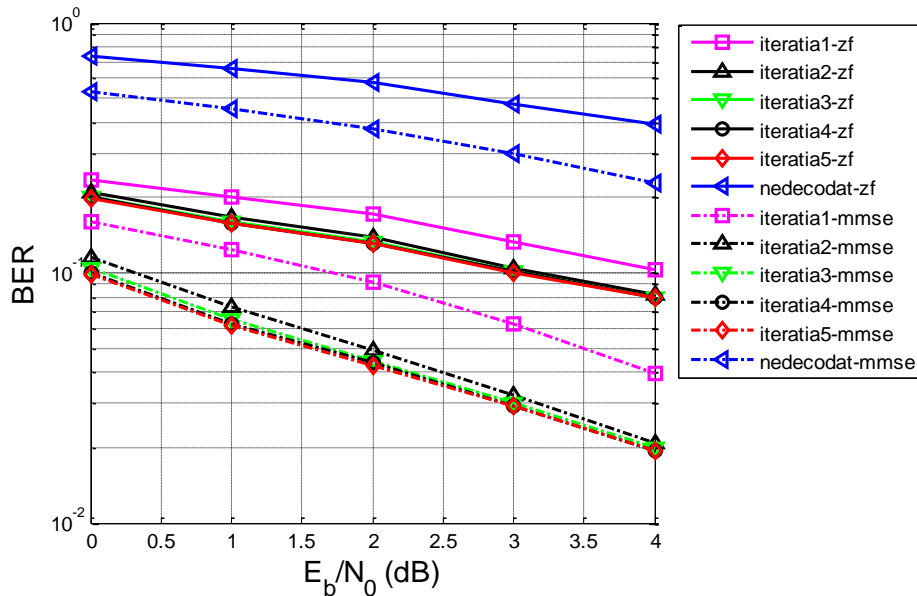


Figura 3.15. BER/SNR ($h = [0.2 \ 0.9 \ 0.3]$, $N = 8$, $k = 128$)

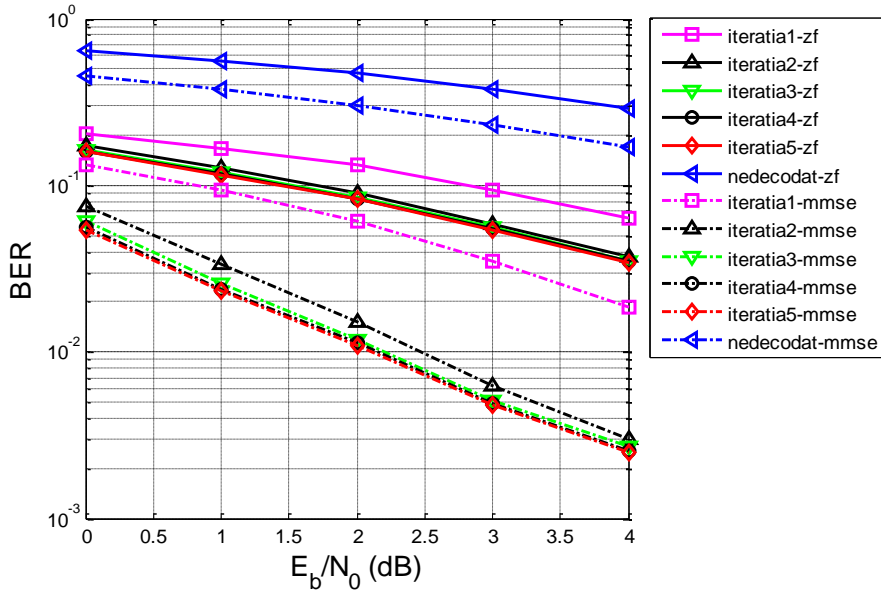


Figura 3.16. BER/SNR ($h = [0.2 \ 0.9 \ 0.3]$, $N = 16$, $k = 128$)

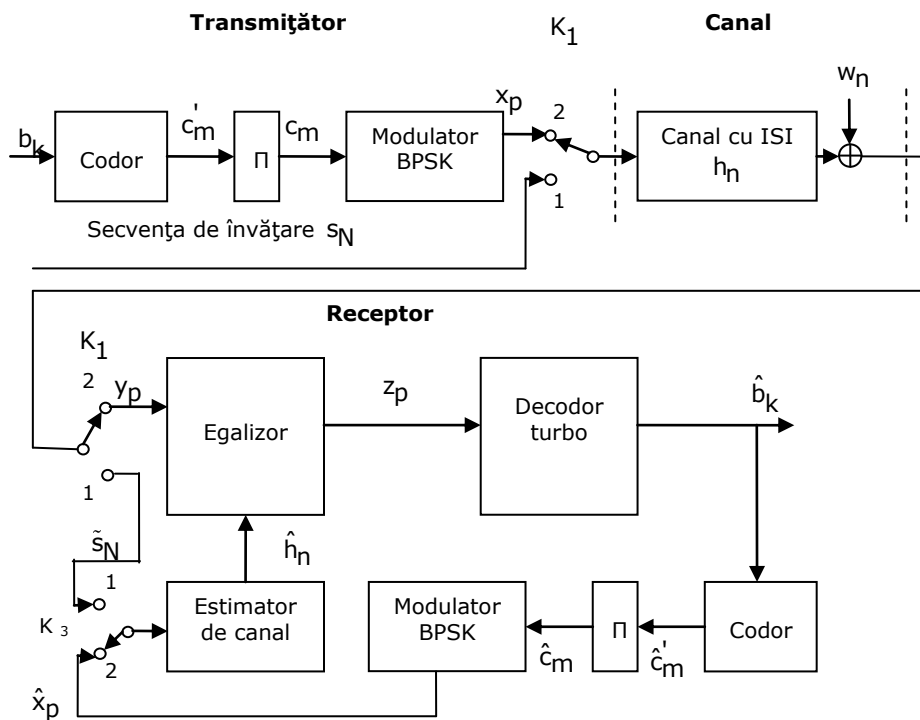


Figura 3.17 Schema bloc a sistemului de transmisie – recepție care realizează la recepție estimarea iterativă și egalizarea canalului

Schema din figura 3.17 funcționează la fel ca și schema din figura 3.12, doar că estimarea canalului este făcută iterativ. După un anumit număr de iterații impus decodatorului turbo, secvența estimată de ieșirea acestuia \hat{b}_k este codată, întrețesută iar apoi modulată BPSK și adusă la estimatorul de canal. Acesta, pe baza secvenței recepționate y_p și a secvenței estimate transmise \hat{x}_p , recalculează cu ajutorul algoritmului de estimare LS valoarea lui \hat{h}_n utilizând relația:

$$\hat{h}_{LS} = (\hat{X}^T \cdot \hat{X})^{-1} \cdot \hat{X}^T \cdot y \quad (3.14)$$

unde \hat{X} este matricea Toeplitz corespunzătoare secvenței $\hat{x}[p]$, care intră în estimatorul LS, iar \hat{X}^T reprezintă transpusa matricei \hat{X} . Dacă presupunem că:

$$\hat{x}[p] = [\hat{x}[1], \hat{x}[2], \dots, \hat{x}[p]], \quad (3.15)$$

iar semnalul recepționat

$$y[p] = [y[1], y[2], \dots, y[p]]^T \quad (3.16)$$

și valoarea estimată a lui h

$$\hat{h}_{LS} = [\hat{h}[1], \hat{h}[2], \dots, \hat{h}[n]]^T \quad (3.17)$$

atunci matricea \hat{X} arată în felul următor:

$$\hat{X} = \begin{bmatrix} \hat{x}[1] & 0 & \dots & 0 \\ \hat{x}[2] & \hat{x}[1] & \dots & 0 \\ \vdots & \vdots & \ddots & \vdots \\ \hat{x}[p] & \hat{x}[p-1] & \dots & \hat{x}[p-n+1] \end{bmatrix} \quad (3.18)$$

În continuare am făcut o analiză comparativă a performanțelor obținute cu schemele din figurile 3.13 și 3.17, unde schema din figura 3.13 face estimarea o singură dată, iar schema din figura 3.17 face estimarea iterativ. Pentru această analiză, în ambele scheme (din figura 3.13 și 3.17) am utilizat egalizorul MMSE, deoarece oferă performanțe mai ridicate decât egalizorul ZF.

3.2.1 Cazul estimării perfecte a canalului

În acest exemplu s-a presupus că estimarea inițială făcută este perfectă. Pentru aceasta s-a considerat valoarea răspunsului la impuls al canalului ca fiind $h = [0.2 \ 0.9 \ 0.3]$, lungimea secvenței de date care se transmite $k = 128$. În urma simulării am obținut figura 3.18

În figura 3.18 s-a notat cu "mmse" rezultatele obținute cu schema din figura 3.13 iar cu "mmseLS" rezultatele obținute cu schema din figura 3.17. În acest caz se observă că rezultatele obținute cu schema din figura 3.13 sunt mai bune

decât cele obținute cu schema din figura 3.17. Rezultă că nu este utilă estimarea iterativă a lui h , dacă acesta a fost estimat corect înaintea procesului de egalizare și decodare.

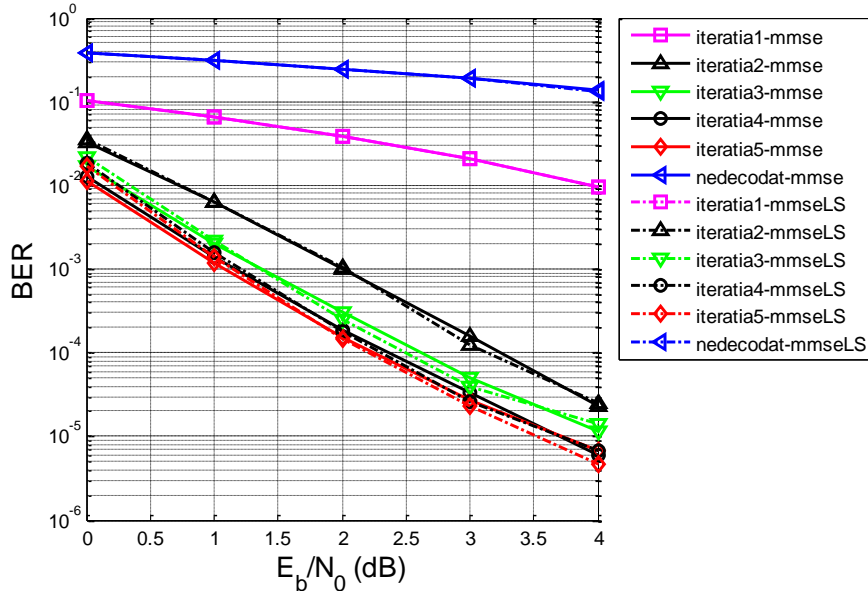


Figura 3.18. BER/SNR ($h = \hat{h} = [0.2 \ 0.9 \ 0.3]$, $k = 128$)

3.2.2 Cazul estimării cu algoritmul LS

În acest caz valoarea răspunsului la impuls al canalului s-a considerat aceeași $h = [0.2 \ 0.9 \ 0.3]$, lungimea secvenței de date care se transmite $k = 128$, iar lungimea secvenței de învățare s-a considerat: i) $N=8$, respectiv ii) $N=16$

După cum se observă din cele două figuri (3.19 și 3.20), odată cu creșterea secvenței de învățare, estimarea devine mai bună, iar BER-ul mai mic. Spre exemplu pentru cazul i) $N = 8$ (figura 3.19), la o valoare a $SNR = 4dB$, la iterația cinci, BER-ul este cuprins între 10^{-2} și 10^{-3} , iar în cazul ii) $N = 16$ (figura 3.20), pentru aceeași valoare a SNR, la aceeași iterație, BER-ul este cuprins între 10^{-3} și 10^{-4} . Totodată se observă că rezultatele obținute cu estimarea iterativă a lui h sunt mai bune decât cu estimarea acestuia o singură dată.

Dezavantajul schemei din figura 3.17 este numărul mare de iterații efectuat de decodorul turbo. În cazul de față după primele cinci iterații se face o nouă estimare a lui h , și procesul de decodare se reia cu încă cinci iterații.

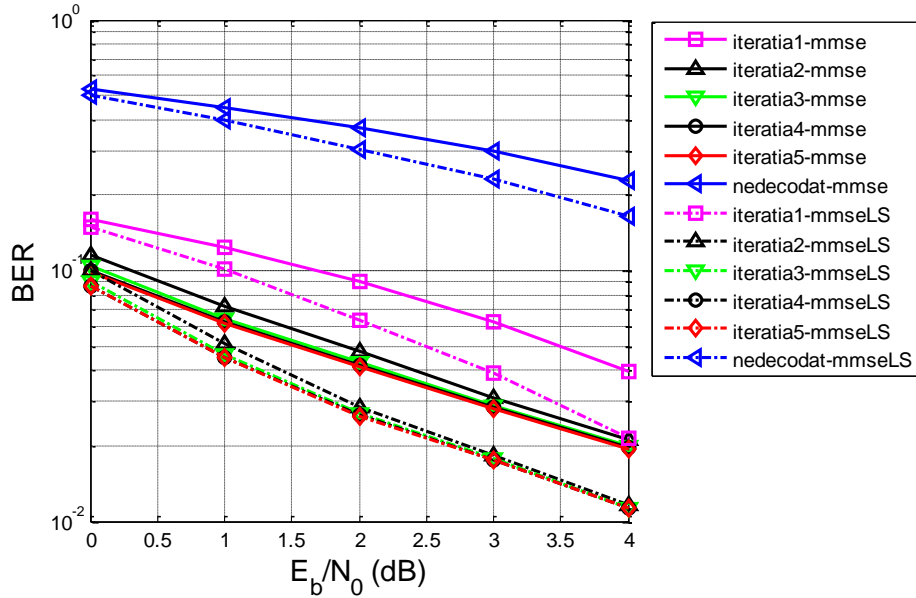


Figura 3.19. BER/SNR ($h = [0.2 \ 0.9 \ 0.3]$, $k = 128$, $N = 8$)

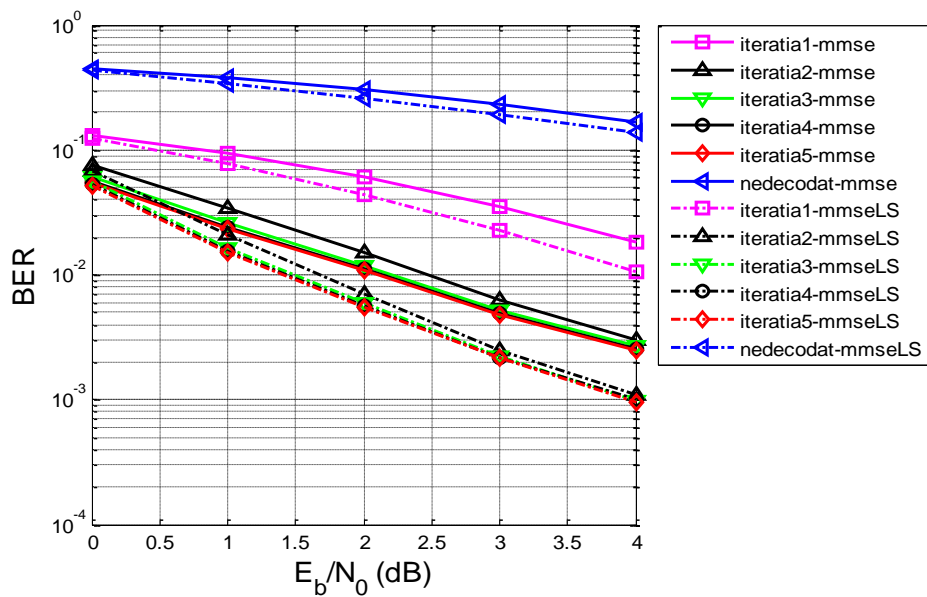


Figura 3.20. BER/SNR ($h = [0.2 \ 0.9 \ 0.3]$, $k = 128$, $N = 16$)

Dacă s-ar fi făcut de R ori recalcularea lui \hat{h} , iar I să fie numărul de iterații efectuate de decodare în cadrul unui proces de decodare, atunci numărul total de iterații efectuate de decodorul turbo este $(R + 1) \cdot I$. În simulările pe care le-am făcut pentru schema din figura 3.17 recalcularea lui \hat{h} a fost făcută o singură dată

($R = 1$), iar numărul de iterații efectuate de decodorul turbo în cadrul unui proces de decodare este cinci $I = 5$. Rezultă că în acest caz numărul minim de iterații efectuate de decodorul turbo din figura 3.17 este zece.

În cazul transmisiei multicale am obținut rezultate mai bune în ce privește rata erorii pe bit (BER mai mic la aceeași valoare a SNR) prin utilizarea unui turboegalizor la recepție.

Aceste rezultate precum și descrierea principiului de funcționare al turboegalizorului sunt prezentate în capitolul patru.

Capitolul 4 Turbo egalizarea

Turbo egalizarea a fost propusă pentru prima dată de Catherine Douillard s.a. în 1995 [3], pentru un sistem cu modulație BPSK (Binary Phase Shift Keying) și coduri convoluționale concatenate serie - figura 4.1.

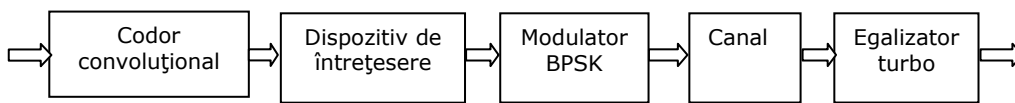


Figura 4.1 Sistem serial format din codor convoluțional, dispozitiv de întretesere, modulator BPSK și un turbo egalizor, care efectuează egalizare, demodulare și decodare iterativă.

Egalizorul turbo propus de autori -figura 4.2 - reduce efectele ISI, când răspunsul la impuls al canalului este perfect cunoscut. Egalizarea și decodarea nu se fac ca operații independente; pentru de a depăși problemele create de selectivitatea în frecvență a canalului, o performanță mai bună se poate obține cu un egalizator turbo, care efectuează iterativ atât egalizarea cât și decodarea, considerând canalul discret cu memorie. Turbo-egalizarea se bazează pe decodarea turbo iterativă, cu două decodări SISO, structură propusă de C. Berrou s.a. în [2, 23].

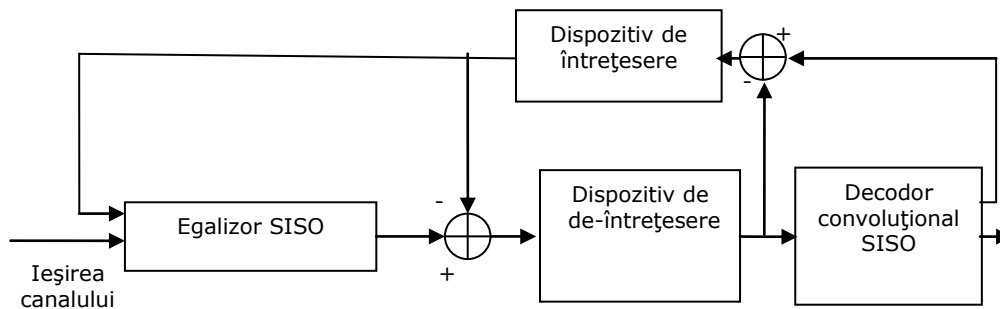


Figura 4.2: Structura originală a egalizorului turbo introdusă de C.Douillard

Informația a priori asociată unui bit v_m , cunoscută înainte de egalizare sau decodare, de la altă sursă decât secvența recepționată sau constrângerile codului, mai este numită și *informație intrinsecă*. *Informația extrinsecă* asociată bitului v_m este furnizată de egalizor sau decodor din secvența recepționată și informațiile a priori ale tuturor celorlalte biți, cu excepția informației a priori referitoare la bitul v_m . Informația extrinsecă referitoare la un anumit bit există din diferite cauze. Când se utilizează un codor corector de erori, cu memorie, fiecare bit de intrare influențează o secvență codată lungă. Deoarece un codor convoluțional convențional

are un răspuns la impuls de durată infinită [24], fiecare bit de intrare influențează un număr infinit de biți codați de ieșire, teoretic. Practic, intervalul este redus la de cinci ori constrângerea codului, cu aproximație. În codarea turbo cu coduri RSC, este folosit de obicei un interleaver cu memorie mare, care extinde numărul de biți codați influențați de un bit de intrare, deoarece răspunsul la impuls al codorului turbo este de obicei prelungit. Acest lucru justifică puterea mare de corecție și interleaverul lung. Deoarece un bit de intrare influențează mulți biți din secvența codată, chiar și când încrederea este redusă într-o decizie particulară asupra unui bit, informația extrinsecă referitoare la acesta a fost distribuită pe un număr mare de biți codați. Cu informația extrinsecă, decodorul turbo iterativ poate spori încrederea în decizia de bit, inițial redusă. Informația intrinsecă și extrinsecă legate de un bit trebuie tratate separat de decodor și astfel rămân necorelate, pentru ca decodorul să fie capabil să îmbunătățească fiecare estimat din iterațiile consecutive ale decodării turbo. În afară de memoria codorului turbo există alte mecanisme generatoare de informații extrinseci datorate memoriei lor, ca memoria canalului ce induce dispersia în timp, respectiv CISI (Controlled Intersymbol Interference) din modulatoarele GMSK.

Informația a-posteriori asociată unui bit este informația dată de algoritmul SISO luând în considerare toate informațiile disponibile despre biții u_k . Egalizorul turbo constă dintr-un egalizor SISO și un decodor SISO. Egalizorul SISO - figura 4.2 - generează probabilitatea a-posteriori, obținută din secvența recepționată din canal (în care unii biți pot fi eronați) și probabilitatea a-priori furnizată de decodorul SISO. Dar la prima iterație de egalizare turbo, decodorul nu furnizează nici o informație a-priori; probabilitatea a-priori este setată la $\frac{1}{2}$ - biții transmiși se presupun echiprobabili.

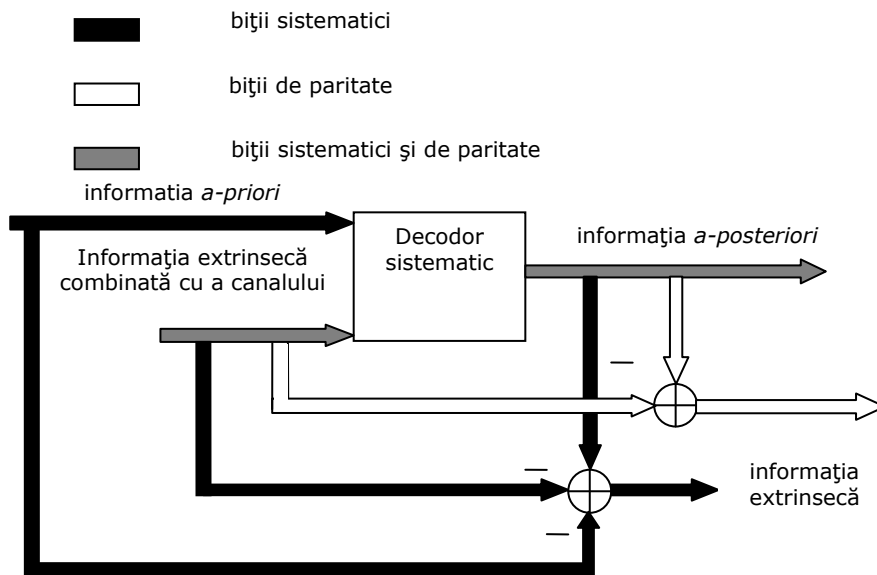


Figura 4.3 Schema decodului utilizat în turboegalizare

Înainte de a pasa decodorul SISO informația a-posteriori generată de egalizorul SISO, trebuie eliminată contribuția decodurului (ca informație a-priori), de la iterația anterioară, pentru a aduce la intrarea decodurului doar informațiile extrinseci combinate cu ale canalului.

Se minimizează astfel și corelția dintre informațiile apriori furnizate de decodor și cele aposteriori generate de egalizor. Informațiile extrinseci combinate cu ale canalului sunt inerent legate, nu pot fi separate, fiind induse de mecanisme cu memorie.

Eliminarea informațiilor a-priori este necesară pentru ca decodorul să nu-si recepționeze propria informație - caz în care ar apărea o reacție pozitivă care ar distruge estimarea curentă a decodurului referitoare la biții codați, adică informația extrinsecă.

Informațiile combinate, extrinseci și ale canalului, sunt de-întreșute (de de-interleaverul de canal) și trimise decodurului SISO care va calcula probabilitatea a-posteriori a biților codați. Pașii acestia diferă de cei de la turbo decodare. Decodarea componentelor dintr-un decodor turbo produc doar probabilitatea a-posteriori a biților sursă, și nu a biților codați pentru canal - vezi figura 4.4.

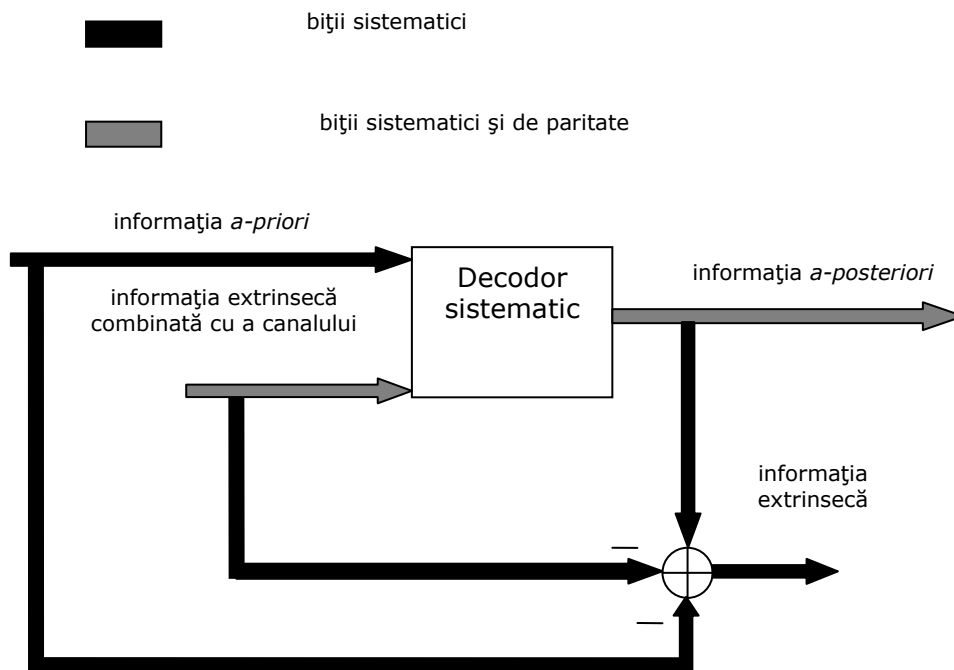


Figura 4.4 Schema decodurului utilizat în turbodecodare

Decodorul din turbo egalizor calculează valorile LLR (Log-Likelihood Ratio) a-posteriori pentru biții de paritate și cei sistematici -figura 4.3. Pentru a obține informațiile extrinseci, informațiile extrinseci combinate cu ale canalului sunt scoase din informațiile a-posteriori provenite din decodor -figura 4.2- înainte ca acestea din urmă să fie întreșute. Acest lucru se face prin scăderea valorilor LLR ale biților sistematici care conțin informațiile extrinseci combinate cu ale canalului și a valorilor

LLR a-priori din valorile LLR a-posteriori a biților sistematici -figura 4.3. Prin această operație rezultă doar LLR extrinseci corespunzătoare biților sistematici.

Pentru obținerea valorilor LLR extrinseci ale biților de paritate - figura 4.3 - se scad numai valorile LLR ale biților de paritate care conțin informațiile extrinseci combinate cu ale canalului din valorile LLR a-posteriori corespunzătoare biților de paritate. Scopul scăderii acestor valori LLR de intrare din valorile LLR a-posteriori este de a nu lăsa egalizorul să recepționeze informații bazate pe propriile decizii, care au fost generate în iterația anterioară de egalizare turbo.

Informația extrinsecă calculată este apoi adusă ca informație de intrare a-priori egalizorului în următoarea etapă a procesului de egalizare de canal. Aceasta constituie prima iterație de egalizare turbo. Procesul iterativ se repetă până când criteriile de terminare cerute sunt îndeplinite [25]. În acest stadiu, informația a-posteriori a biților sursă, care a fost generată de decodor, este utilizată la estimarea biților transmiși.

Structura unui egalizor turbo având două decodoare componente este prezentată în Figura 4.5. Pentru simplitate, s-a omis interleaverul și s-au notat doar pozițiile interleaverului, unde n_c reprezintă interleaverul de canal iar n_t turbo interleaverul. Indicele -1 este folosit pentru de-interleaver.

4.1 Principiul egalizării turbo utilizând unul sau mai multe decodoare

În această secțiune se va descrie principiul egalizării turbo pentru un receptor care lucrează în banda de bază compus dintr-un egalizor și un număr N_d de decodoare componente folosind figura 4.5.

Această schemă este o extensie a sistemului inițial de egalizare turbo [3], ilustrat în figura 4.2. Pentru simplitate, s-a omis interleaverul de canal n_c și turbo interleaverul n_t și s-au marcat numai pozițiile lor. Puterea „-1” reprezintă o de-întrețesere. De obicei, pentru codurile turbo sunt $N_d = 2$ decodoare componente, în timp ce pentru decodarea convoluțională non-iterativă este un singur decodor ($N_d = 1$). Regula pentru egalizatoarele turbo este că informațiile de intrare pentru un anumit bloc în iterația curentă nu trebuie să conțină informația obținută de acest bloc în iterația anterioară. În caz contrar informația utilizată în iterații consecutive ar fi dependentă de cea de dinainte.

Egalizorul și decodorul din figura 4.5 folosesc un algoritm SISO, cum ar fi algoritmul MAP optimal [26], algoritmul Log-MAP [27] sau Soft Output Viterbi Algorithm (SOVA) [28, 29, 30], care dă informații a-posteriori.

Așa cum este definită anterior, informația a-posteriori cu privire la bit este informația pe care blocul SISO o generează, luând în considerare toate sursele disponibile de informații despre acel bit.

Când se folosește algoritmul MAP sau algoritmul Log-MAP, exprimăm informația a posteriori din punct de vedere al valorilor LLR [31]. Valoarea LLR a unui bit v_m , L^{v_m} , este definită ca logaritmul natural al raportului probabilităților ca biții să ia una din cele două valori posibile de 1 și -1:

$$L^{v_m} = \ln \left(\frac{P(v_m = +1)}{P(v_m = -1)} \right) \quad (4.1)$$

Valoarea LLR a egalizorului și decodorului utilizând notația vectorială [32].

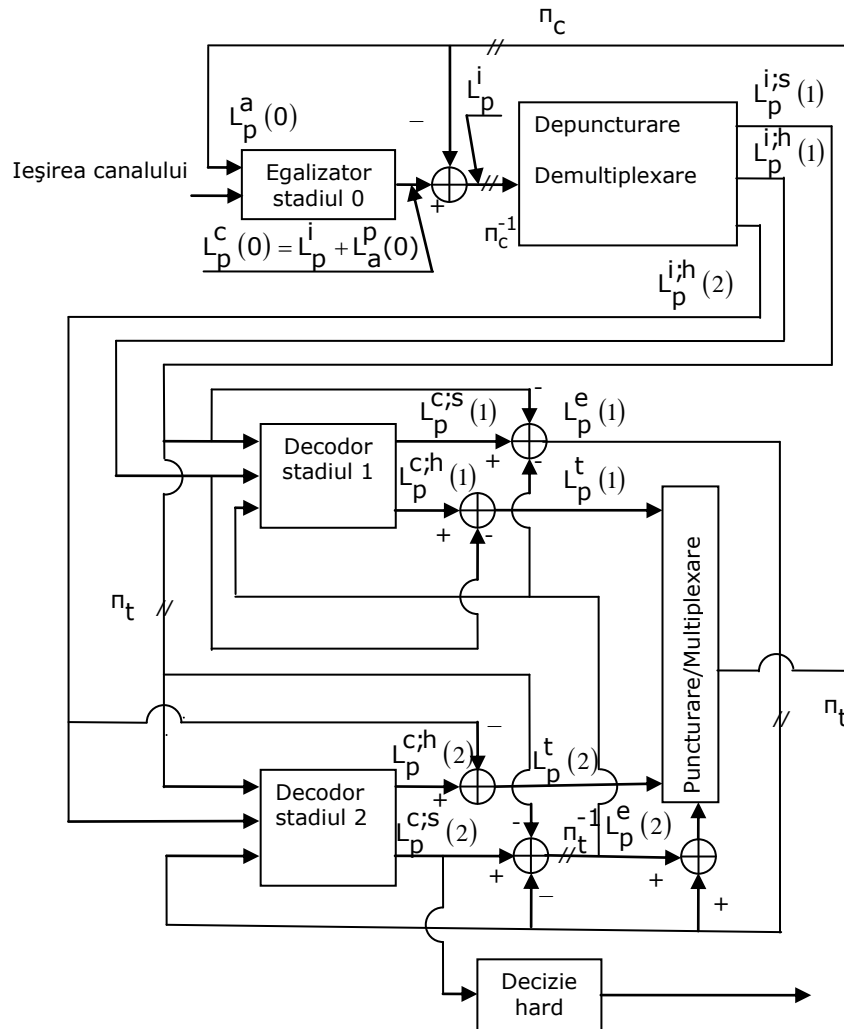


Figura 4.5 Structura unui egalizor turbo având două decodoare componente

Exponentul asociat indică natura LLR-ului și anume:

L^c - LLR a-posteriori compus constând din sursa (informație) și din bitul de paritate (informația a-posteriori)

$L^{c;s}$: informația a-posteriori a bitului sursă

$L^{c;h}$: informația a-posteriori a bitului de paritate

L^i : informația extrinsecă combinată cu a canalului, pentru biții sursă și biții de paritate.

$L^{i;s}$: informația extrinsecă combinată cu a canalului pentru biții sursă.

$L^{i;h}$ informația extrinsecă combinată cu a canalului pentru biții de paritate

L^s : informația extrinsecă corespunzătoare bitului sursă.

L^t : informația extrinsecă a bitului de paritate.

$L^{a;s}$ informația a-priori a bitului sursă

$L^{a;h}$ informația a-priori a bitului de paritate

În plus, indicele este utilizat pentru a reprezenta numărul iterației, în timp ce argumentul din paranteze () este indicele care reprezintă starea receptorului.

La egalizor, care este notat în nivelul 0 în figura 4.5, valoarea ieșirii LLR-aposteriori, $L_p^c(0)$, la iterația p este dată de suma valorii LLR a informației a-priori, $L_p^a(0)$, și de valoarea LLR a informația extrinsecă combinată cu a canalului, $L_p^i(0)$, rezultând:

$$L_p^c(0) = L_p^i + L_p^a(0) \quad (4.2)$$

La începutul detecției iterative nu există nici o informație apriori despre bitul care va fi decodat și, prin urmare se utilizează $L_p^a(0) = 0$, ceea ce indică o probabilitate egală de unu și zero. Cu toate acestea, în timpul iterației următoare, estimarea cu privire la acest bit poate fi adusă înapoi la intrarea egalizorului (figura 4.5), cu scopul de a ajuta iterațiile sale ulterioare.

Este imposibil să se separe informațiile de la ieșirea canalului și informațiile extrinseci la ieșirea de egalizorului, care se notează cu L_p^i , deoarece răspunsul la impuls al canalului poate fi privit ca acela a unui cod nesistematic [33] care "întinde" efectele biților de intrare ai canalului în timp din cauza operației de convoluție asociat.

Luând în considerare stadiul 0 Figura 4.6, care este o ilustrare detaliată a egalizorului, cu accent pe informațiile de intrare și ieșire, se remarcă faptul că valorile $L_p^c(0)$ (informația compusă a-posteriori), $L_p^a(0)$ (apriori) și L_p^i (LLR pentru informația extrinsecă combinată cu a canalului) reflectă fiabilitatea nu numai a biților sursă ci și a biților de paritate.

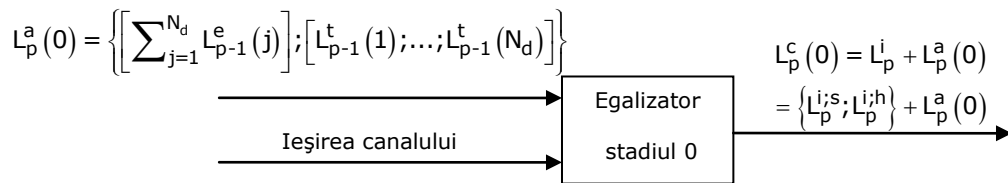


Figura 4.6 Schema egalizorului SISO cu accent pe informația de intrare și de ieșire a acestuia la iterația p

Termenul L_p^i poate fi scris ca un vector, având în vedere ca:

$$L_p^i \in \left\{ \begin{array}{l} L_p^{i;s} ; L_p^{i;h} \\ \text{bitul sursa} \quad \text{biții de paritate} \end{array} \right\} \quad (4.3)$$

În stadiul 0 vectorul $L_p^a(0)$ corespunzător informației apriori se obține de la un decodor N_d aflat în stadiul 1 sau 2 (Figura 4.5), și conține informațiile apriori a biților codificați. De aceea, la fel ca și vectorul L_p^i , $L_p^a(0)$ este, de asemenea, un vector format din informația apriori pentru biții sursă și biții de paritate, și prin urmare, este dat de relația:

$$L_p^a(0) \in \left\{ \underbrace{L_p^{a;s}(0)}_{\substack{\text{bitul} \\ \text{sursa}}}; \underbrace{L_p^{a;h}(0)}_{\substack{\text{biții de} \\ \text{paritate}}} \right\} \in \left\{ \underbrace{\sum_{j=1}^{N_d} L_{p-1}^e(j)}_{\substack{\text{bitul} \\ \text{sursa}}}; \underbrace{L_{p-1}^t(1); \dots; L_{p-1}^t(N_d)}_{\substack{\text{biții de} \\ \text{paritate}}} \right\}$$

unde $L_{p-1}^e(j)$ și $L_{p-1}^t(j)$ sunt valorile LLR extrinseci a bitului sursă și respectiv de paritate ale decodorului în starea j din iterația anterioară $p-1$, în timp ce N_d este numărul decodoarelor componente (figura 4.5).

Folosind relațiile 4.2 și 4.3, valoarea LLR a-posteriori a biților codificați la ieșirea egalizorului $L_p^c(0)$ (din figura 4.5), poate fi exprimat ca :

$$L_p^c(0) \in \left\{ \underbrace{L_p^{c;s}(0)}_{\substack{\text{bitul} \\ \text{sursa}}}; \underbrace{L_p^{c;h}(0)}_{\substack{\text{biții de} \\ \text{paritate}}} \right\} \in \left\{ \underbrace{L_p^{i;s} + \sum_{j=1}^{N_d} L_{p-1}^e(j)}_{\substack{\text{bitul} \\ \text{sursa}}}; \underbrace{L_p^{i;h} + L_{p-1}^t(1); \dots; L_p^{i;h} + L_{p-1}^t(N_d)}_{\substack{\text{biții de} \\ \text{paritate}}} \right\}$$

Etapa b a decodorului din figura 4.5 este ilustrată, mai în detaliu în figura 4.7, cu accent pe informațiile de intrare și de ieșire .

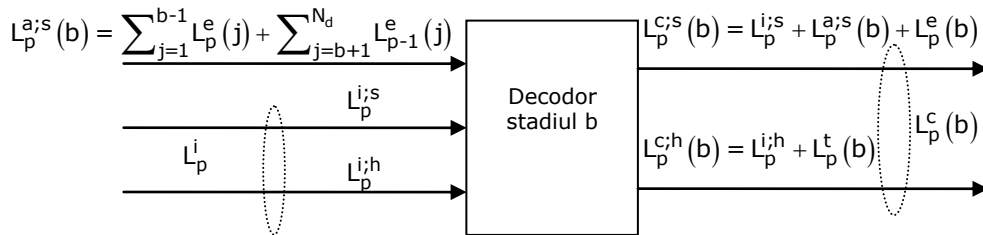


Figura 4.7 Schema decodorului SISO cu accent pe informația de intrare și de ieșire a acestuia la iterația p

Acesta recepționează valoarea LLR a informației a-priori ($L_p^{a;s}$) dată de suma ($\sum_{j=1}^{b-1} L_p^e(j) + \sum_{j=b+1}^{N_d} L_{p-1}^e(j)$) informațiilor extrinseci de la toate celelalte decodoare, (cu excepția etapei b a decodorului) și valoarea LLR a informației extrinseci combinate cu a canalului (a biților sursă $L_p^{i;s}$ și a biților de paritate $L_p^{i;h}$).

Valoarea LLR a sursei mărite de informații a-priori a decodurului din starea b la iterația p poate fi exprimat ca:

$$L_p^{a;s}(b) = \sum_{j=1}^{b-1} L_p^e(j) + \sum_{j=b+1}^{N_d} L_{p-1}^e(j) \quad (4.4)$$

Din relația 4.4 se observă că informațiile a-priori $L_p^{a;s}(b)$ a biților sursă conțin informația extrinsecă de la decodoare din etapele anterioare și anume pentru $j < b$, în iterația curentă p și de la decodoare din etapele ulterioare și anume pentru $j > b$ din iterația anterioară $p-1$, dar nu include nici o informație extrinsecă de la stadiul b .

Spre deosebire de egalizor, care recepționează atât informațiile a-priori ale sursei cât și ale biților de paritate, decodoarele N_d acceptă numai valorile LLR apriori ale biților sursă. Acest lucru se datorează faptului că bitul sursă este singura informație comună pentru toate decodoarele, fie în ordinea întretesută sau a secvenței inițiale, în timp ce biții de paritate sunt exclusiv pentru un anumit decodor, și prin urmare aceștia nu sunt în măsură să contribuie în operația de decodare a celorlalte decodoare.

De exemplu, la etapa b decodorul sistematic, la ieșirile din etapele 1 și 2 (din figura 4.5 și mai în detaliu în figura 4.7) LLR-ul compozitului a-posteriori $L_p^c(b)$ este format din doi vectori LLR, și anume informația a-posteriori a bitului sursă $L_p^{c;s}(b)$ și informația a posteriori a bitului de paritate $L_p^{c;h}(b)$:

$$L_p^c(b) \in \{L_p^{c;s}(b); L_p^{c;h}(b)\} \quad (4.5)$$

Valoarea LLR a sursei compuse a-posteriori, $L_p^{c;s}(b)$, care este prima componentă în relația 4.5 poate fi exprimată ca suma dintre valoarea informației a-priori mărita $L_p^{a;s}(b)$, a valorii informațiilor extrinseci $L_p^e(b)$ produse de stadiul decodurului și de valoarea LLR a informației extrinseci combinate cu a canalului a bitului sursă din egalizor $L_p^{i;s}(b)$:

$$L_p^{c;s}(b) = L_p^{a;s}(b) + L_p^e(b) + L_p^{i;s} \quad (4.6)$$

care pot fi rescrise cu ajutorul relațiilor 4.4 și 4.6 ca:

$$\begin{aligned} L_p^{c;s}(b) &= L_p^{a;s}(b) + L_p^e(b) + L_p^{i;s} \\ &= \sum_{j=1}^{b-1} L_p^e(j) + \sum_{j=b+1}^{N_d} L_{p-1}^e(j) + L_p^e(b) + L_p^{i;s} \\ &= \sum_{j=1}^b L_p^e(j) + \sum_{j=b+1}^{N_d} L_{p-1}^e(j) + L_p^{i;s} \end{aligned} \quad (4.7)$$

în timp ce LLR-ul de paritate a-posteriori $L_p^{c;h}(b)$ din relația 4.5 poate fi exprimat ca:

$$L_p^{c;h}(b) = L_p^{i;h}(b) + L_p^t(b) \quad (4.8)$$

Termenul $L_p^{i;h}(b)$ este informația extrinsecă combinată cu a canalului al bitului de paritate, iar $L_p^t(b)$ este LLR-ul extrinsec corespunzător bitului de paritate.

În general, în practica turbo codării sunt utilizate doar două codoare componente. De aceea, înlocuind $N_d = 2$ în relațiile 4.2, 4.7 și 4.8, putem determina LLR-urile a-posteriori ale egalizorului și decodoarelor, întrucât relațiile 4.2 și 4.4 pot fi folosite pentru a determina corespondența între intrarea a-priori la egalizor și intrările apriori la decodare. Figura 4.5 ilustrează structura egalizorului turbo, care are principiile discutate mai sus. În cele ce urmează se vor descrie principalele componente ale figurii 4.5, și anume: egalizorul și decodoarele.

4.2 Turbo Egalizor cu intrare și ieșire soft

În [35] este prezentat modul în care algoritmul Log-MAP poate fi folosit ca un egalizor GMSK cu ieșire soft, împreună cu decodarea turbo. Aici iterațiile au fost efectuate numai în turbo decodor. În acest caz, egalizorul nu a recepționat nici o valoare a-priori de la o sursă independentă. Atunci când se pune în aplicare egalizarea turbo, egalizorul SISO va primi nu numai ieșirile canalului, ci și informația apriori a decodorului SISO. Se va putea folosi algoritmul Log-MAP care este descris în [35] pentru egalizorul GMSK cu ieșire soft, dar va trebui să se ia în considerare în plus la intrarea egalizorului turbo și informațiile a-priori de la decodorul SISO. În mod explicit, termenul de $P(u_m)$ care reprezintă probabilitatea a-priori a

biților de cod necesară atunci când se evaluează $\Gamma_m(k, k)$ în relația (4.10) nu mai este $1/2$, deoarece probabilitățile bitului u_m de a fi $+1$, respectiv -1 nu mai sunt egale. În schimb, probabilitatea $P(u_m)$ este completată cu ajutorul informațiilor a-priori de la decodor (decodare), după cum s-a văzut în relația 4.2.

De obicei, pentru a decoda codurile convoluționale, este folosit algoritmul Viterbi [8,9], algoritm de estimare a secvenței cu probabilitate maximă. Cu toate acestea, în egalizarea turbo este nevoie de ieșiri soft, care reprezintă LLR-urile biților codați individual. În următorul paragraf, se va arăta modul în care sunt determinate valorile LLR ale acestor biți codați.

4.3 Decodor cu intrare și ieșire soft pentru egalizarea turbo

În egalizarea turbo blocul decodor SISO acceptă intrări soft din egalizorul SISO și generează LLR nu numai pentru biții sursă, ci și pentru biții codificați. De aceea, decodorul trebuie să aibă algoritmi SISO, cum ar fi algoritmul MAP, Log-Map sau SOVA. În această prezentare se va folosi algoritmul Log-MAP deoarece cu acesta se obțin performanțe identice ca și cu algoritmul MAP optimal, și totodată implică complexitate redusă.

Cu algoritmul Log-MAP LLR-urile biților sursă și cele ale biților codificați care sunt dați de decodorul turbo și respectiv de turbo egalizor, pot fi calculate în două etape principale. Înainte de a evidenția acești pași se vor defini notațiile utilizate. În decodor tranzițiile de trellis sunt notate cu indicele d , iar intervalele de tranziție ale egalizorului sunt reprezentate cu m . Notația v_d reprezintă bitul sursă, în timp ce $c_{l,d}$ reprezintă al l -lea bit la intervalul de trellis d al decodorului. Referitor la intervale de tranziție ale egalizorului, la rata intervalelor de trellis corespunzătoare decodorului $R = k/n$, se observă că numărul intervalelor de egalizare ale egalizorului este $\frac{n}{K_b}$, în care K_b este numărul de biți folosiți pentru a reprezenta un simbol.

De exemplu, un interval de tranziție al decodorului la o rată a decodorului $R = 1/2$ este echivalent cu $\frac{n=2}{k_b=1} = 2$ intervale de egalizare BPSK. De aceea, biții u_m și u_{m+1} recepționați la egalizorul BPSK corespund biților $c_{1,d}$ și $c_{2,d}$ la intervalul d al decodorului. Având definite notațiile utilizate, pentru a determina valorile LLR ale biților sursă și ale biților codificați, se va discuta în continuare despre cele două etape principale utilizate.

În primul rând sunt calculate valorile recursivității înainte și înapoi, $A_m(k)$ și respectiv $B_m(k)$, precum și tranziția metrică $\Gamma_m(\hat{k}, k)$, care sunt omologii logaritmici de domeniu ai lui $a_m(k)$, $\beta_m(k)$ și $\gamma_m(\hat{k}, k)$. Exemplul pentru calculul acestor valori este prezentat în algoritmul Log MAP din [35], rezultând pentru calculul valorii LLR relația (4.9), iar pentru $\Gamma_m(\hat{k}, k)$ relația (4.10). Pentru decodor indicele tranziției de trellis m se înlocuiește cu d .

$$L(u_m|y) = \ln \left(\frac{\sum_{(\hat{k}, k) \Rightarrow u_m = +1} P(\hat{k} \wedge k \wedge y)}{\sum_{(\hat{k}, k) \Rightarrow u_m = -1} P(\hat{k} \wedge k \wedge y)} \right) = \ln \left(\frac{\sum_{(\hat{k}, k) \Rightarrow u_m = +1} \exp \left(A_{m-1}(\hat{k}) + \Gamma_m(\hat{k}, k) + B_m(k) \right)}{\sum_{(\hat{k}, k) \Rightarrow u_m = -1} \exp \left(A_{m-1}(\hat{k}) + \Gamma_m(\hat{k}, k) + B_m(k) \right)} \right) \quad (4.9)$$

$$\Gamma_m(\acute{k}, k) = -\frac{1}{2\sigma^2} (y_m - \hat{y}_m)^2 + \ln(P(u_m)) \quad (4.10)$$

În al doilea rând, pentru a obține valorile LLR nu numai pentru biții sursă $v_{d,ci}$ și pentru biții codificați $c_{l,d}$, trebuie modificată relația 4.9 pentru decodorul SISO. În mod explicit, pentru rata $\frac{k}{n}$, codorul convoluțional are un număr n de valori LLR generate la fiecare interval de trellis, în timp ce egalizorul binar produce doar o singură valoare LLR la fiecare interval.

Din relația 4.9 se observă că la intervalul de trellis al egalizorului m , numărătorul este suma probabilităților de tranziție asociate cu căile cauzate de bitul codat $u_m = +1$, în timp ce numitorul este suma probabilităților corespunzătoare tranzițiilor generate de $u_m = -1$. Aceste probabilități de tranziție pot fi scrise ca o sumă de termeni exponențiali ai căror argumente este suma dintre $A_{m-1}(\acute{k})$, $B_m(k)$, și $\Gamma_m(\acute{k}, k)$. De aceea, la fiecare interval de trellis m al egalizorului, valoarea LLR obținută este pentru bitul codificat u_m . Cu toate acestea, pentru rata $R = \frac{k}{n}$ a decodurului, este nevoie de valorile LLR pentru un număr n de biți codificați. Prin urmare, pentru a determina valoarea LLR pentru fiecare bit codat $c_{l,d}$ (pentru $l = 1 \dots n$), trebuie să se ia în considerare prima dată ramurile și valoarea probabilităților corespunzătoare (care este însumarea termenului $\exp((A_{d-1}(k) + \Gamma_d(\acute{k}, k) + B_d(k)))$) pentru care se obține bitul codat $c_{l,d} = +1$ și ulterior ramurile care rezultă când bitul codificat este $c_{l,d} = -1$. Prin urmare, relația 4.9 este modificată pentru calculul valorilor LLR a biților codați $c_{l,d}$, sub forma de mai jos:

$$\begin{aligned} L(c_{l,d} | L_p^i) &= \ln \left(\frac{\sum_{(\acute{k}, k) \Rightarrow c_{l,d} = +1} \exp(A_{d-1}(\acute{k}) + \Gamma_d(\acute{k}, k) + B_d(k))}{\sum_{(\acute{k}, k) \Rightarrow c_{l,d} = -1} \exp(A_{d-1}(\acute{k}) + \Gamma_d(\acute{k}, k) + B_d(k))} \right) \\ &= \ln \left(\sum_{(\acute{k}, k) \Rightarrow c_{l,d} = +1} \exp(A_{d-1}(\acute{k}) + \Gamma_d(\acute{k}, k) + B_d(k)) \right) \end{aligned}$$

$$- \ln \left(\sum_{(\acute{k}, k) \Rightarrow c_{l,d} = -1} \exp \left(A_{d-1}(\acute{k}) + \Gamma_d(\acute{k}, k) + B_d(k) \right) \right)$$

unde $L(c_{l,d} | L_p^i)$ este valoarea LLR a bitului codat l la intervalul de trellis d , având în vedere faptul că decodorul a recepționat valoarea LLR extrinsecă combinată cu a canalului, notată L_p^i .

Se va considera acum exemplul trellisului unui decodor convoluțional SISO pentru o rată $R = 1/2$, lungimea constrângerii codorului $K = 3$ RSC, așa cum este ilustrat în figura 4.8. În acest exemplu în locul unui cod convoluțional nesistematic a fost ales codul RSC. Deoarece rata codului este $R = 1/2$, cuvântul de cod la ieșire este format din $k = 2$ biți codați, $c_{1,d}$ și $c_{2,d}$, la fiecare interval de trellis d al decodorului. Cuvântul de cod de la ieșire pentru fiecare tranziție este descris ca $(c_{1,d}, c_{2,d})$ în figura 4.8 și este dat de polinoamele generatoare G_0 și G_1 , care pot fi reprezentate în forma octală ca 7 și respectiv 5. Pentru a determina valoarea LLR pentru $c_{1,d}$, trebuie să se ia în considerare toate căile care dau bitul codat $c_{1,d} = +1$.

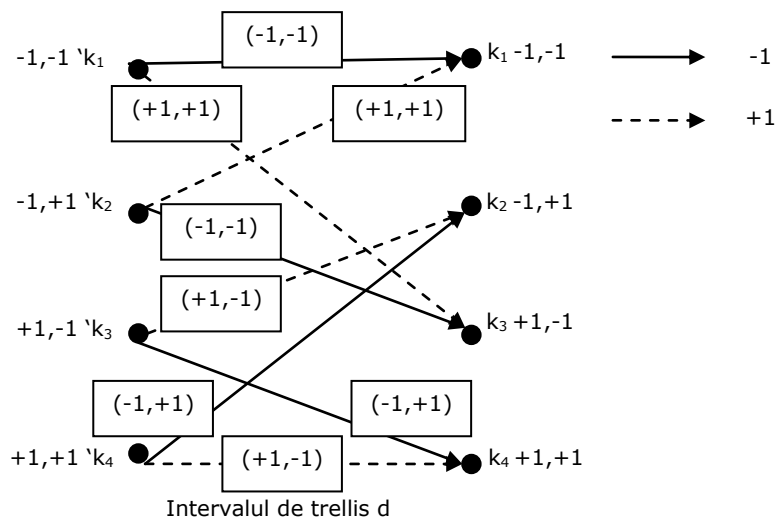


Figura 4.8: Trellisul pentru un decodor convoluțional ($K = 3$ RSC) la intervalul de trellis d al decodorului, unde reprezentarea în octal a polinoamelor generatoare G_0 și G_1 este de 7 și respectiv 5.

În figura 4.8 se observă că există patru ramuri care îndeplinesc această cerință, și anume ramurile de stare \acute{k}_1 la k_3 , \acute{k}_2 la k_1 , \acute{k}_3 la k_2 și \acute{k}_4 la k_4 .

Ținând cont de relația 4.9, se observă că probabilitatea tranziției din starea k la k atunci când fost obținută valoarea L_i^p (valoarea LLR extrinsecă combinată cu a canalului) este dată de relația:

$$P(k \wedge k \wedge L_i^p) = \exp\left(A_{d-1}(k) + \Gamma_d(k, k) + B_d(k)\right) \quad (4.11)$$

Prin urmare, probabilitățile ramurii individuale asociate bitului codificat $c_{1,d} = +1$ vor fi:

$$\begin{aligned} P(k'_1 \wedge k_3 \wedge L_i^p) &= \exp\left(A_{d-1}(k'_1) + \Gamma_d(k'_1, k_3) + B_d(k_3)\right) = \exp\left(x(k'_1, k_3)\right) \\ P(k'_2 \wedge k_1 \wedge L_i^p) &= \exp\left(A_{d-1}(k'_2) + \Gamma_d(k'_2, k_1) + B_d(k_1)\right) = \exp\left(x(k'_2, k_1)\right) \\ P(k'_3 \wedge k_2 \wedge L_i^p) &= \exp\left(A_{d-1}(k'_3) + \Gamma_d(k'_3, k_2) + B_d(k_2)\right) = \exp\left(x(k'_3, k_2)\right) \\ P(k'_4 \wedge k_4 \wedge L_i^p) &= \exp\left(A_{d-1}(k'_4) + \Gamma_d(k'_4, k_4) + B_d(k_4)\right) = \exp\left(x(k'_4, k_4)\right) \end{aligned} \quad (4.12)$$

unde $x(k'_i, k_j)$ reprezintă suma $A_{d-1}(k'_i) + \Gamma_d(k'_i, k_j) + B_d(k_j)$. Expresia lui $\Gamma_d(k', k)$ pentru decodor poate fi simplificată din relația 4.10, observându-se că termenul $\Gamma_d(k', k)$ este legat de pătratul distanței euclidiene dintre eșantionul semnalului recepționat y_m și semnalul așteptat \hat{y}_m , care este ulterior normalizat cu $2\sigma^2$. Expresia 4.10 poate fi extinsă la:

$$\Gamma_m(k', k) = -\frac{1}{2\sigma^2} (y_m^2 - 2y_m \cdot \hat{y}_m + \hat{y}_m^2) + \ln(P(u_m)) \quad (4.13)$$

Semnale \hat{y}_m așteptate la intrarea decodorului sunt biții codificați de valori $+1$, și respectiv -1 . În consecință, pătratul semnalului așteptat \hat{y}_m este întotdeauna unitar, și prin urmare poate fi ignorat. În plus, întrucât aceeași valoare y_m este luată în considerare pentru fiecare tranziție de trellis, aceasta poate fi neglijată în timpul procesului, potrivit modelului asociat, lăsând metrica decodorului $\Gamma_d(k', k)$, să fie dependentă de termenul cross-corelației $(2 \cdot y_m \cdot \hat{y}_m) / 2\sigma^2$. La intrarea decodorului este recepționat L_i^p conținând contribuția lui $2\sigma^2$ [33], în timp ce la nivel local semnalele așteptate generate sunt asociate cu tranzițiile de trellis din cauza biților codați $c_{l,d}$, pentru $l = 1 \dots n$, unde n este numărul de biților

de cod. Prin urmare, metrica decodurului $\Gamma_d(\acute{k}, k)$ la intervalul de trellis d al decodurului poate fi exprimat ca [33]:

$$\Gamma_m(\acute{k}, k) = \sum_{l=1}^{n-2} \left(\frac{1}{2} L_p^l \cdot c_{l,d} \right) + \ln(P(v_d)) \quad (4.14)$$

unde $P(v_d)$ este probabilitatea a-priori a bitului sursa v_d . După calcularea lui $\Gamma_d(\acute{k}, k)$, pot fi determinați termenii $A_{d-1}(\acute{k})$ și $B_d(k)$. Prin urmare, probabilitatea ca $c_{l,d} = +1$ să fi fost transmis la intervalul d știind că a fost recepționat L_p^l este determinată de suma probabilităților ramurii individuale asociate lui $c_{l,d} = +1$ și anume:

$$P(\acute{k}_1 \wedge k_3 \wedge L_p^l), P(\acute{k}_2 \wedge k_1 \wedge L_p^l), P(\acute{k}_3 \wedge k_2 \wedge L_p^l) \text{ și } P(\acute{k}_4 \wedge k_4 \wedge L_p^l)$$

Similar, trebuie luate în considerare toate căile din figura 4.8, care dau $c_{l,d} = -1$, și anume ramurile de la starea \acute{k}_1 la k_1 , \acute{k}_2 la k_3 , \acute{k}_3 la k_4 și \acute{k}_4 la k_2 . Cu aceasta observație, și cu ajutorul figurii 4.8 se calculează probabilitățile ramurii individuale asociate cu bitul codificat $c_{l,d} = -1$, după cum urmează:

$$\begin{aligned} P(\acute{k}_1 \wedge k_1 \wedge L_p^l) &= \exp \left(A_{d-1}(\acute{k}_1) + \Gamma_d(\acute{k}_1, k_1) + B_d(k_1) \right) = \exp \left(x(\acute{k}_1, k_1) \right) \\ P(\acute{k}_2 \wedge k_3 \wedge L_p^l) &= \exp \left(A_{d-1}(\acute{k}_2) + \Gamma_d(\acute{k}_2, k_3) + B_d(k_3) \right) = \exp \left(x(\acute{k}_2, k_3) \right) \\ P(\acute{k}_3 \wedge k_4 \wedge L_p^l) &= \exp \left(A_{d-1}(\acute{k}_3) + \Gamma_d(\acute{k}_3, k_4) + B_d(k_4) \right) = \exp \left(x(\acute{k}_3, k_4) \right) \\ P(\acute{k}_4 \wedge k_2 \wedge L_p^l) &= \exp \left(A_{d-1}(\acute{k}_4) + \Gamma_d(\acute{k}_4, k_2) + B_d(k_2) \right) = \exp \left(x(\acute{k}_4, k_2) \right) \end{aligned} \quad (4.15)$$

Ca și mai înainte, se poate calcula probabilitatea ca $c_{l,d} = -1$ să fi fost transmis la intervalul de trellis d , dat fiind faptul că a fost recepționat L_p^l prin luarea sumei probabilităților ramurii individuale a:

$$P(\acute{k}_1 \wedge k_1 \wedge L_p^l), P(\acute{k}_2 \wedge k_3 \wedge L_p^l), P(\acute{k}_3 \wedge k_4 \wedge L_p^l) \text{ și } P(\acute{k}_4 \wedge k_2 \wedge L_p^l)$$

Cu ajutorul relațiilor 4.4 și folosind relațiile 4.11, 4.12 și 4.15, se poate exprima valoarea LLR pentru primul bit codat $c_{l,d}$ ca:

$$\begin{aligned}
L(c_{1,d}|L_p^i) &= \ln \left(\frac{\sum_{(k',k) \Rightarrow c_{1,d}=+1} P(k' \wedge k \wedge L_p^i)}{\sum_{(k',k) \Rightarrow c_{1,d}=-1} P(k' \wedge k \wedge L_p^i)} \right) \\
&= \ln \left(\frac{P(k'_1 \wedge k_3 \wedge L_p^i) + P(k'_2 \wedge k_1 \wedge L_p^i) + P(k'_3 \wedge k_2 \wedge L_p^i) + P(k'_4 \wedge k_4 \wedge L_p^i)}{P(k'_1 \wedge k_1 \wedge L_p^i) + P(k'_2 \wedge k_3 \wedge L_p^i) + P(k'_3 \wedge k_4 \wedge L_p^i) + P(k'_4 \wedge k_2 \wedge L_p^i)} \right) \\
&= \ln \left(\exp \left(x(k'_1, k_3) \right) + \exp \left(x(k'_2, k_1) \right) + \exp \left(x(k'_3, k_2) \right) + \exp \left(x(k'_4, k_4) \right) \right) \\
&\quad - \ln \left(\exp \left(x(k'_1, k_1) \right) + \exp \left(x(k'_2, k_3) \right) + \exp \left(x(k'_3, k_4) \right) + \exp \left(x(k'_4, k_2) \right) \right) \quad (4.16)
\end{aligned}$$

Întrucât termenul $L(c_{1,d}|L_p^i)$ poate fi exprimat ca logaritmul natural al unei sume de exponențiale, o relație generalizată care folosește logaritmul Jacobian (4.17)

$$\ln \left(\sum_{k=1}^V e^{x_k} \right) = J \left(x_V, J \left(x_{V-1}, \dots, J \left(x_3, J \left(x_2, x_1 \right) \right) \right) \right) \quad (4.17)$$

poate fi utilizată, pentru a calcula valoarea LLR, a biților codați $c_{1,d}$, la intervalul de trellis d . Prin utilizarea aceleiași abordări ca și mai sus, se poate demonstra că valoarea LLR a bitului codat $c_{2,d}$ este dată de:

$$\begin{aligned}
L(c_{2,d}|L_p^i) &= \ln \left(\frac{\sum_{(k',k) \Rightarrow c_{2,d}=+1} P(k' \wedge k \wedge L_p^i)}{\sum_{(k',k) \Rightarrow c_{2,d}=-1} P(k' \wedge k \wedge L_p^i)} \right) \quad (4.18) \\
&= \ln \left(\frac{P(k'_1 \wedge k_3 \wedge L_p^i) + P(k'_2 \wedge k_1 \wedge L_p^i) + P(k'_3 \wedge k_4 \wedge L_p^i) + P(k'_4 \wedge k_2 \wedge L_p^i)}{P(k'_1 \wedge k_1 \wedge L_p^i) + P(k'_2 \wedge k_3 \wedge L_p^i) + P(k'_3 \wedge k_2 \wedge L_p^i) + P(k'_4 \wedge k_4 \wedge L_p^i)} \right) \\
&= \ln \left(\exp \left(x(k'_1, k_3) \right) + \exp \left(x(k'_2, k_1) \right) + \exp \left(x(k'_3, k_4) \right) + \exp \left(x(k'_4, k_2) \right) \right)
\end{aligned}$$

$$-\ln \left(\exp \left(x(k'_1, k_1) \right) + \exp \left(x(k'_2, k_3) \right) + \exp \left(x(k'_3, k_2) \right) + \exp \left(x(k'_4, k_4) \right) \right)$$

Este apoi utilizată relația 4.17 (relația generalizată care folosește logaritmul Jacobian) pentru a calcula suma termenilor exponențiali în relațiile 4.16 și 4.18, pentru a obține valorile LLR $L(c_{2,d}|L'_p)$ ale bitului codat $c_{2,d}$, la intervalul d de trellis.

4.4 Exemplu de egalizare turbo

În scopul de a evidenția principiul de egalizare, se consideră un sistem simplu care utilizează o codare convoluțională și o modulație BPSK. Acesta transmite pe trei căi și utilizează la receptor un egalizor turbo, așa cum se arată în figura 4.10. Simbolul spațiat în canalul static este detaliat în figura 4.9. Codorul folosește polinoame generatoare octale $G_0 = 7$ și $G_1 = 5$ la o rată $R = 0,5$, lungimea constrângerii fiind $K = 3$, RSC. Structura de trellis corespunzătoare decodurului și tranzițiile sunt ilustrate în figura 4.8. Această schemă a egalizorului turbo, conținând un egalizor de canal bazat pe trellis și un decodor de canal, a fost prima dată introdusă în figura 4.2. Întrucât dispersia maximă a răspunsului la impuls al canalului este două perioade de bit ($\tau_d = 2$), trellisul bazat pe egalizarea BPSK

necesită patru stări ($2^{\tau_d} = 4$), așa cum se vede în figura 4.11. Fiecare dintre aceste patru stări poate fi privită ca starea unui registru de deplasare care posedă două elemente de memorie. Prin urmare aceste stări pot fi reprezentate de doi biți. Dacă se ia în considerare starea 1 din figura 4.11 se observă că aceasta corespunde biților 1 și 0 în registrul deplasare, unde bitul 0 este primul bit. Pentru un bit de intrare de 1, bitul 0 este deplasat, în timp ce bitul de intrare 1 este memorat. În consecință, noua stare în care s-a ajuns este starea 3, întrucât registrul de deplasare conține biții 1 și 1. Aplicarea aceluiași raționament, pentru oricare dintre toate celelalte tranziții de stare legitime produce structura de trellis din figura 4.11.

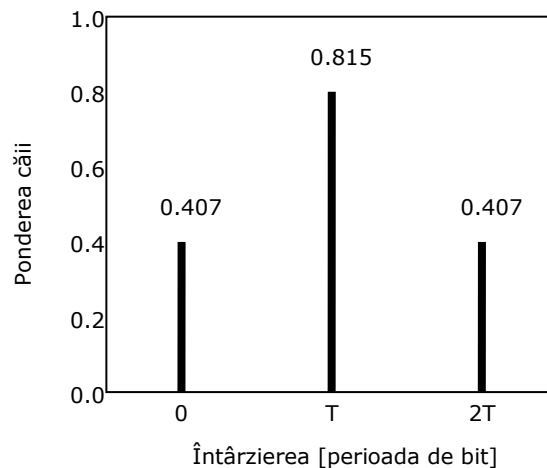


Figura 4.9 Simbolul spațiat în canalul static cu trei căi

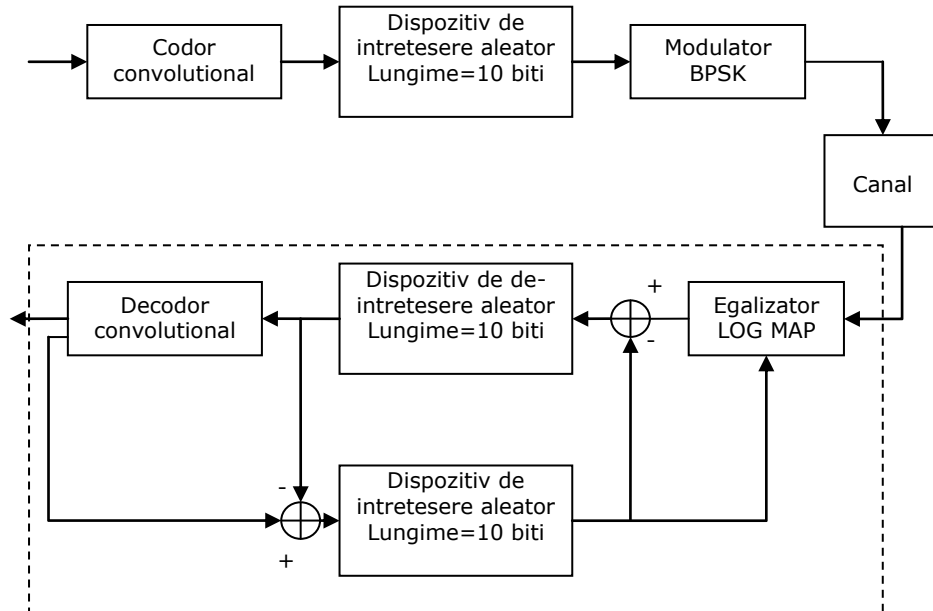


Figura 4.10: Schema unui sistem utilizând codarea convoluțională, modulația BPSK și schema egalizorului turbo din figura 4.2.

În acest exemplu, secvența transmisă este formată din 10 biți de date și încă 3 biți terminali, cu interleaver aleator de 10 biți.

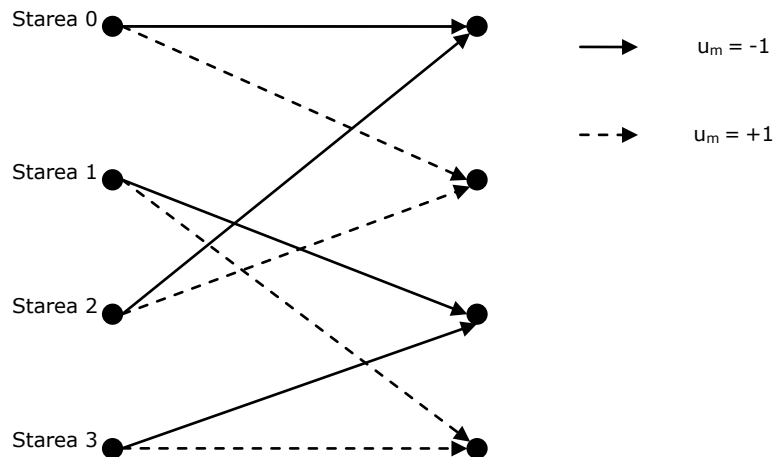


Figura 4.11. Reprezentarea tranzițiilor legitime pe trellis ale egalizorului

În continuare se va descrie funcționarea egalizorului turbo, începând cu generarea de către egalizor a valorii LLR a-posteriori, care apoi este prelucrată pentru a extrage informațiile extrinseci combinate cu ale canalului pentru a fi

trimise la decodor. Ulterior, se arată modul în care aceste informații extrinseci combinate cu ale canalului sunt utilizate de către decodor pentru a genera valoarea LLR a-posteriori, care, ca și în egalizor este procesată pentru a obține informația extrinsecă, înainte ca aceasta să treacă înapoi la egalizor. Pentru simplitate, toate valorile cu virgulă au fost rotunjite la o zecimală. Egalizarea canalului bazată pe trellis folosește algoritmul Log-MAP. Pentru a calcula valoarea LLR a bitului u_m ,

valorile $\Gamma_d(k', k)$, $A_{m-1}(k')$ și $B_m(k)$ trebuie să fie evaluate și utilizate în comun. Acest lucru va fi demonstrat numeric în următorul exemplu. În acest exemplu, cei cinci biți sursă și corespunzător cei zece biți codați convoluțional sunt specificați în Tabelul 4.1.

Intervalul de trellis al decodorului (d)	Biții sursă	Biții codați	Biții codați întrețesuți
1	+1	+1, +1	+1, -1
2	+1	+1, -1	+1, -1
3	-1	-1, -1	+1, +1
4	-1	-1, +1	-1, +1
5	+1	+1, -1	-1, -1

Tabelul 4.1: Biții sursă transmiși și biții codificați corespunzători produși de un codor convoluțional recursiv la o rată $R=1/2$ și $K=3$ folosind polinoamele generatoare octale $G_0 = 7$ și $G_1 = 5$

Ulterior, acești biți codificați sunt rearanjați cu ajutorul unui bloc de întrețesere numit interleaver de canal de mărime 2×5 , rezultând noua secvență, detaliată în tabelul 4.1. Acești biți întrețesuți sunt modulați BPSK înainte de a fi transmiși prin canalul static cu trei căi din figura 4.9.

Zgomotul termic aditiv, alb, gaussian afectează semnalul recepționat. Semnalul este eșantionat și stocat într-un buffer, până când toți cei zece biți codați și ultimii trei biți (biții terminali) ajung la receptor. În această etapă, se poate începe

să se calculeze metrica tranziției $\Gamma_m(k', k)$ pentru toate intervalele de trellis. Figura 4.12 ilustrează tranzițiile în primele trei intervale de trellis. Începând de la starea 0 la intervalul de trellis $m = 1$, valoarea inițială $A_0(0)$ este de 0.0, în timp ce valorile $\Gamma_1(0, 0)$ și $\Gamma_1(0, 1)$ sunt calculate folosind următoarea relație (4.19):

$$\Gamma_m(s', s) = -\frac{1}{2\sigma^2} (y_m - \hat{y}_m)^2 + \ln(P(u_m)) \quad (4.19)$$

În relația 4.19 y_m , \hat{y}_m , $P(u_m)$ reprezintă eșantionul semnalului depreciat recepționat din canal, semnalul recepționat estimat și respectiv informația a-priori a biților codificați. În prima iterație, informația a-priori nu este trimisă înapoi de decodorul de canal la egalizor. Prin urmare, termenul $P(u_m)$ este $1/2$, indicând faptul că biții 1 și -1 au probabilitate egală de a se produce. Termenul $A_m(k)$ din relația 4.9 se calculează cu ajutorul relației de mai jos (4.20), fiind dependent de $A_{m-1}(k')$ și $\Gamma_m(k', k)$:

$$A_m(k) = \ln \left(\sum_{\text{toți } k'} \exp \left[A_{m-1}(k') + \Gamma_m(k', k) \right] \right) \quad (4.20)$$

În felul acesta pot fi determinate noile valori pentru $A_1(0)$ și $A_1(1)$. Considerăm tranziția de la starea 0 la starea 0. Din moment ce valorile termenilor $\Gamma_1(0,0) = -0.3$ și $A_0(0) = 0.0$, termenul $A_1(0)$ devine:

$$A_{m=1}(k=0) = \ln \left(\exp \left[A_{m=1-1}(k=0) + \Gamma_{m=1}(k=0, k=0) \right] \right) \quad (4.21)$$

$$A_1(0) = 0.0 + (-0.3) = -0.3$$

în timp ce $A_1(1)$ este:

$$A_{m=1}(k=1) = \ln \left(\exp \left[A_{m=1-1}(k=0) + \Gamma_{m=1}(k=0, k=1) \right] \right) \quad (4.22)$$

$$A_1(1) = 0.0 + (-0.5) = -0.5$$

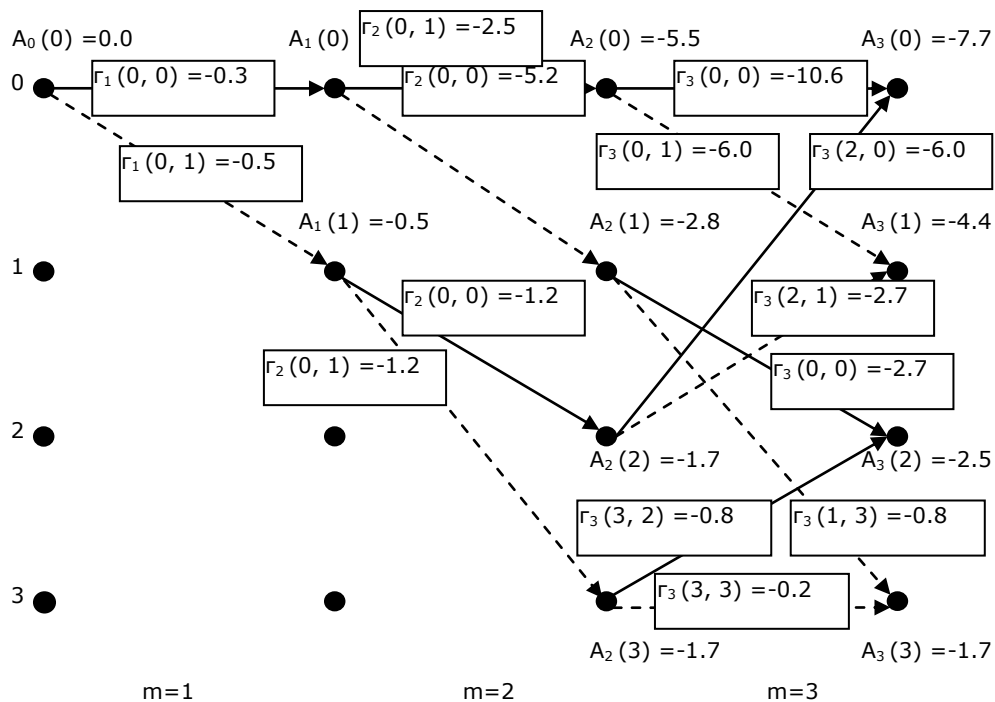


Figura 4.12 Calcularea termenului $A_m(k)$ pentru egalizorul turbo din figura 4.10 prin recursivitate înainte utilizând modelul de canal din figura 4.9 și o serie de valori $\Gamma_m(k', k)$ care au fost calculate.

La următorul interval de trellis, pentru $m = 2$, se repetă același proces de actualizare. Cu toate acestea, în al treilea interval există mai mult de o tranziție prin care se ajunge la o stare particulară. Dacă se ia în considerare starea 2, în cazul în care există, fuzionează tranzițiile de la starea 1 și starea 3. În această situație, noua valoare a lui $A_3(2)$ pentru starea 2 este:

$$A_{m=3}(k=2) = \ln \left(\exp \left[A_{m=2}(k=1) + \Gamma_{m=3}(k=1, k=2) \right] + \exp \left[A_{m=2}(k=3) + \Gamma_{m=3}(k=3, k=2) \right] \right)$$

$$A_3(2) = \ln(\exp(-2,8 - 2,7) + \exp(-1,7 - 0,8))$$

$$= \ln(\exp(-5,5) + \exp(-2,5))$$

care pot fi calculate folosind logaritmul Jacobian [27] și un tabel, pentru a evita transformarea logaritmului natural și calculele exponențiale, obținându-se:

$$\ln(\exp(-5,5) + \exp(-2,5)) = \max(-5,5; -2,5) + \underbrace{\ln(1 + \exp(-|-5,5 - (-2,5)|))}_{\text{din tabel } f_{\text{diff}} = |-5,5 - (-2,5)| = 3}$$

$$= -2,5 + 0,05 = -2,45$$

Intervale pentru f_{diff}	$\ln(1 + \exp(-f_{\text{diff}}))$
$f_{\text{diff}} > 3.70$	0.00
$3.70 \geq f_{\text{diff}} > 2.25$	0.05
$2.25 \geq f_{\text{diff}} > 1.50$	0.15
$1.50 \geq f_{\text{diff}} > 1.05$	0.25
$1.05 \geq f_{\text{diff}} > 0.70$	0.35
$0.70 \geq f_{\text{diff}} > 0.43$	0.45
$0.43 \geq f_{\text{diff}} > 0.20$	0.55
$f_{\text{diff}} \leq 0.20$	0.65

Tabelul 4.2 Valorile logaritmului pentru diferite valori ale f_{diff}

Din tabelul 4.2 pentru $f_{\text{diff}} = 3$ se obține 0.05 [27]. Aceeași operație se realizează pentru toate celelalte stări din întregul trellis, până când toate valorile A_m sunt obținute. Tabelul 4.2 este utilizat cu scopul de a evita logaritmul natural și calcule exponențiale. Valoarea f_{diff} este valoarea absolută a diferenței dintre argumentele funcției exponențiale.

Calcularea termenului $B_m(k)$ de recursivitate înapoi, implică o abordare similară. Punctul de plecare este la sfârșitul trellisului, la $m = 13$. Inițial, valorile $B_{m=13}(k)$ la intervalul de trellis $m = 13$ sunt stabilite la 0.0 - figura 4.13. De asemenea, se observă că restul de trei biți terminali cu valoarea -1 au fost inserați în secvența transmisă la intervale de trellis $m = 11$, $m = 12$ și $m = 13$, singurele tranziții legitime la aceste intervale sunt datorate bitului de -1. Prin urmare,

tranzițiile corespunzătoare transmisiei unui bit +1 sunt nelegitime și, prin urmare, nu sunt luate în considerare.

Pentru a calcula valorile $B_{m-12}(k)$, se utilizează relația de mai jos:

$$B_{m-1}(k) = \ln \left(\sum_{\text{toți } k} \exp \left[B_m(k) + \Gamma_m(k, k) \right] \right) \quad (4.23)$$

De exemplu, pentru a determina valoarea $B_{m-1=12}(k)$ ($k=0$) la $m=13$ sunt necesare numai valorile $B_{m=13}(k)$ ($k=0$) și $\Gamma_{m=13}(k)$ ($k=0, k=0$), obținându-se:

$$\begin{aligned} B_{m-1=12}(k=0) &= \ln \left(\exp \left[B_{m=13}(k=0) + \Gamma_{m=13}(k=0, k=0) \right] \right) \\ &= \ln(\exp(0, 0 + 57, 5)) = 57, 5 \end{aligned}$$

Acest lucru se datorează faptului că există o singură cale legitimă, cauzată de bitul terminal -1. După cum se vede în figura 4.13, acest proces de recursivitate înapoi se repetă cu scopul de a determina valorile $B_{m-1=11}(k)$ corespunzătoare stărilor $k=0, \dots, 3$ la intervalul $m=12$, cu toate că din cauza ultimilor trei biți -1 numai $B_{m-1=11}(k=0)$ și $B_{m-1=11}(k=2)$ trebuie să fie calculate. În această etapă, nu se utilizează relația 4.17, deoarece există o singură cale generată de bitul -1, care poate fi luată în considerare, la stările ($k=0$) și ($k=2$).

În consecință, termenul $B_{m-1}(k)$, în relația 4.23 este exprimat ca logaritmul natural al unui singur termen exponențial. La intervalul de trellis $m=10$ sunt, de asemenea, luate în considerare căile asociate cu bitul +1 ca în figura 4.13, deoarece aceste tranziții nu mai sunt determinate de biții terminali -1.

Având în vedere starea 0, se observă că există două tranziții care părăsesc această stare în timpul intervalului de trellis $m=10$, unde prima ajunge la starea 0, iar cealaltă la starea 1. Prin urmare, probabilitățile acestor tranziții care pornesc din starea 0 în intervalul $m=10$ sunt însumate rezultând:

$$\begin{aligned} B_{m-1=9}(k=0) &= \ln \left(\exp \left[B_{m=10}(k=0) + \Gamma_{m=10}(k=0, k=0) \right] \right) \\ &\quad + \exp \left[B_{m=10}(k=1) + \Gamma_{m=10}(k=0, k=1) \right] \\ &= \ln(\exp(170, 7 + (-4, 6)) + \exp(162, 9 + (-1, 8))) \end{aligned}$$

$$\begin{aligned}
 &= \max(166, 1; 161, 1) + \ln\left(1 + \exp(-|166, 1 - 161, 1|)\right) \\
 &\quad \text{din tabel } f_{\text{diff}} = |166, 1 - 161, 1| = 5 \\
 &= 166, 1 + 0, 00 = 166, 1
 \end{aligned}$$

unde din nou a fost folosită relația generalizată 4.17, pentru a simplifica calculul logaritmului natural, al unei sume de exponențiale, la o operație care implică un proces de maximizare și o operație cu tabelul 4.2 [27].

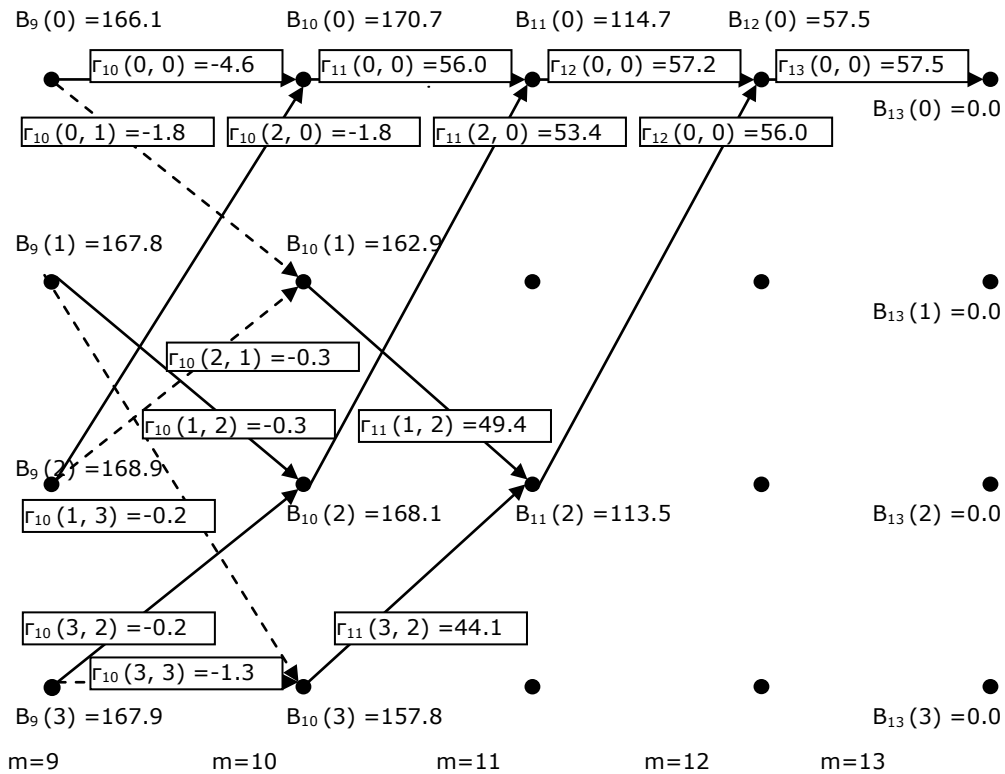


Figura 4.13. Calcularea termenului $B_m(k)$ pentru egalizorul turbo din figura 4.10 prin recursivitate înapoi utilizând modelul de canal din figura 4.9 și o serie de valori

$$\Gamma_m(k', k) \text{ care au fost calculate.}$$

Prin repetarea recursivității înapoi de mai sus pot fi determinate toate valorile $B_m(k)$ pentru stările $k = 0, \dots, 3$ și intervale $m = 0, \dots, 13$, dintre care unele au fost calculate pentru a fi ilustrate, în figura 4.13.

Având determinate valorile $A_m(k)$, $B_m(k)$ pentru toate stările și valorile $\Gamma(k', k)$ asociate cu toate tranzițiile, poate fi calculată valoarea LLR corespunzătoare bitului u_m utilizând relația 4.9.

Acest lucru presupune identificarea tranzițiilor de trellis cauzate de bitul $u_m = -1$ și însumarea probabilităților de tranziție a fiecărei căi. Deoarece, conform relației de mai jos 4.24

$$L(u_m|y) \square \ln \left(\frac{P(u_m = +1|y)}{P(u_m = -1|y)} \right) \quad (4.24)$$

probabilitățile asociate pot fi exprimate ca o sumă de termeni exponențiali, valoarea LLR fiind logaritmul natural al unei sume de valori exponențiale. Prin urmare, pentru a reduce complexitatea asociată cu calculul exponențialelor și logaritmilor, pot fi din nou utilizate relația generalizată 4.17 și tabelul 4.2 .

Figura 4.14 (a) ilustrează setul de tranziții la intervalul de trellis $m = 6$ cauzate de $u_m = -1$, în timp ce figura 4.14 (b) descrie setul de tranziții corespunzătoare unui bit $u_m = +1$, care au fost extrase din trellisul generic, după cum se vede și în relațiile 4.12.

Considerând acest interval de trellis ca un exemplu, logaritmul natural al probabilității de tranziție asociate cu bitul $u_m = -1$ este dat de logaritmul natural al numitorului în relația (4.24), rezultând:

$$\begin{aligned} \ln [P(u_m = -1|y)] &= \ln [\exp(A_5(0) + \Gamma_6(0,0) + B_6(0)) + \exp(A_5(1) + \Gamma_6(1,2) + B_6(2)) \\ &+ \exp(A_5(2) + \Gamma_6(2,0) + B_6(0)) + \exp(A_5(3) + \Gamma_6(3,2) + B_6(2))] \quad (4.25) \end{aligned}$$

Deoarece relația (4.25) este logaritmul natural al sumei de patru termeni exponențiali, relația generalizată care folosește logaritmul Jacobian (4.17) este aplică recursiv, rezultând:

$$\begin{aligned} \ln [P(u_m = -1|y)] &= \ln [\exp(-7,1 + (-2,8) + 162,9) + \exp(-4,4 + (-1,0) + 164,8) \\ &+ \exp(-3,9 + (-1,2) + 162,9) + \exp(-2,8 + (-2,2) + 164,8)] \\ &= 159,4 \\ &\approx \ln [\exp \left(\overbrace{\max(153,0; 159,4) + 0,0}^{TAB} \right) + \exp(-3,9 + (-1,2) + 162,9) \\ &+ \exp(-2,8 + (-2,2) + 164,8)] \\ &\approx \ln \left[\exp \left(\overbrace{\max(159,4; 157,8) + 0,15}^{TAB} \right) + \exp(-2,8 + (-2,2) + 164,8) \right] \\ &\approx \max(159,55; 159,8) + \underbrace{0,55}_{TAB} \approx 160,35 \quad (4.26) \end{aligned}$$

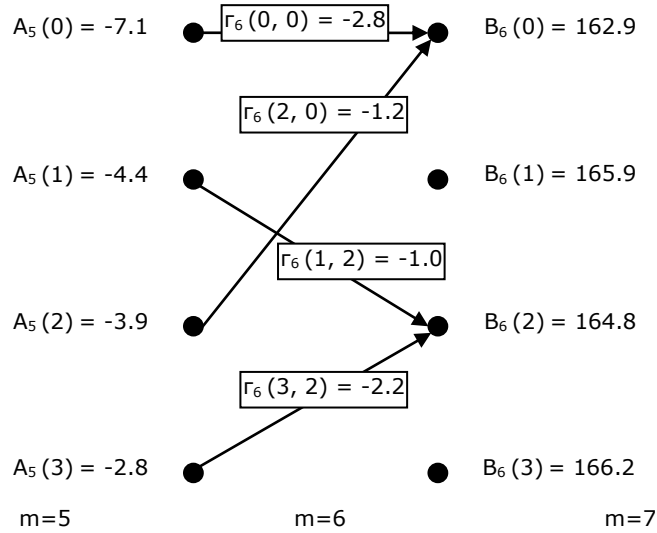
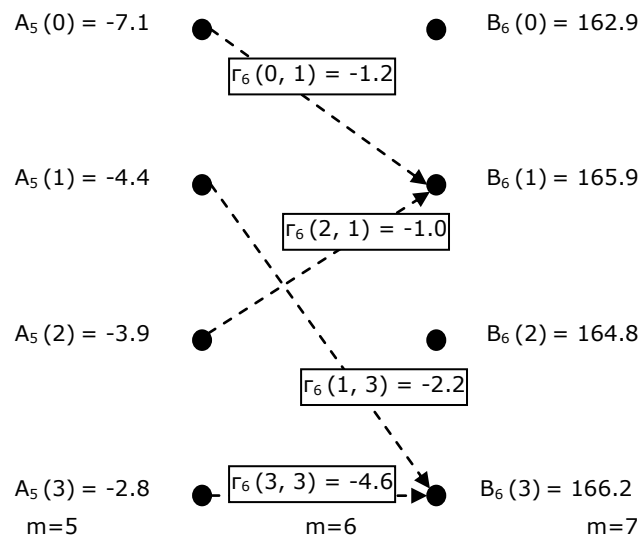
(a) Tranzițiile corespunzătoare biților $u_m = -1$ (b) Tranzițiile corespunzătoare biților $u_m = +1$

Figura 4.14 Tranzițiile de trellis ale egalizorului, care au fost luate în considerare atunci când calculăm valorile LLR corespunzătoare biților -1 și $+1$ la intervalul de trellis $m=6$

În mod similar sunt grupate împreună căile corespunzătoare bitului $u_m = +1$, iar cu figura 4.14 (b) se va obține logaritmul natural al probabilității de a recepționa bitul $u_m = +1$ având în vedere faptul că a fost transmis y :

$$\begin{aligned}
\ln[P(u_m = +1|y)] &= \ln[\exp(-7,1 + (-1,2) + 165,9) + \exp(-4,4 + (-2,2) + 166,2) \\
&\quad + \exp(-3,9 + (-1,0) + 165,9) + \exp(-2,8 + (-4,6) + 166,2)] \\
&\quad = 159,75 \\
&\approx \ln\left[\exp\left(\max(157,6; 159,6) + \frac{0,15}{TAB}\right) + \exp(-3,9 + (-1,0) + 165,9) \right. \\
&\quad \left. + \exp(-2,8 + (-4,6) + 166,2)\right] \\
&\approx \ln\left[\exp\left(\max(159,75; 161,0) + \frac{0,25}{TAB}\right) + \exp(-2,8 + (-4,6) + 166,2)\right] \\
&\approx \max(161,25; 158,8) + \frac{0,05}{TAB} \approx 161,3 \tag{4.27}
\end{aligned}$$

Conform relației 4.24

$$L(u_m|y) \square \ln\left(\frac{P(u_m = +1|y)}{P(u_m = -1|y)}\right) = \ln P(u_m = +1|y) - \ln P(u_m = -1|y)$$

Prin urmare, cu ajutorul rezultatelor obținute din relațiile 4.26 și 4.27 valoarea LLR a posteriori a bitului u_m la intervalul de trellis $m = 6$ este:

$161,3 - 160,35 = 0,95$.

Prin aplicarea aceluiași raționament la toate stările de trellis, pot fi determinate valorile LLR a posteriori a tuturor celor 13 biți u_m .

În tabelul 4.3 se prezintă biții codați și transmiși pe canal, care au fost întrețesuți, obținând secvența (TXD-C). Sunt de asemenea prezentate în tabel valorile LLR a-priori (APRI), valorile LLR a-posteriori (APOS), valorile LLR extrinseci combinate cu ale canalului (EXT) și biți de decizie (DCSN) din prima iterație a egalizării turbo.

	Intervalul de trellis m al egalizorului												
	1	2	3	4	5	6	7	8	9	10	11	12	13
APRI	0,0	0,0	0,0	0,0	0,0	0,0	0,0	0,0	0,0	0,0	0,0	0,0	0,0
APOS	2,7	2,1	-0,5	1,1	-0,1	1,0	-0,6	0,2	-0,4	-6,5	-123	-199,9	-116,2
EXT	2,7	2,1	-0,5	1,1	-0,1	1,0	-0,6	0,2	-0,4	-6,5	-123	-199,9	-116,2
TXD-C	1	-1	1	-1	1	1	-1	1	-1	-1	-1	-1	-1
DCSN	1	1	-1	1	-1	1	-1	1	-1	-1	-1	-1	-1

Tabelul 4.3. Diferite metrice de egalizare extrase din simulări după prima iterație

În prima iterație egalizorul nu recepționează informație a-priori și prin urmare valorile din tabel sunt 0,0. Din valorile LLR a-posteriori calculate, bitul detectat este determinat cu ajutorul unui prag de zero, adică se va lua o decizie de +1 atunci când valoarea LLR este ≥ 0 și -1 când valoarea LLR este < 0 . Valoarea APOS de 1.0 la $m = 6$ a fost determinată prin rotunjirea valorii de 0,95 calculate anterior. În tabelul 4.3 se observă că au fost făcute patru erori, care sunt afișate cu bold. În această etapă, s-a arătat cum este determinată valoarea LLR corespunzătoare bitului u_m de egalizorul Log-MAP, folosind exemplul unui sistem simplu BPSK codat convoluțional. În etapa următoare, valoarea LLR generată de egalizor (EXT) este trimisă la decodorul de canal.

După cum s-a menționat anterior, o regulă esențială pentru egalizarea turbo este că informațiile de intrare pentru un bloc particular în iterația curentă nu trebuie să includă informațiile care au contribuit la acel bloc particular în iterația anterioară, deoarece informațiile utilizate în iterații consecutive ar fi dependente unele de altele și prin urmare, nu s-ar reuși obținerea unui câștig în urma iterației.

De aceea valoarea LLR a-posteriori, care conține informațiile extrinseci combinate cu ale canalului, plus informațiile a-priori furnizate de decodorul de canal, trebuie să fie prelucrată pentru a elimina contribuția anterioară a decodorului (sub forma valorii LLR a-priori) înainte ca aceasta să treacă la decodor. Acest lucru este realizat prin stocarea contribuției precedente a decodorului și scăzând-o din valoarea LLR a-posteriori produsă de egalizor, după cum se vede în figura 4.10.

Deoarece în prima iterație nu există nici o informație a-priori generată de decodor, contribuțiile APRI corespunzătoare din tabelul 4.3 sunt zero și, prin urmare, valoarea LLR a-posteriori conținând informațiile extrinseci combinate cu ale canalului, pot fi transmise direct la decodor. Se observă de asemenea, că egalizorul produce valori LLR, și pentru ultimii trei biți (cei trei biți terminali -1 de la emisie). Deși aceste valori LLR, ale ultimilor trei biți, nu sunt cerute de decodor, acestea sunt folosite în procesul de egalizare.

Având descrisă funcționarea egalizorului Log-MAP, în continuare se va descrie funcționarea decodorului Log-MAP, în contextul egalizării turbo. După cum se vede în Figura 4.5, decodorul primește valoarea LLR extrinsecă combinată cu a canalului $L_p^i = \{L_p^{i;s}, L_p^{i;h}\}$, care a fost de-întreșută. Aici, rolul deinterleaverului este de a minimiza corelația între informațiile de intrare ale egalizorului și intrarea decodorului. De asemenea, ajută la transmiterea informațiilor în ordinea corectă la decodor, deoarece anterior interleaverul de canal n_c din figura 4.5 rearanjează biții în ordinea cerută de egalizor. În acest exemplu se utilizează un codor $K = 3$ RSC, utilizând polinoame generatoare octale $G_0 = 7$ și $G_1 = 5$ la o rata $R = 1/2$. Deoarece lungimea constrângerii este $K=3$, trellisul decodorului conține $2^{K-1} = 2^2 = 4$ stări, așa cum este ilustrat în figura 4.8

Ca și în egalizorul Log-MAP, decodorul Log-MAP calculează, valorile $A_m(k)$, $B_m(k)$

și $\Gamma_m(\hat{k}, k)$, pentru toate stările și respectiv toate tranzițiile de trellis. Calculul lui

$\Gamma_m(\hat{k}, k)$ care se face folosind relația (4.14) poate fi simplificat, deoarece biții codați recepționați și pătratul biților codificați așteptați sunt întotdeauna constante pentru toate tranzițiile de trellis.

În comparație cu intervalul de trellis al egalizorului care se notează cu indice m , la decodor se va folosi d . Odată ce acești parametri sunt calculați, sunt

determinate valorile LLR atât pentru biții sursă cât și pentru biții codați, față de decodarea turbo unde calculul se face doar pentru valorile LLR ale biților sursă. De aceea, la fiecare rată $R = \frac{1}{2}$ a trellisului decodorului sunt produse valorile LLR a celor doi biți codificați. În continuare se va arăta cum este determinată valoarea LLR a fiecărui bit codat.

$$A_3(0) = 2.1 \quad \bullet \xrightarrow{\Gamma_4(0,0) = -1.0} \bullet \quad B_4(0) = 3.2$$

$$A_3(1) = 2.1 \quad \bullet \xrightarrow{\Gamma_4(1,2) = -1.0} \bullet \quad B_4(1) = 3.3$$

$$A_3(2) = 1.0 \quad \bullet \xrightarrow{\Gamma_4(3,1) = -0.1} \bullet \quad B_4(2) = 3.3$$

$$A_3(3) = 0.4 \quad \bullet \xrightarrow{\Gamma_4(2,3) = -0.1} \bullet \quad B_4(3) = 3.2$$

$$d=3 \qquad \qquad \qquad d=4 \qquad \qquad \qquad d=5$$

(a) Tranzițiile corespunzătoare biților codați $c_{1,4} = -1$

$$A_3(0) = 2.1 \quad \bullet \xrightarrow{\Gamma_4(1,0) = 1.0} \bullet \quad B_4(0) = 3.2$$

$$A_3(1) = 2.1 \quad \bullet \xrightarrow{\Gamma_4(2,1) = 0.1} \bullet \quad B_4(1) = 3.3$$

$$A_3(2) = 1.0 \quad \bullet \xrightarrow{\Gamma_4(0,2) = 1.0} \bullet \quad B_4(2) = 3.3$$

$$A_3(3) = 0.4 \quad \bullet \xrightarrow{\Gamma_4(3,3) = 0.1} \bullet \quad B_4(3) = 3.2$$

$$d=3 \qquad \qquad \qquad d=4 \qquad \qquad \qquad d=5$$

(b) Tranzițiile corespunzătoare biților codați $c_{1,4} = +1$

Figura 4.15 . Tranzițiile de trellis ale decodarelor de canal cu $K=3$ RSC și $R=1/2$, care au fost luate în considerare atunci când se calculează valorile LLR corespunzătoare bitului $c_{1,4}$, care este primul bit codat la intervalul de trellis $d=4$. (Trellisul este bazat pe figura 4.8)

În figura 4.15(a) este prezentată o parte din trellisul decodorului la intervalul de trellis $d = 4$, pentru setul ramurilor corespunzătoare primului bit codat $c_{1,4} = -1$, în timp ce în figura 4.15(b) se ilustrează grupul tranzițiilor de trellis cauzate de $c_{1,4} = +1$. Atunci când este utilizat un codor sistematic, valoarea LLR a primilor biți codificați $c_{1,d}$ constituie valoarea LLR a biților sursă.

Similar cu abordarea în cazul egalizorului Log-MAP, sunt determinate valorile $\ln[P(c_{1,4} = +1|L_p^i)]$ și $\ln[P(c_{1,4} = -1|L_p^i)]$, pentru a calcula valoarea LLR pentru $c_{1,4}$. Din figura 4.15(a) și folosind relația 4.4, se obține termenul $\ln[P(c_{1,4} = -1|L_p^i)]$, care este dat de:

$$\begin{aligned} \ln[P(c_{1,4} = -1|L_p^i)] &= \ln[\exp(2,1 + (-1,0) + 3,2) + \exp(2,1 + (-1,0) + 3,3) \\ &\quad + \exp(1,0 + (-0,1) + 3,2) + \exp(0,4 + (-0,1) + 3,3)] \\ &\quad \stackrel{=5,05}{\approx} \ln[\exp(\overbrace{\max(4,3; 4,4) + \frac{0,65}{TAB}}^{=5,05}) + \exp(1,0 + (-0,1) + 3,2) \\ &\quad + \exp(0,4 + (-0,1) + 3,3)] \\ &\quad \stackrel{=5,4}{\approx} \ln[\exp(\overbrace{\max(5,05; 4,1) + \frac{0,35}{TAB}}^{=5,4}) + \exp(0,4 + (-0,1) + 3,3)] \\ &\quad \approx \max(5,4; 3,6) + \frac{0,15}{TAB} \approx 5,55 \end{aligned}$$

în timp ce $\ln[P(c_{1,4} = +1|L_p^i)]$ poate fi scris ca:

$$\begin{aligned} \ln[P(c_{1,4} = +1|L_p^i)] &= \ln[\exp(2,1 + 1,0 + 3,3) + \exp(2,1 + 1,0 + 3,2) \\ &\quad + \exp(1,0 + (-0,1) + 3,2) + \exp(0,4 + (-0,1) + 3,3)] \\ &\quad \stackrel{=7,05}{\approx} \ln[\exp(\overbrace{\max(6,4; 6,3) + \frac{0,65}{TAB}}^{=7,05}) + \exp(1,0 + (-0,1) + 3,2) \\ &\quad + \exp(0,4 + (-0,1) + 3,3)] \end{aligned}$$

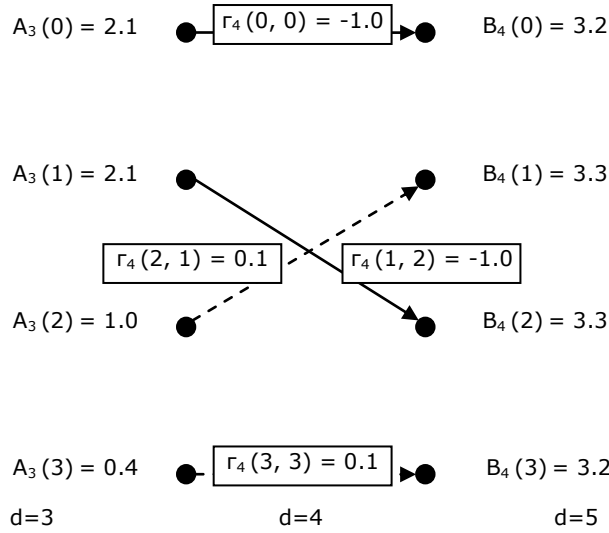
$$\begin{aligned}
& \approx \ln[\exp(\overbrace{\max(7,05;4,1) + \frac{0,05}{TAB}}^{=7,1}) + \exp(0,4 + (-0,1) + 3,3)] \\
& \approx \max(7,1;3,6) + \frac{0,05}{TAB} \approx 7,15
\end{aligned}$$

Din relațiile de mai sus, valoarea LLR pentru bitului $c_{1,4}$ la intervalul de trellis $d = 4$ este:

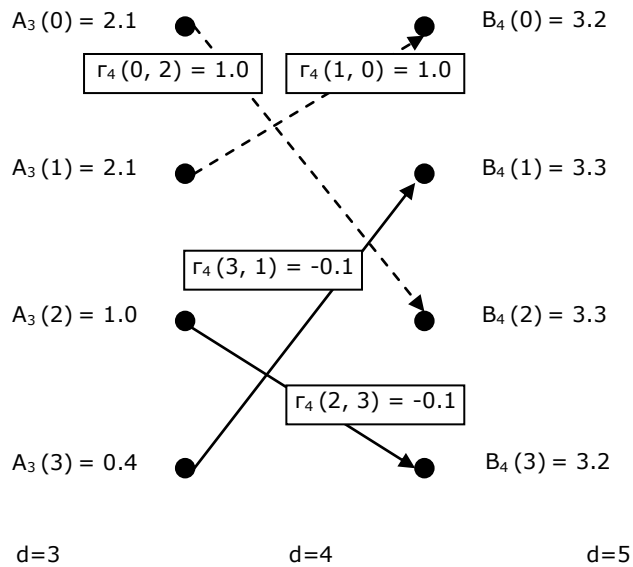
$$\ln[P(c_{1,4} = +1|L_p^i)] - \ln[P(c_{1,4} = -1|L_p^i)] = 7,15 - 5,55 = 1,6$$

Urmând aceeași abordare poate fi calculată valoarea LLR pentru cel de-al doilea bit codat $c_{2,4}$ la intervalul $d = 4$. În mod explicit, trebuie să se calculeze $\ln[P(c_{2,4} = -1|L_p^i)]$ și $\ln[P(c_{2,4} = +1|L_p^i)]$ prin luarea în considerare a unui set diferit de tranziții, care au fost determinate de biți codați $c_{2,4} = +1$ și respectiv $c_{2,4} = -1$. (așa cum se vede din diagrama de trellis din figura 4.8). Având în vedere setul de tranziții corespunzător bitului $c_{2,4} = -1$ prezentat în figura 4.16(a), termenul $\ln[P(c_{2,4} = -1|L_p^i)]$ este:

$$\begin{aligned}
\ln[P(c_{2,4} = -1|L_p^i)] &= \ln[\exp(2,1 + (-1,0) + 3,2) + \exp(2,1 + (-1,0) + 3,3) \\
& \quad + \exp(1,0 + 0,1 + 3,3) + \exp(0,4 + 0,1 + 3,2)] \\
& \approx \ln[\exp(\overbrace{\max(4,3;4,4) + \frac{0,65}{TAB}}^{=5,15}) + \exp(1,0 + 0,1 + 3,3) \\
& \quad + \exp(0,4 + 0,1 + 3,2)] \\
& \approx \ln[\exp(\overbrace{\max(5,15;4,4) + \frac{0,25}{TAB}}^{=5,4}) + \exp(0,4 + 0,1 + 3,2)] \\
& \approx \max(5,4;3,7) + \frac{0,15}{TAB} \approx 5,55
\end{aligned}$$



(a) Tranzițiile corespunzătoare biților codați $c_{2,4} = -1$



(b) Tranzițiile corespunzătoare biților codați $c_{2,4} = +1$

Figura 4.16. Tranzițiile de trellis ale decodoarelor de canal cu $K=3$ RSC și $R=1/2$, care au fost luate în considerare atunci când se calculează valorile LLR corespunzătoare bitului $c_{2,4}$, care este al doilea bit codat la intervalul de trellis $d=4$. (Trellisul este bazat pe figura 4.8)

Luând în considerare toate tranzițiile de trellis posibile corespunzătoare bitului $c_{2,4} = +1$, $\ln\left[P\left(c_{2,4} = +1|L_p^i\right)\right]$ poate fi calculat în felul următor:

$$\begin{aligned} \ln\left[P\left(c_{2,4} = +1|L_p^i\right)\right] &= \ln[\exp(2,1 + 1,0 + 3,3) + \exp(2,1 + 1,0 + 3,2) \\ &\quad + \exp(1,0 + (-0,1) + 3,2) + \exp(0,4 + (-0,1) + 3,3)] \\ &\approx \ln[\exp(\overbrace{\max(6,4; 6,3) + \frac{0,65}{TAB}}^{=7,05}) + \exp(1,0 + (-0,1) + 3,2) \\ &\quad + \exp(0,4 + (-0,1) + 3,3)] \\ &\approx \ln[\exp(\overbrace{\max(7,05; 4,1) + \frac{0,05}{TAB}}^{=7,1}) + \exp(0,4 + (-0,1) + 3,3)] \\ &\approx \max(7,1; 3,6) + \frac{0,05}{TAB} \approx 7,15 \end{aligned}$$

Rezultă că valoarea LLR a-posteriori pentru bitul $c_{2,4} = 1$ la interval $d = 4$ este $7,15 - 5,55 = 1,6$. Pentru a determina valorile LLR ale biților codificați, această operațiune se aplică la toate intervalele tranziției de trellis din trellis.

În ultima iterație, se calculează doar valoarea LLR a posteriori a bitului sursă în loc de doi biți codificați, deoarece trebuie să fie determinați numai biții sursă transmiși. În exemplul prezentat decizia privind biții sursă, bazată pe valorile LLR a-posteriori ale acestora, a fost făcută chiar după prima iterație, după cum vede în tabelul 4.4. Această decizie a fost invocată pentru determinarea performanțelor de decodare a codului convoluțional utilizând algoritmul Log-MAP, care este echivalent cu performanța egalizării turbo după o iterație de egalizare turbo. Cu toate acestea, în general, biții detectați sunt determinați numai în iterația finală.

Metricile numeroase care caracterizează decodorul convoluțional din figura 4.10 au fost extrase din simulări, după prima iterație de egalizare turbo și prezentate în tabelul 4.4. Prima dată se va lua în considerare informațiile primite de decodorul Log-MAP, urmată de informațiile de la ieșirea decodorului.

Se observă în tabelul 4.4 că decodorul convoluțional nu recepționează niciodată informațiile a-priori (APRI-S) cu privire la bitul sursă, cu excepția cazului în aceste informații pot fi extrase dintr-o altă sursă independentă, cum ar fi un alt decodor convoluțional.

LLR-ul extrinsec (EXT-C) este calculat prin scăderea LLR-ului corespunzător informației extrinseci combinate cu a canalului (RXD-LLR) din valoarea LLR a-posteriori a biților codați (APOS-C). Pentru a determina numărul de biți eronați, biții de decizie (DCSN) obținuți de decodor ca informație a-posteriori (APOS-S) sunt

comparați cu biți sursă transmiși (TXD-S). Se observă faptul că în prima iterație au fost obținute două erori.

Prin urmare, în mod similar ca la egalizor, și la decodor valoarea LLR a-priori a bitului sursă (numit APRI-S) este, de asemenea, inițializat la 0, indicând faptul că biții $+1$ și -1 au probabilitate egală de apariție.

	Intervalul de trellis d al decodorului				
	1	2	3	4	5
APRI-S	0,0	0,0	0,0	0,0	0,0
RXD-LLR	2,7; -0,5	-0,1; -0,6	-0,4; 2,1	1,1; 0,8	0,2; -6,5
APOS-C	2,5; 2,5	0,2; -0,3	0,1; 2,3	1,6; 1,6	0,2; -6,5
EXT-C	-0,2; 3,0	0,3; 0,3	0,5; 0,2	0,6; 0,8	0,0; 0,0
APOS-S	2,5	0,2	0,1	1,6	0,2
TXD-S	1	1	-1	-1	1
DCSN	1	1	1	1	1

Tabelul 4.4. Metricile decodorului de canal extrase din simulări după prima iterație de turbo egalizare

Cu toate acestea, spre deosebire de egalizorul Log-MAP, în absența unor decodoare suplimentare, valorile APRI-S rămân la 0 în iterațiile succesive de egalizare turbo, în timp ce în cazul egalizorului turbo valorile LLR a-priori îmbunătățesc operațiile egalizorului turbo în timpul celei de-a doua iterații

După cum s-a menționat anterior, decodorul recepționează, de asemenea valoarea LLR asociată cu informațiile extrinseci combinate cu ale canalului, (numite EXT în Tabelul 4.3), care au fost de-întreșesute rezultând RXD-LLR (din tabelul 4.4).

Ulterior, cu ajutorul acestor valori LLR recepționate, adică APRI-S, precum și RXD-LLR, și prin utilizarea principiilor subliniate mai sus, decodorul Log-MAP este acum gata să determine valorile LLR aposteriori a biților sursă și a biților codificați, și anume (APOS-S) și respectiv (APOS-C), (din tabelul 4.4). Se știe că informațiile de intrare pentru un bloc particular în iterația curentă nu trebuie să includă informații care au contribuit la acel bloc particular din iterația precedentă, deoarece trebuie asigurată o corelație minimă între aceste valori.

Prin urmare, după cum se vede în figura 4.10, valorile LLR RXD-LLR extrinseci combinate cu ale canalului se scad din APOS-C, pentru a obține valorile LLR extrinseci (EXT-C tabelul 4.5). Valorile EXT-C sunt ulterior întreșesute și trimise la egalizorul Log-MAP în iterația următoare ca valori LLR apriori. (APRI din tabelul 4.5).

	Intervalul de trellis m al egalizorului												
	1	2	3	4	5	6	7	8	9	10	11	12	13
APRI	-0,2	0,2	2,9	0,5	0,3	0,8	0,3	0,1	0,5	-0,1	-115,1	-115,1	-115,1
APOS	2	1,2	2,2	0,1	0,1	1,3	-0,6	-0,1	-0,1	-6,7	-123,1	-199,9	-116,2
EXT	2,2	1	-0,7	-0,4	-0,2	0,5	-0,9	-0,2	-0,6	-6,6	-8	-4,8	-1,1
TXD-C	1	-1	1	-1	1	1	-1	1	-1	-1	-1	-1	-1
DCSN	1	1	1	1	1	1	-1	-1	-1	-1	-1	-1	-1

Tabelul 4.5 Diferite metrici de egalizare extrase din simulări după a doua iterație

Aceste informații suplimentare vor fi utilizate de către egalizor în a doua iterație, pentru a îmbunătăți fiabilitatea valorii LLR a-posteriori. Valorile LLR a-posteriori a biților sursă, (notate APOS-S în tabelul 4.4) sunt utilizate pentru a detecta biții sursă transmiși (notați cu DCSN în tabelul 4.4).

Prin compararea DCSN cu biții sursă care au fost efectiv transmiși (TXD-S), se observă că au apărut două erori (care au fost subliniate cu bold, în tabelul 4.4) în prima iterație. În continuare se va arăta că schimbul iterativ de informații între decodor și egalizor îmbunătățește performanța decodării, astfel încât egalizorul turbo surclasează egalizarea și decodarea independentă.

Notațiile TXD-C, APRI, APOS, EXT și DCSN reprezintă biți codificați transmiși, care au a fost întrețesuți, LLR-ul a-priori, LLR-ul a-posteriori, LLR extrinsec și biții detectați sau de decizie. În a doua iterație egalizorul primește informațiile a-priori furnizate de decodorul convoluțional, îmbunătățindu-se astfel fiabilitatea LLR-urilor a-posteriori calculate, generând doar trei erori, afișate cu bold.

	Intervalul de trellis d al decodorului				
	1	2	3	4	5
APRI-S	0,0	0,0	0,0	0,0	0,0
RXD-LLR	2,2; -0,7	-0,2; -0,9	-0,5; 1,0	-0,4; 0,5	-0,1; -6,7
APOS-C	1,4; 1,4	0,3; -0,6	0,2; +0,7	-0,2; 0,4	0,1; -6,7
EXT-C	-0,8; 2,1	0,5; -0,3	0,3; -0,3	0,2; -0,1	0,2; 0,0
APOS-S	1,4	0,3	-0,2	-0,2	0,1
TXD-S	1	1	-1	-1	1
DCSN	1	1	-1	-1	1

Tabelul 4.6 Metricile decodorului de canal extrase din simulări după a doua iterație de turbo egalizare. (Nu se recepționează informațiile a-priori APRI-S).

Ca și în prima iterație, LLR-ul extrinsec EXT-C este calculat prin scăderea LLR-ului corespunzător informațiilor extrinseci combinate cu ale canalului RXD-LLR din LLR-ul a-posteriori APOS-C al biților codați generat de decodor.

În a doua iterație, egalizorul primește informația a-priori a biților sursă APRI-S de la ieșirea decodorului, corespunzătoare primei iterații, așa cum se prezintă în tabelul 4.5. Se știe că în prima iterație de egalizare turbo valoarea LLR a-priori prezentată în linia de sus a tabelului 4.3 a fost inițializată la 0, indicând faptul că biții $+1$ și -1 au avut probabilitate egală de a fi transmiși. Aceste informații suplimentare ajută egalizorul în furnizarea de valori LLR a-posteriori, APOS, mai exacte. Fiabilitatea îmbunătățită este reflectată în numărul redus de erori, în comparație cu rezultatele primei iterații (văzute în tabelul 4.3), indicând o reducere de la patru la trei erori.

Ca și înainte, valorile LLR corespunzătoare informațiilor a-priori sunt scăzute din valorile LLR a-posteriori, la ieșirea egalizorului Log-MAP din figura 4.10, obținându-se valorile LLR extrinseci combinate cu ale canalului notate EXT, care ulterior sunt de-întrețesute. La decodor valoarea LLR extrinsecă combinată cu a canalului recepționată este procesată folosind algoritmul Log-MAP și, după cum se vede în tabelul 4.6, decodorul corectează două erori apărute în iterație anterioară (prezentate în tabelul 4.4).

Prin efectuarea egalizării și decodării iterative, se poate observa că influența caracterului dispersiv al canalului poate fi eliminată aproape complet. În acest exemplu, erau suficiente două iterații de turbo egalizare, spre deosebire de exemplul din tabelul 4.4, care este echivalent cu situația în care egalizarea și

decodarea sunt realizate independent. Pentru a îmbunătăți și mai mult performanța sistemului, pot fi efectuate mai multe iterații de turbo egalizare. Odată cu creșterea numărului de iterații se îmbunătățește performanța.

4.5 Rezultate obținute

4.5.1 Estimarea canalului la transmisia BPSK

Pentru estimarea canalului la transmisia BPSK am utilizat următoarea schema bloc de turbo egalizare din figura 4.17:

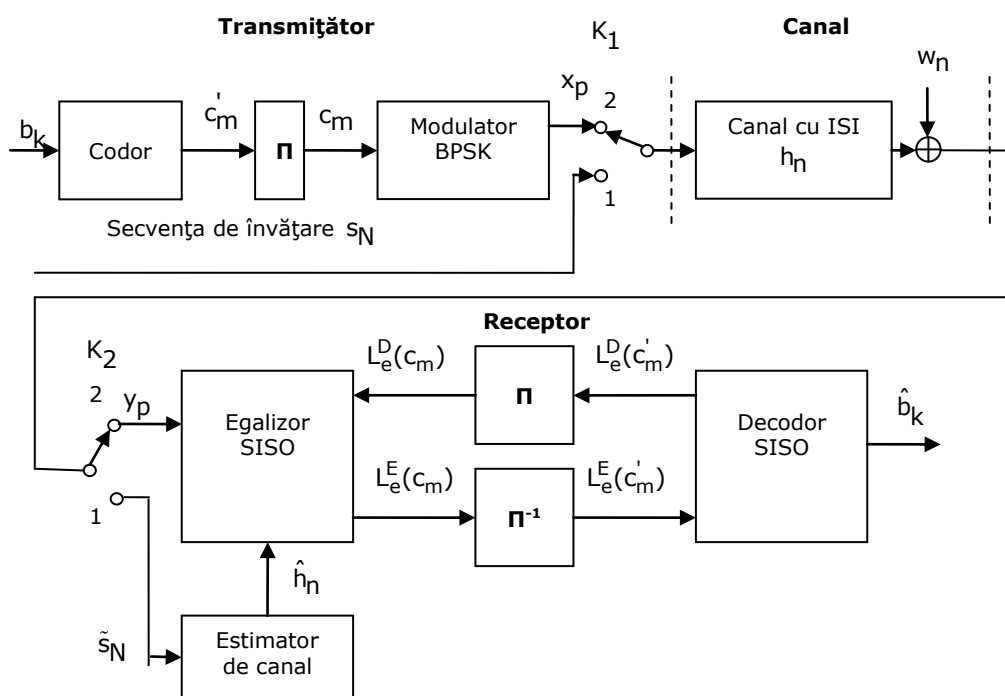


Figura 4.17. Schema bloc a sistemului de emisie – recepție cu estimarea lui h

Se observă din schemă, când comutatoarele K_1 și K_2 sunt în poziția 1, se generează o secvență de învățare s_N , cunoscută de estimatorul de canal de la receptor. Această secvență s_N , este transmisă prin canal și suferă modificări datorită canalului și zgomotului. Pe baza secvenței recepționate \tilde{s}_N și a secvenței cunoscute de la emisie (s_N), se poate determina, \hat{h}_n valoarea estimată a răspunsului la impuls al canalului, cu ajutorul algoritmilor de estimare. După determinarea lui \hat{h}_n se face prelucrarea semnalului la receptor.

4.5.1.1 Estimare perfectă a canalului

Mai întâi am presupus că $\hat{h}_n = h_n$, adică \hat{h}_n , estimatul răspunsului la impuls al canalului, este același cu h_n răspunsul la impuls al canalului (estimare perfectă a lui h_n). Este importantă cunoașterea lungimii lui h_n , ($n=3$) trei în cazul nostru, deoarece în funcție de aceasta se construiește egalizorul SISO. Am realizat două simulări folosind mediul de programare Matlab:

i) La prima simulare, am considerat valorile: $h=[0.302 \ 0.725 \ 0.456]$, lungimea secvenței $b=[b_1, b_2, \dots, b_k]$ este 32 ($k=32$), iar numărul de iterații efectuate de turbo egalizor este 5. În urma simulării se obțin curbele BER din figura 4.18.

ii) Pentru a doua simulare, se modifică doar lungimea secvenței $b=[b_1, b_2, \dots, b_k]$ de 128 ($k=128$), păstrând numărul de iterații efectuate de turbo egalizor și valoarea lui h ca și în cazul i). Rezultatele obținute sunt prezentate în figura 4.19.

Din figurile 4.18 și 4.19 rezultă că:

- rata erorii de bit este cu atât mai mică cu cât k , lungimea secvenței de date transmise este mai mare, astfel ca la o creștere a lui k de patru ori, BER scade cu aproape două ordine de mărime.
- sunt suficiente patru iterații în procesul de turbo egalizare, deoarece iterația cinci nu aduce îmbunătățiri substanțiale ale BER.

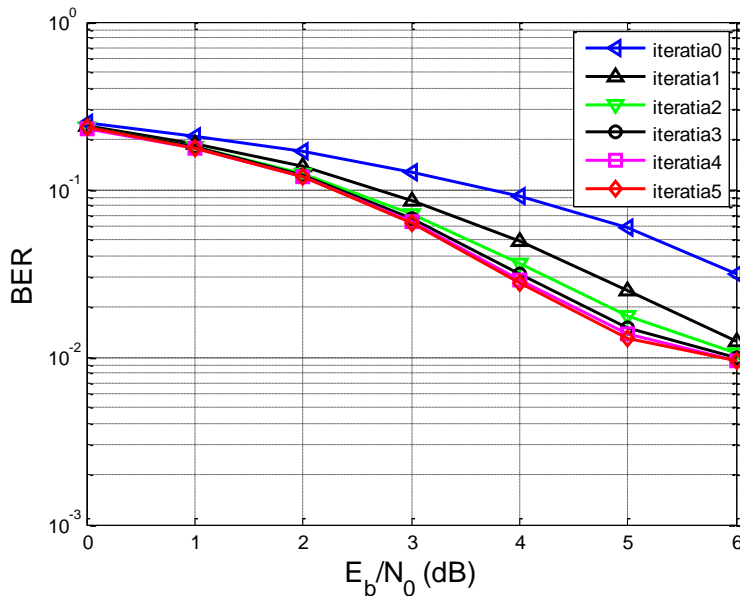


Figura 4.18. BER/SNR ($k=32$)

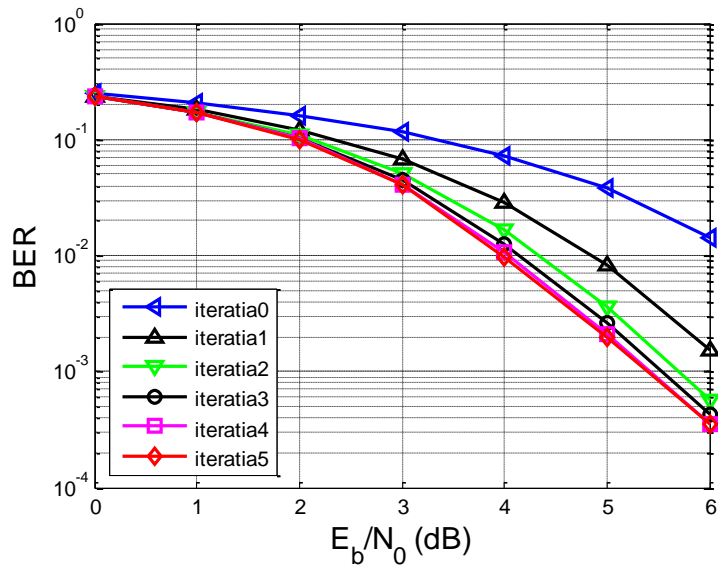


Figura 4.19. BER/SNR (k=128)

4.5.1.2 Estimare eronată a canalului

În continuare, am urmărit BER în procesul de turbo egalizare, considerând estimarea lui h_n (\hat{h}_n) ca fiind eronată.

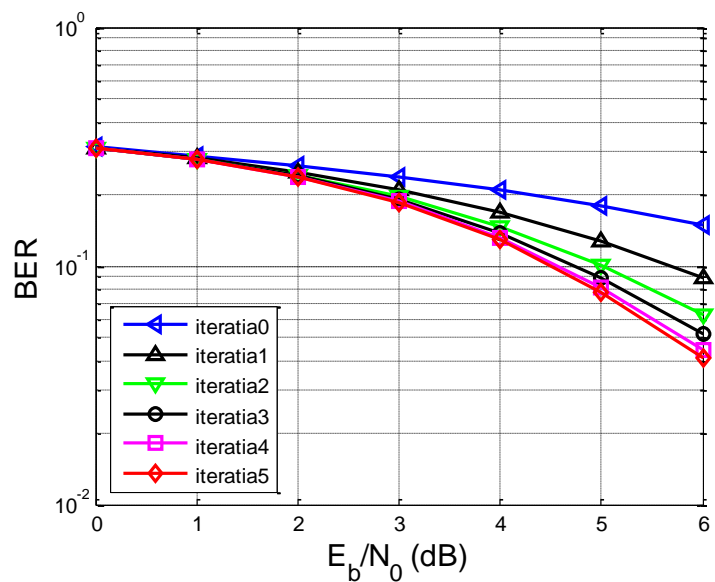


Figura 4.20. BER/SNR, (k=128, $h = [0.302 \ 0.725 \ 0.456]$,
 $\hat{h} = [0.423 \ 0.567 \ 0.231]$)

Pentru aceasta am presupus că: $h = [0.302 \ 0.725 \ 0.456]$, iar $\hat{h} = [0.423 \ 0.567 \ 0.231]$. În cazul estimării perfecte a canalului (figura 4.19) pentru o lungime a secvenței de date, $k=128$, la o valoare a SNR de 6dB ($E_b / N_0 = 6dB$), BER la iterația 5 este cuprins între 10^{-3} și 10^{-4} . În cazul estimării eronate a canalului (figura 4.20) pentru aceleași date- lungimea secvenței de date ($k=128$), SNR=6dB- BER-ul la iterația 5 este cuprins între 10^{-1} și 10^{-2} . Se observă că în cazul unei estimări greșite a lui h_n rezultatele sunt mult mai slabe, BER modificându-se cu două ordine de mărime

Apoi, am propus o schemă, prin care se face o estimare iterativă a lui \hat{h} - vezi figura 4.21.

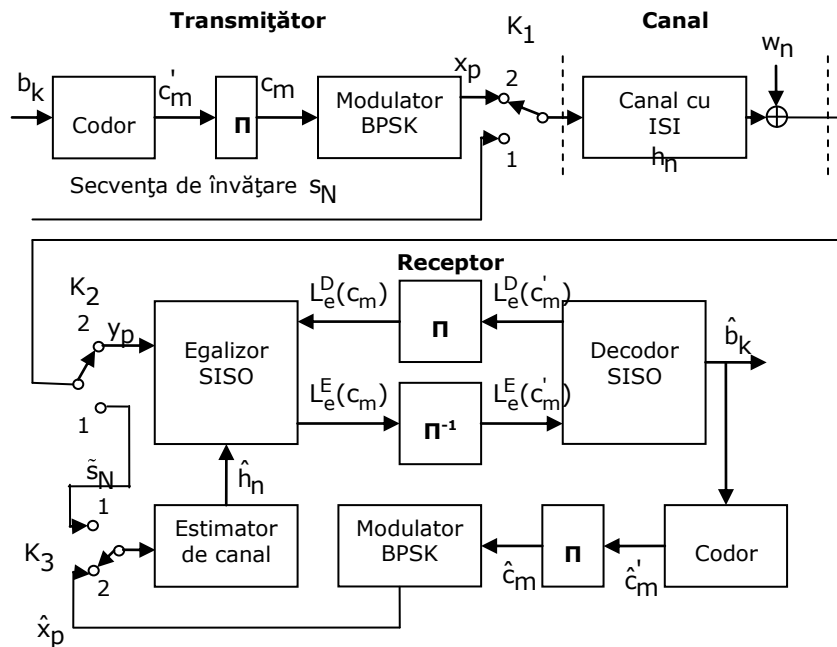


Figura 4.21. Schema bloc a sistemului de emisie – receptie cu estimarea iterativă a lui \hat{h}

Biții recepționați \hat{b}_k , în cadrul fiecărei iterații, sunt din nou codati, întrețesuți, iar apoi modulați (la fel ca și la partea de emisie) și aduși la intrarea blocului de estimare, care în funcție de semnalul recepționat y , face o nouă estimare a lui h_n . Valoarea recalculată a lui h_n este transmisă egalizorului SISO. În cadrul secvenței de învățare, comutatoarele sunt în poziția 1, iar în cadrul transmisiei sunt în poziția 2. În cazul de față estimatorul de canal poate utiliza același algoritm de estimare, atât pentru estimarea inițială (când recepționează \tilde{s}_N) cât și pentru estimările ulterioare (când recepționează \hat{x}_p); sau poate utiliza

algoritmi diferiți; de exemplu LS (least-square) sau MMSE (Minimum Mean-Square Error).

Pentru analiza comparativă a performanțelor celor două scheme, din figura 4.17 și figura 4.21 voi presupune că algoritmul care face estimarea inițială este necunoscut, dar cunosc valorile lui h_n , respectiv \hat{h}_n . Dacă în schema din figura 4.17, \hat{h}_n rămâne constant pe durata celor cinci iterații, în schema din figura 4.21, \hat{h}_n este recalculat la fiecare iterație cu algoritmul LS (Least-Square).

Metoda de estimare LS -descrisă în capitolul 3- implică găsirea lui \hat{h} utilizând următoarea relație:

$$\hat{h}_{LS} = (S^T \cdot S)^{-1} \cdot S^T \cdot \tilde{s} \quad (4.28)$$

unde S este matricea Toeplitz corespunzătoare secvenței de învățare transmise $s[N]$, iar S^T reprezintă transpusa matricei S .

Dacă estimarea lui h se face în funcție de semnalul estimat care s-a transmis $\hat{x}[p]$, cum este în cazul schemei din figura 4.21, relația 4.28 devine:

$$\hat{h}_{LS} = (\hat{X}^T \cdot \hat{X})^{-1} \cdot \hat{X}^T \cdot y \quad (4.29)$$

i) În primul caz se consideră că: $h = \hat{h} = [0.302 \ 0.725 \ 0.456]$, rezultatele simulării acestei transmisii fiind prezentate în figura 4.22.

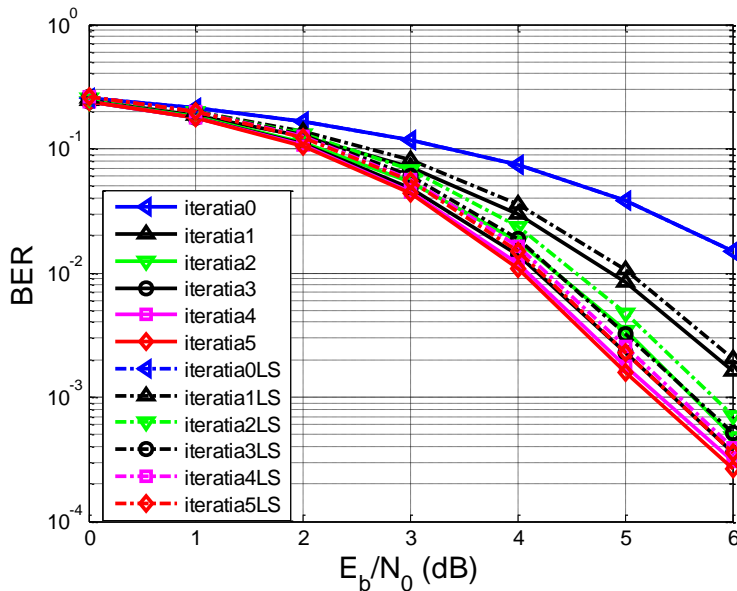


Figura 4.22. BER/SNR pentru cazul i) $h = \hat{h} = [0.302 \ 0.725 \ 0.456]$,
k=128

ii) În al doilea caz, $h \neq \hat{h}$, și anume $h = [0.302 \ 0.725 \ 0.456]$ și $\hat{h} = [0.423 \ 0.567 \ 0.231]$, rezultatele simulării fiind prezentate în figura 4.23.

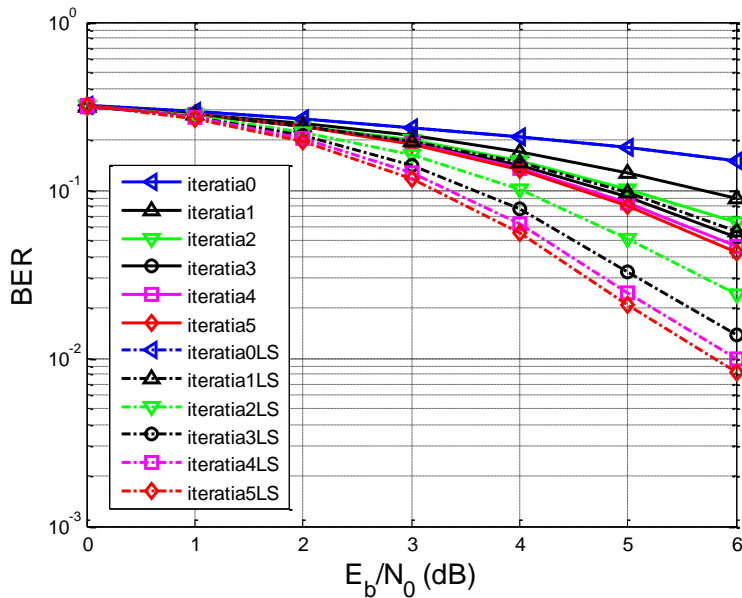


Figura 4.23. BER/SNR pentru cazul ii) $h \neq \hat{h}$
($h = [0.302 \ 0.725 \ 0.456]$, $\hat{h} = [0.423 \ 0.567 \ 0.231]$), $k=128$

Din rezultatele expuse în figurile 4.22 și 4.23, se vede că în primul caz, când $h = \hat{h}$ se recomandă schema din figura 4.17, iar pentru al doilea caz când ($h \neq \hat{h}$), se recomandă utilizarea schemei din figura 4.21.

În continuare se urmărește dependența BER/SNR pentru cele două scheme din figura 4.17 și figura 4.21 atunci când estimarea lui h_n este făcută cu algoritmul LS. Secvența de învățare s_N este modulată BPSK, iar apoi este transmisă prin canal, obținându-se la ieșire \tilde{s}_N .

Pentru schema din figura 4.21 am considerat că estimările succesive sunt realizate utilizând același algoritm (LS). Pentru acest exemplu am realizat trei simulări, pentru trei lungimi diferite ale secvenței de învățare ($N=8, 18; 128$).

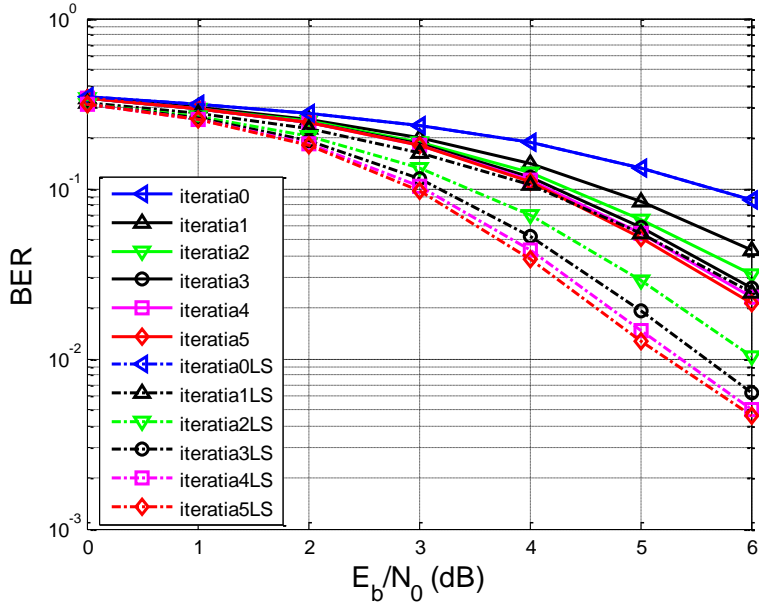


Figura 4.24. BER/SNR
($k=128, h = [0.302 \ 0.725 \ 0.456], N=8$)

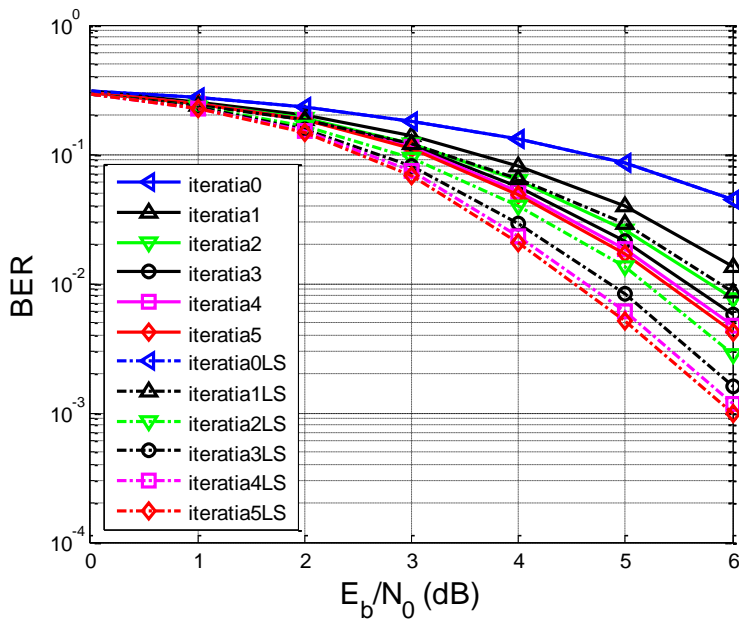


Figura 4.25. BER/SNR ($k=128, h = [0.302 \ 0.725 \ 0.456], N=18$)

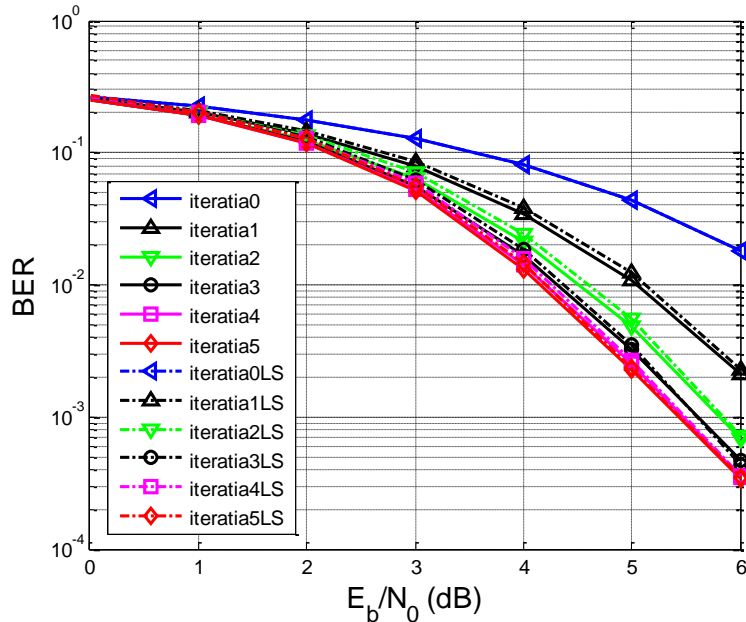


Figura 4.26. BER/SNR ($k=128$, $h = [0.302 \ 0.725 \ 0.456]$, $N=128$)

Din graficele obținute în primele două simulări (figurile 4.24 și 4.25) se poate observa că rezultatele obținute cu schema din figura 4.21– care face o estimare iterativă a lui \hat{h} – sunt mult mai bune decât cele obținute cu schema din figura 4.17– care face estimarea lui \hat{h} o singură dată. În figura 4.26 se observă că rezultatele obținute cu schema din figura 4.17 sunt mai bune decât cele obținute cu schema din figura 4.21, ceea ce se datorează unei estimări inițiale bune a lui h .

Rezultatele din figura 4.26 au fost obținute utilizând o secvență de învățare de lungime mare ($N=128$), determinând o scădere a ratei de transmisie. Odată cu creșterea lungimii secvenței de învățare, performanțele cresc atât pentru schema din figura 4.17 cât și pentru cea din figura 4.21, dar pentru a menține rata de transmisie la valori ridicate este de preferat ca lungimea secvenței de învățare să fie cât mai mică. De aceea în cazul estimării LS este de preferat utilizarea schemei din figura 4.21.

4.5.2. Estimarea canalului la transmisia OFDM

Se presupune că secvența de învățare s_N este modulată BPSK și transmisă prin canal utilizând tehnica de transmisie OFDM. Schema bloc în cazul transmisiei OFDM este prezentată în figura 4.27 [1].

Am implementat în Matlab funcționarea sistemului de transmisie din figura 4.27 utilizând transformata Fourier discretă (DFT) și transformata Fourier discretă inversă (IDFT). Această implementare este prezentată în figura 4.28.

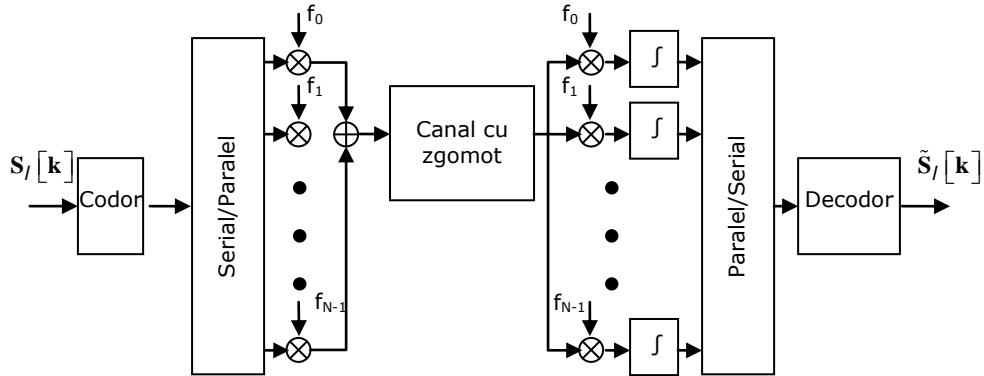


Figura 4.27 Sistem de transmisie utilizând tehnica OFDM

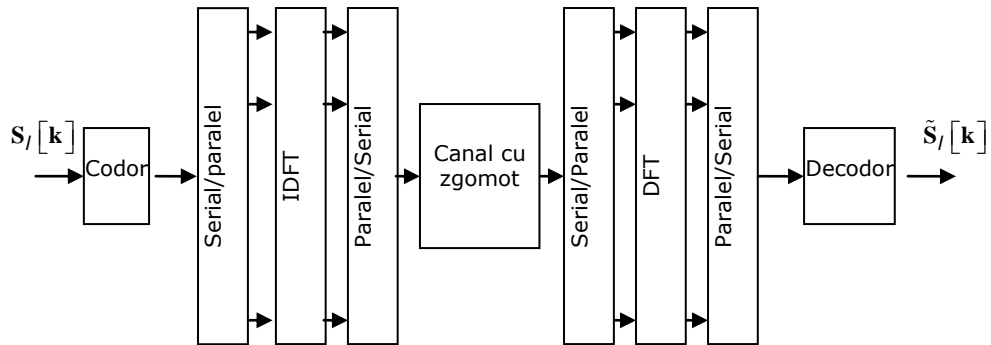


Figura 4.28. Implementarea sistemului de transmisie OFDM utilizând IDFT și DFT

Pentru estimarea lui h , se utilizează schema bloc din figura 4.29. Deoarece secvența de învățare este cunoscută la recepție, ea nu mai trebuie să fie codată, respectiv decodată. Astfel se poate renunța la blocurile de codare și decodare.

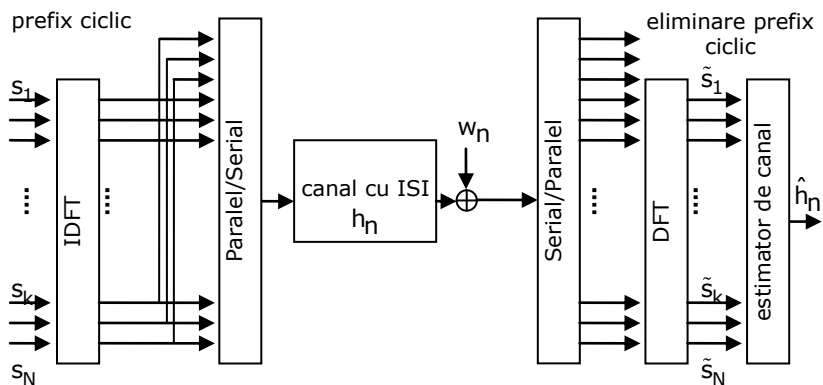


Figura 4.29 Implementarea schemei de transmisie OFDM utilizând IFFT și DFT cu prefix ciclic.

Simbolurile de învățare s_N sunt modulate pe N subpurtoare cu ajutorul transformatei Fourier discrete inverse (IDFT), iar ultimele valori L sunt copiate și puse ca un preambol (prefix ciclic) pentru a forma simbolul OFDM. Prefixul ciclic separă două blocuri OFDM succesive și facilitează egalizarea canalului la receptor. Totodată permite sincronizarea demodulatorului, elimină interferența dintre două simboluri OFDM succesive precum și interferența inter-canal.

Acest vector de date este transmis serial peste un canal discret, în timp, lungimea răspunsului la impuls al canalului fiind mai mică decât L . La receptor, prefixul ciclic este eliminat. Semnalul este demodulat cu ajutorul transformatei Fourier discrete (DFT). În acest caz valoarea estimată a lui h , utilizând algoritmul LS, se calculează cu relația:

$$\hat{h}_{LS} = S^{-1}\tilde{s} = h + \tilde{n} \quad (4.30)$$

unde $\tilde{n} = S^{-1}n$ este un vector cu variabile independente de zgomotul Gaussian, având matricea de covarianță: $R_{\tilde{n}\tilde{n}} = \sigma_n^2 (SS^H)^{-1}$.

Estimatorul liniar MMSE se calculează cu relația:

$$\hat{h} = W_X \hat{h}_{LS} \quad (4.31)$$

În relația de mai sus W_X reprezintă matricea de ponderare dată de relația:

$$W_X = R_{hh} \left(R_{hh} + \sigma_n^2 (SS^H)^{-1} \right)^{-1} \quad (4.32)$$

iar $R_{hh} = E\{hh^H\}$ reprezintă matricea de auto-covarianță a lui h .

Matricea de ponderare W_X este de dimensiune $N \times N$ și depinde de datele transmise S . Utilizând raționamentul din [36] unde se consideră S ca fiind stochastic cu punctele constelației distribuite uniform și independente, matricea de auto-covarianță devine $R_{\tilde{n}\tilde{n}} = \frac{\beta}{SNR}$, relație în care β reprezintă factorul de constelație $\beta = E\{|s_k|^2\} E\{|s_k|^{-2}\}$ ($\beta = 17/9$ pentru 16 QAM, $\beta = 1$ pentru BPSK [3] [4]).

SNR este raportul semnal zgomot pe simbol, dat de relația:

$$SNR = E\{|s_k|^2\} / \sigma_n^2 \quad (4.33)$$

În continuare am comparat rezultatele obținute cu schemele din figurile 4.17 și 4.21.

4.5.2.1 Rata erorii de bit (BER) în funcție de raportul semnal zgomot utilizând algoritmul de estimare LS

Lungimea secvenței de date transmise s-a păstrat 128, modificându-se doar lungimea secvenței de învățare ($N=8, 18; 128$). De asemenea prefixul ciclic este fixat la 8 ($L=8$). Pe grafic notația "LS" reprezintă rezultatele obținute cu schema din figura 4.17 utilizând algoritmul LS, iar "LS-LS" reprezintă rezultatele obținute cu schema din figura 4.21 utilizând algoritmul LS atât în estimarea inițială cât și în estimările corespunzătoare fiecărei iterații.

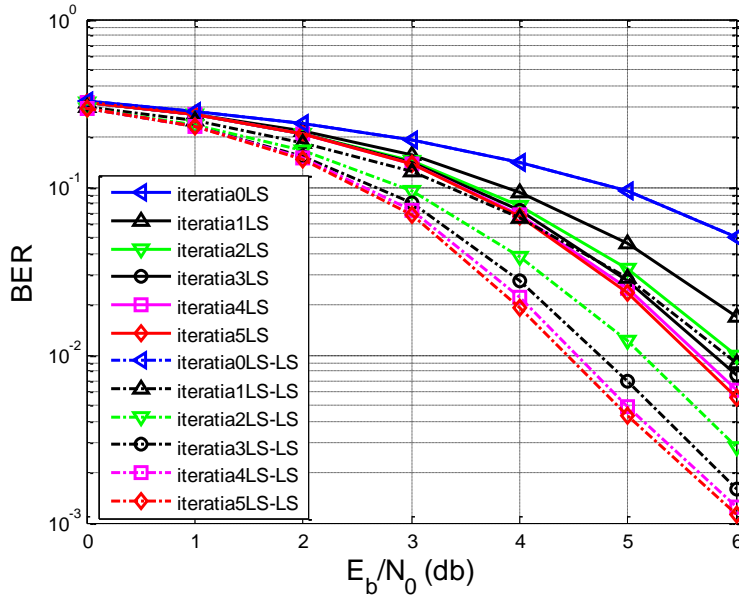


Figura 4.30. BER/SNR
(algorithm LS , $k=128$, $h = [0.302 \ 0.725 \ 0.456]$, $N=8$, $L=8$)

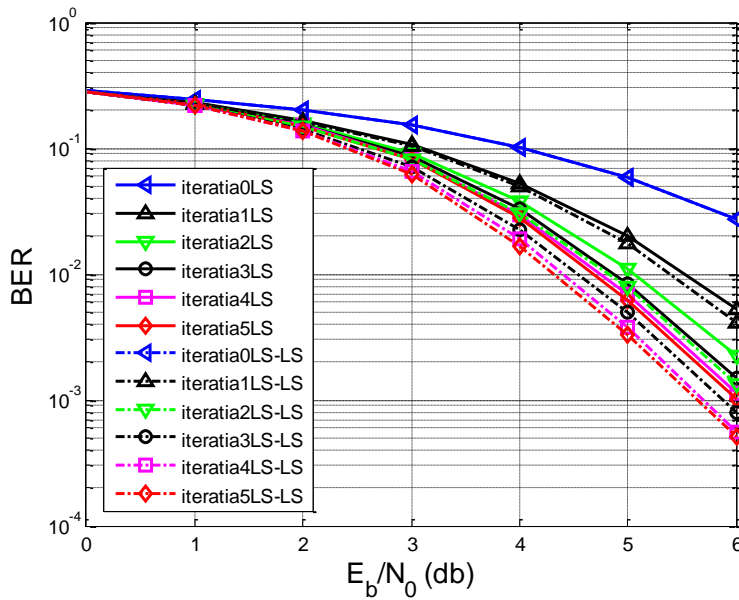


Figura 4.31. BER/SNR
(algorithm LS , $k=128$, $h = [0.302 \ 0.725 \ 0.456]$, $N=18$, $L=8$)

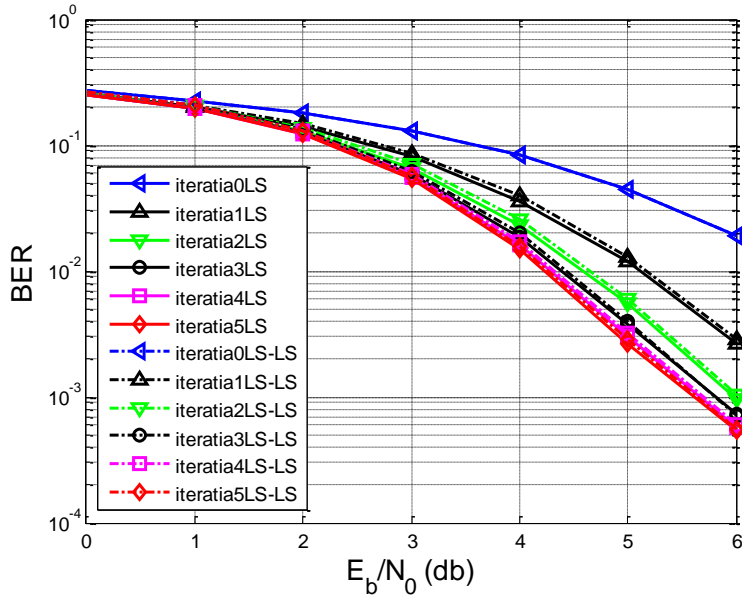


Figura 4.32. BER/SNR

(algoritm LS , $k=128$, $h = [0.302 \ 0.725 \ 0.456]$, $N=64$, $L=8$)

Din analiza graficelor prezentate în figurile 4.30, 4.31 și 4.32 rezultă și acum, că estimarea devine mai precisă odată cu creșterea lungimii secvenței de învățare. Pentru o secvență de învățare de lungime mare poate fi utilizată schema din figura 4.17, iar pentru o secvență de lungime mică schema din figura 4.21.

4.5.2.2 Rata erorii de bit (BER) în funcție de raportul semnal zgomot utilizând algoritmul de estimare MMSE

Pe graficele din figurile 4.33, 4.34 și 4.35 notația "MMSE" reprezintă rezultatele obținute cu schema din figura 4.17 utilizând algoritmul MMSE, iar "MMSE-LS" reprezintă rezultatele obținute cu schema din figura 4.21 utilizând pentru estimarea inițială (iterația 0) , algoritmul MMSE și algoritmul LS pentru estimările din următoarele iterații.

Se observă că utilizând algoritmul MMSE în schema din figura 4.17, se obțin rezultate mai bune decât cu algoritmul LS pentru secvențele de învățare de lungime mai mică. Totuși pentru secvențe de învățare de lungime mică (când estimarea lui h este mai puțin bună) se recomandă schema din figura 4.21

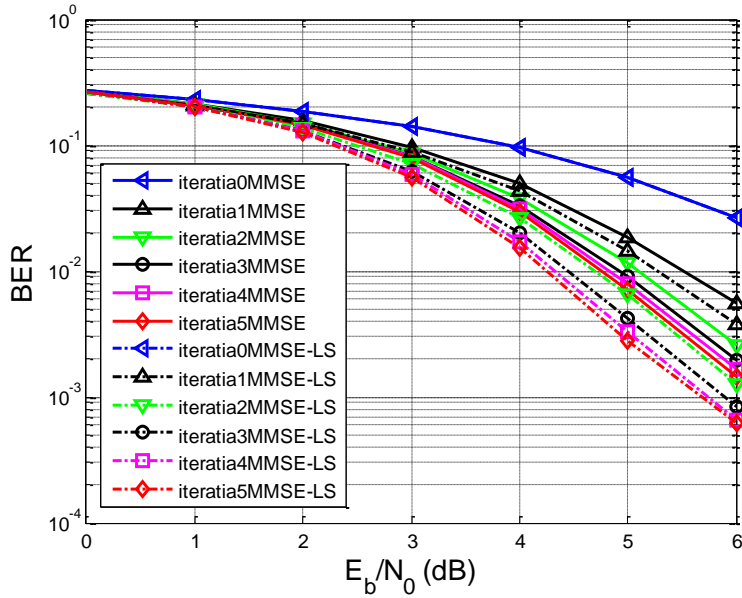


Figura 4.33. BER/SNR

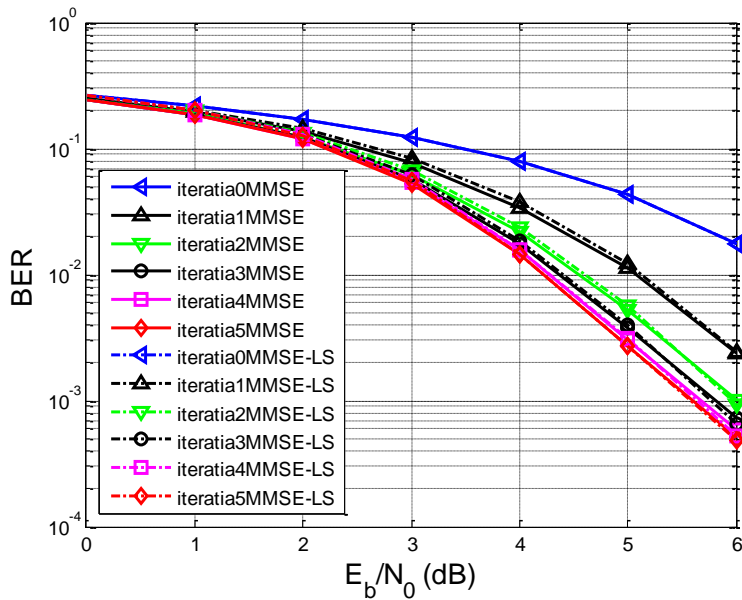
(algorithm MMSE , $k=128$, $h = [0.302 \ 0.725 \ 0.456]$, $N=8$, $L=8$)

Figura 4.34. BER/SNR

(algorithm MMSE , $k=128$, $h = [0.302 \ 0.725 \ 0.456]$, $N=18$, $L=8$)

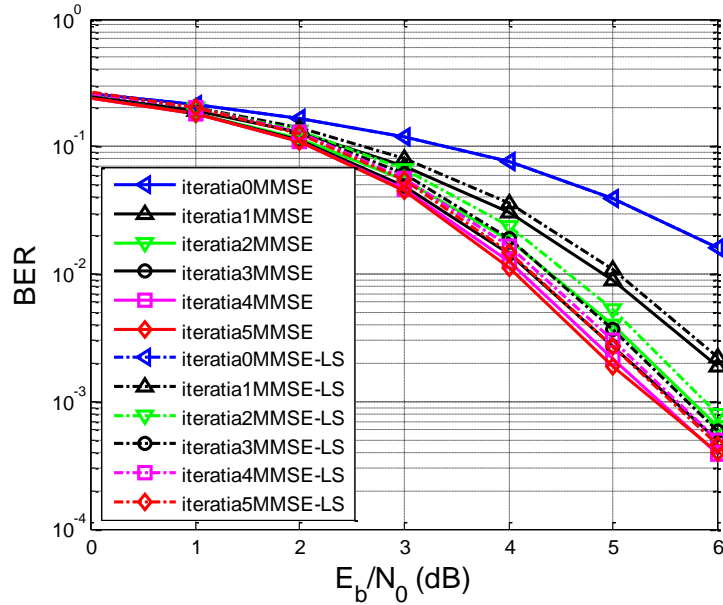
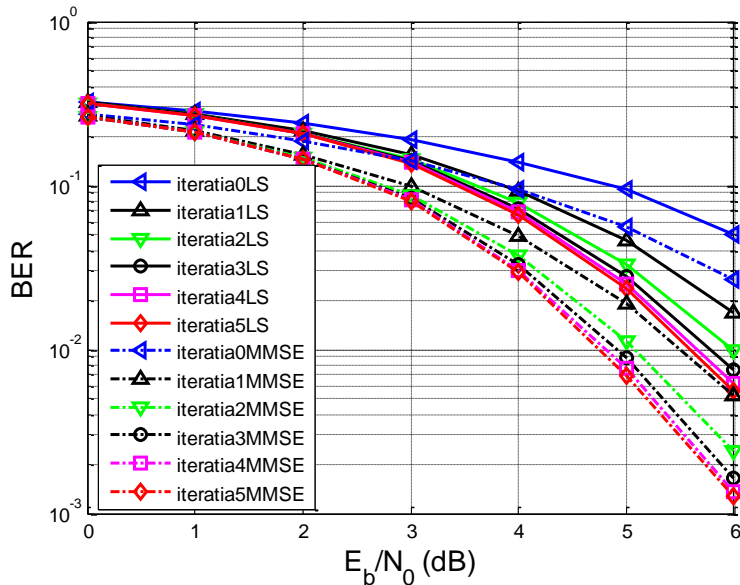


Figura 4.35. BER/SNR

(algoritm MMSE, $k=128$, $h = [0.302 \ 0.725 \ 0.456]$, $N=64$, $L=8$)

4.5.2.3 Comparația rezultatelor utilizând algoritmi LS și MMSE cu schema din figura 4.17

Figura 4.36. BER/SNR ($k=128$, $h = [0.302 \ 0.725 \ 0.456]$, $N=8$, $L=8$)

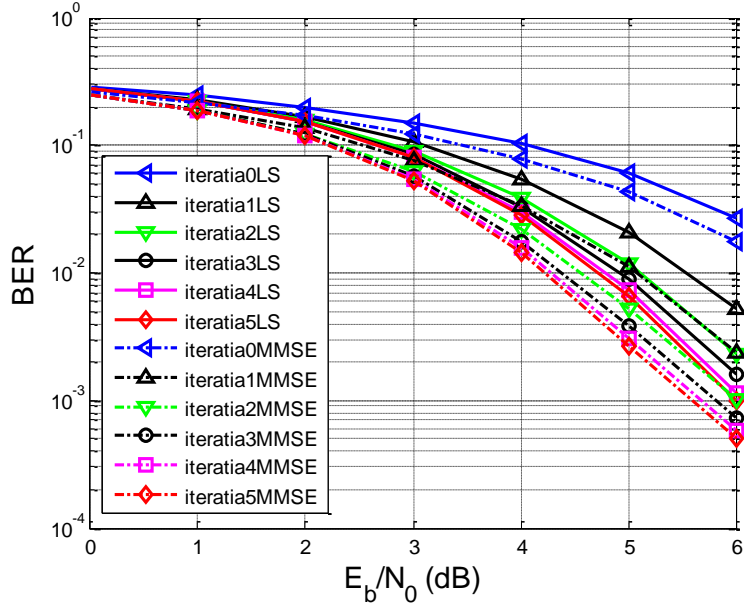


Figura 4.37. BER/SNR ($k=128$, $h = [0.302 \ 0.725 \ 0.456]$, $N=18$, $L=8$)

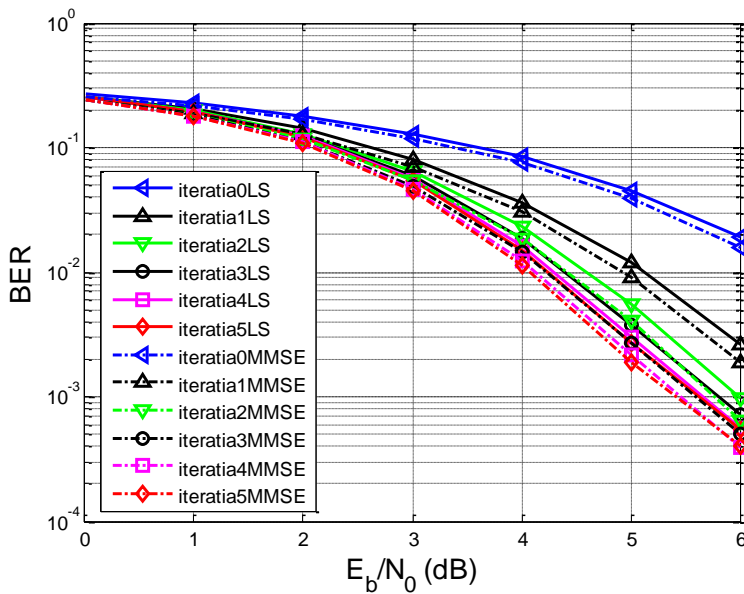


Figura 4.38. BER/SNR ($k=128$, $h = [0.302 \ 0.725 \ 0.456]$, $N=64$, $L=8$)

Din rezultatele prezentate în figurile 4.36, 4.37 și 4.38 am constatat că pentru secvențe de învățare de lungime mică rata erorii de bit este mai mică în cazul estimării MMSE decât în cazul estimării LS. Pentru secvențe de învățare de

lungime mare performanțele de estimare corespunzătoare celor doi algoritmi sunt apropiate.

4.5.2.4 Comparație între rezultatele obținute cu schema din figura 4.21 utilizând algoritmi LS și MMSE

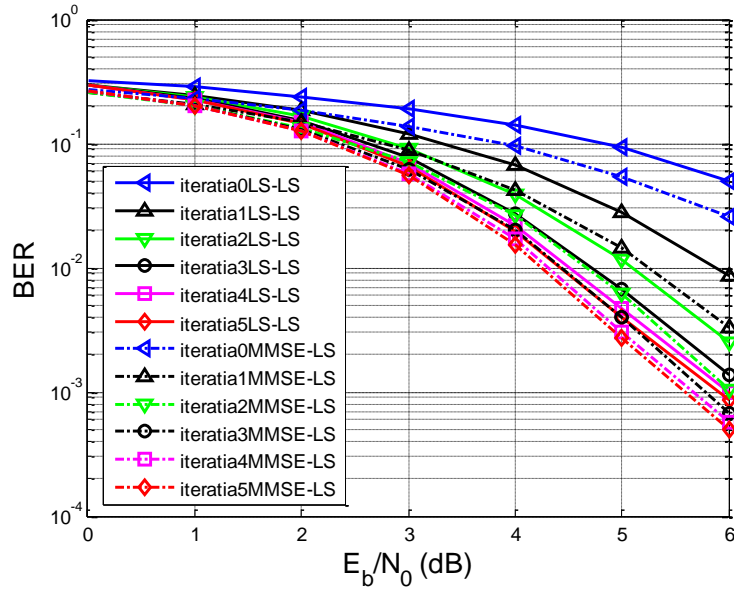


Figura 4.39. BER/SNR ($k=128$, $h = [0.302 \ 0.725 \ 0.456]$, $N=8$, $L=8$)

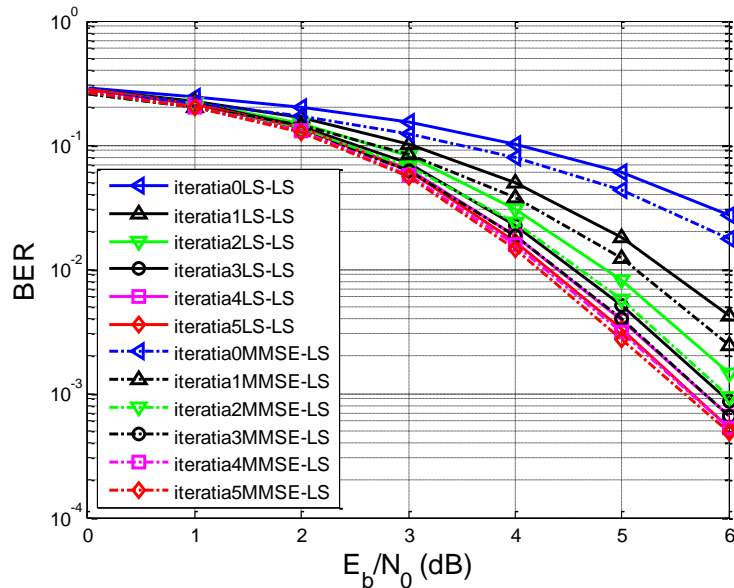


Figura 4.40 BER/SNR ($k=128$, $h = [0.302 \ 0.725 \ 0.456]$, $N=18$, $L=8$)

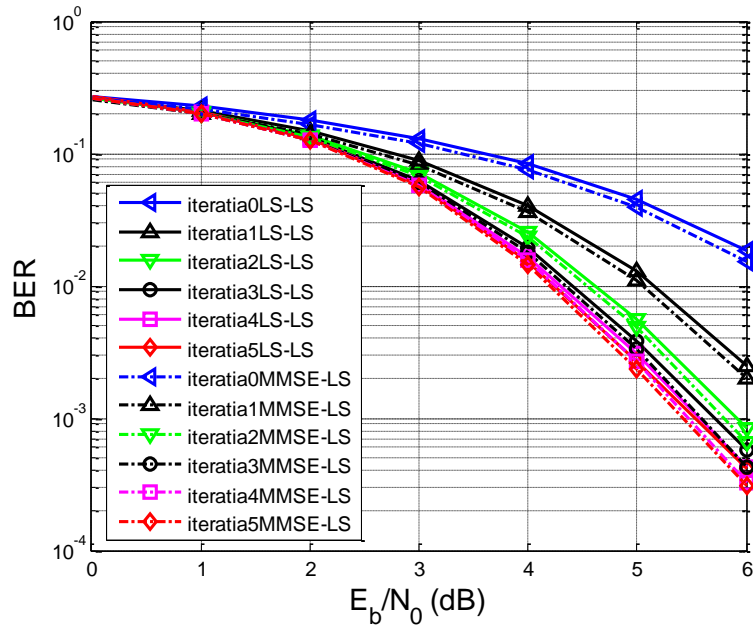


Figura 4.41 BER/SNR ($k=128$, $h = [0.302 \ 0.725 \ 0.456]$, $N=64$, $L=8$)

În urma rezultatelor obținute cu ajutorul schemei din figura 4.21, prezentate în figurile 4.39, 4.40 și 4.41, am constatat că odată cu creșterea secvenței de învățare performanțele celor doi algoritmi devin apropiate. Pentru secvențe de învățare de lungime mică se obțin performanțe mai bune utilizând algoritmul MMSE decât algoritmul LS.

Capitolul 5

Contribuții și concluzii

Problematika abordată în această lucrare privind îmbunătățirea tehnicilor de egalizare ale canalelor radio constituie un subiect de cercetare de mare actualitate.

Creșterea numărului de utilizatori ai rețelelor wireless implică utilizarea eficientă a capacității canalului. Această capacitate este limitată printre altele și de interferențe, care se pot elimina, reduce sau evita prin tehnici adecvate de egalizare a canalului.

În capitolul 1 am făcut o scurtă prezentare a două tipuri de canale de comunicație; canalul AWGN și canalul cu interferență, urmărind capacitatea de transmisie a acestora. Am prezentat, de asemenea, două clase principale de tehnici care fac posibilă utilizarea capacității canalelor cu interferență aproape la fel ca a canalelor fără interferență, cu condiția ca emițătorul să fie informat cu privire la interferențe. O clasă tratează toate subcanalele, ca aparținând unui singur canal, în timp ce cealaltă clasă partiționează canalul de bază în sub-canale paralele independente, prin care simbolurile sunt transmise ținând seama de alocarea optimă a puterii conform principiului water filling.

În capitolul 2 am prezentat câteva scheme clasice de detecție. Am comparat performanța detectoarelor pentru transmisii necodate, deoarece detectoarele tratează de obicei datele ca fiind necodate deși sistemele practice folosesc transmisii codate. Măsura pe care am utilizat-o pentru aprecierea performanței detectoarelor este probabilitatea erorii pe bit (BER). Primul detector tratat este detectorul de plauzibilitate maximă, ML (Maximum Likelihood) care minimizează probabilitatea detecției eronate a unui vector/cuvânt de cod și care poate fi considerat ca fiind optimal. Detectorul ML oferă o limită inferioară a BER, mai mică decât a oricărui alt detector. Celelalte detectoare prezentate cum ar fi: detectoarele liniare, detectoarele cu reacție decizională, detectoarele multinivel au o performanță care se apropie de cea a ML, dar au o complexitate mai redusă.

În capitolul 3 am făcut o descriere atât a principiului de funcționare a codorului și decodorului turbo cât și a implementării acestora în Matlab utilizând algoritmul BCJR.

În urma implementării programului în Matlab am făcut o analiză a ratei erorii pe bit (BER) în funcție de lungimea secvenței transmise, numărul de iterații efectuate de decodorul turbo precum și de raportul semnal zgomot (SNR). În urma analizei am constatat că BER scade odată cu creșterea lungimii secvenței transmise, a numărului de iterații precum și a raportului semnal zgomot. Totodată, am observat că după aproximativ patru iterații BER rămâne constant pentru aceeași valoare a SNR, rezultând faptul că în procesul de decodare turbo sunt suficiente maxim patru iterații de decodare turbo.

Deoarece la recepție pentru a putea face egalizarea, este foarte importantă cunoașterea sau estimarea răspunsului la impuls (h) al canalului, am făcut analiza pentru trei cazuri și anume: i) estimarea perfectă a răspunsului la impuls (h) al canalului, ii) estimarea eronată a lui h , precum și iii) estimarea lui h cu ajutorul algoritmului de estimare LS.

Procesul de egalizare l-am realizat atât cu egalizorul ZF cât și cu egalizorul MMSE. Înainte de a introduce cele două egalizoare în schema de decodare turbo

(figura 3.13) am făcut o analiză a performanțelor acestora (BER/SNR). În urma rezultatelor am constatat că egalizarea realizată cu egalizorul MMSE oferă performanțe mai bune decât aceea realizată cu egalizorul ZF (figura 3.14).

Pentru estimarea lui h am generat secvențe de învățare de lungimi diferite care au fost modulate BPSK și transmise prin canal, iar pe baza secvenței de învățare recepționate și cu ajutorul algoritmului de estimare LS, am determinat valoarea estimată \hat{h} .

Am observat că valoarea estimată \hat{h} este cu atât mai bună cu cât lungimea secvenței de învățare este mai mare.

Și în urma introducerii acestor egalizoare în schema de decodare turbo (figura 3.13), am obținut rezultate mai bune în ceea ce privește rata erorii de bit în funcție de raportul semnal zgomot cu schema în care egalizorul era MMSE

În cazul utilizării egalizorului MMSE, pentru o secvență de învățare $N=8$ și o lungime a secvenței de biți $k=128$, la o valoare a $SNR=4dB$, BER este cuprins între 10^{-1} și 10^{-2} (figura 3.15), iar pentru o secvență de învățare $N=16$, BER este cuprins între 10^{-2} și 10^{-3} (figura 3.16).

Utilizând egalizorul ZF pentru aceeași valoare a secvenței transmise ($k=128$) și pentru cele două valori ale lungimii secvenței de învățare ($N=8$ și $N=16$), valoarea BER scade foarte puțin (figura 3.15 și 3.16) în cazul creșterii secvenței de învățare (cu aproximativ 0.04).

Deoarece creșterea secvenței de învățare duce la o scădere a ratei de transmisie, am menținut secvența de învățare la o valoare mică $N=8$ și am realizat o estimare iterativă a lui \hat{h} (figura 3.17) pe baza secvenței de date recepționate și a secvenței estimate transmise utilizând algoritmul LS. Secvența estimată transmisă s-a obținut prin codarea, întrețeserea și modularea secvenței de biți estimate de la ieșirea decodatorului turbo.

În acest caz am utilizat doar egalizorul MMSE deoarece oferă performanțe mai bune (BER/SNR) decât egalizorul ZF. Totodată am comparat performanțele celor două scheme (schema din figura 3.13 și 3.17) în cazul în care egalizorul este MMSE.

În cazul utilizării estimării iterative, pentru o secvență de învățare $N=8$ și o lungime a secvenței de biți $k=128$, la o valoare a $SNR=4dB$, BER este cuprins între 10^{-1} și 10^{-2} (figura 3.19). Dacă se mărește lungimea secvenței de învățare, $N=16$, la aceeași valoare a SNR ($SNR=4dB$), BER este cuprins între 10^{-3} și 10^{-4} (figura 3.20).

În urma simulărilor am observat că estimarea iterativă a lui \hat{h} duce la o scădere a BER odată cu creșterea numărului de estimări. Creșterea numărului de estimări duce la o creștere a numărului de iterații efectuate de decodator turbo. Dacă se face de R ori recalcularea lui \hat{h} , iar I este numărul de iterații efectuate de decodator în cadrul unui proces de decodare, atunci numărul total de iterații efectuate de decodator turbo este $(R+1) \cdot I$. Deci dezavantajul este numărul mare de iterații.

În capitolul 4 am făcut o descriere a principiului de funcționare a egalizorului turbo. Egalizorul și decodatorului din schemele utilizate sunt de tip SISO și ambele utilizează algoritmul MAP. În cazul în care canalul este multicanal, am observat că este mult mai avantajos utilizarea egalizării turbo, decât utilizarea separată atât a egalizării cât și a decodării turbo. În cazul utilizării egalizării turbo informațiile extrinseci sunt readuse la intrarea egalizorului ca informații a priori. Astfel egalizorul și decodatorului lucrând împreună vor genera în iterația următoare date

mai exacte (mai rafinate). Astfel pentru a obține aceleași performanțe (BER/SNR) ca și în cazul utilizării separate a egalizării și decodării turbo, numărul de iterații în procesul de egalizare turbo este mai mic.

Când se proiectează egalizorul SISO este important să se știe lungimea răspunsului la impuls al canalului și valoarea estimată a acestuia. În cadrul acestei lucrări am ales lungimea răspunsului la impuls al canalului ca fiind trei.

Pentru analiza funcționării circuitului în funcție de valoarea estimată a lui h am considerat trei cazuri:

- i) estimarea perfectă a canalului,
- ii) estimarea eronată a canalului
- iii) estimarea canalului cu ajutorul algoritmilor de estimare LS și MMSE.

Pentru toate cele trei cazuri am propus două scheme bloc:

- prima schemă face calcularea lui \hat{h} o singură dată (figura 4.17),

- a doua schemă face calcularea lui \hat{h} iterativ (4.21). În cazul celei de-a doua scheme, după fiecare iterație de egalizare turbo, secvența estimată de la ieșirea decodatorului este codată întrețesută și modulată BPSK, iar apoi adusă la intrarea estimatorului de canal. Estimatorul de canal recalculează valoarea lui \hat{h} utilizând algoritmul LS pe baza secvenței estimate transmise și a secvenței recepționate la ieșirea din canal.

În cazul i) estimarea iterativă nu aduce nici o îmbunătățire a BER la aceeași valoare a SNR (figura 4.22).

Pentru a vedea dependența BER în funcție de lungimea secvenței de date transmise am utilizat schema bloc din figura 4.17. Am luat două valori pentru lungimea secvenței de date ($k=32$ și $k=128$). Pentru o lungime a secvenței de date $k=32$ la o valoare a SNR=6dB, BER este cuprins între 10^{-2} și 10^{-3} (figura 4.18), iar pentru $k=128$, între 10^{-3} și 10^{-4} (figura 4.19). În urma rezultatelor obținute rezultă că odată cu creșterea lungimii secvenței de date transmise BER scade.

Pentru al doilea caz, ii) estimarea iterativă oferă performanțe mai bune decât în cazul în care aceasta se face o singură dată.

În cazul estimării eronate a canalului (figura 4.20), utilizând schema din figura 4.17, pentru o lungime a secvenței de date $k=128$, SNR=6dB, BER la iterația 5 este cuprins între 10^{-1} și 10^{-2} . În cazul estimării iterative (schema din figura 4.21), pentru aceeași lungime a secvenței de date, la o valoare SNR=6dB, la iterația 5 BER este cuprins între 10^{-2} și 10^{-3} (figura 4.23). Totodată am observat că în cazul unei estimări eronate a lui h rezultatele sunt mult mai slabe pentru ambele scheme.

În cazul iii) estimarea lui h am realizat-o cu algoritmul LS pentru transmisia secvenței de învățare utilizând modulația BPSK și cu doi algoritmi LS și MMSE utilizând tehnica de transmisie OFDM.

În cazul utilizării modulației BPSK pentru secvența de învățare, prima dată am comparat rezultatele obținute cu cele două scheme (figura 4.17 și 4.21), când estimarea la ambele scheme se face cu algoritmul LS. Pentru schema din figura 4.21 am considerat că estimările succesive sunt realizate utilizând același algoritm (LS).

Din rezultatele obținute prezentate în figurile 4.24, 4.25 și 4.26 am observat că odată cu creșterea secvenței de învățare, BER la aceeași valoare a SNR scade, deci estimarea lui h este mai bună.

Totodată din figurile 4.24 și 4.25 unde secvențele de învățare sunt $N = 8$ și respectiv $N = 18$, se poate observa că rezultatele obținute cu schema din figura

4.21- care face o estimare iterativă a lui \hat{h} - sunt mult mai bune decât cele obținute cu schema din figura 4.17- care face estimarea lui \hat{h} o singură dată. Odată cu creșterea lungimii secvenței de învățare ($N=128$) estimarea devine mai bună, astfel că rezultatele obținute cu schema din figura 4.17 sunt mai bune (figura 4.26) decât cele obținute cu schema din figura 4.21. Pentru a menține rata de transmisie la valori ridicate este de preferat ca lungimea secvenței de învățare să fie cât mai mică. De aceea în cazul estimării LS este de preferat utilizarea schemei din figura 4.21.

În cazul transmisiei secvenței de învățare utilizând tehnica OFDM, am făcut o comparație a rezultatelor BER/SNR pentru fiecare schemă în parte, cât și între cele două scheme, pentru cei doi algoritmi menționați LS și MMSE. Astfel am analizat patru cazuri, și anume:

1. Comparație între rezultatele obținute cu schemele din figurile 4.17 și 4.21 utilizând algoritmul LS atât în estimarea inițială cât și în estimările ulterioare.

În acest caz din analiza graficelor prezentate în figurile 4.30, 4.31 și 4.32 rezultă că și de această dată, odată cu creșterea lungimii secvenței de învățare, estimarea devine mai precisă. Pentru o secvență de învățare de lungime mică ($N=8$ și $N=18$) poate fi utilizată schema din figura 4.21, iar pentru o secvență de lungime mare ($N=64$), caz în care estimarea este destul de precisă, poate fi utilizată schema din figura 4.17

2. Comparație între rezultatele obținute cu schemele din figurile 4.17 și 4.21 utilizând algoritmul MMSE în estimarea inițială și algoritmul LS în estimările ulterioare.

Utilizând algoritmul MMSE în schema din figura 4.17, se obțin rezultate mai bune (figura 4.33) decât cu algoritmul LS (figura 4.30) pentru secvențele de învățare de lungime mai mică ($N=8$). Totuși pentru secvențe de învățare de lungime mică (când estimarea lui h este mai puțin bună) se recomandă schema din figura 4.21.

3. Comparație între rezultatele obținute cu schema din figura 4.17 utilizând algoritmi LS și MMSE

Din rezultatele prezentate în figurile 4.36, 4.37 și 4.38, am constatat că în cazul estimării MMSE rata erorii de bit este mai mică decât în cazul estimării LS, pentru secvențe de învățare de lungime mică ($N=8$ și $N=18$). Pentru secvențe de învățare de lungime mare ($N=64$) performanțele de estimare corespunzătoare celor doi algoritmi sunt apropiate

4. Comparație între rezultatele obținute cu schema din figura 4.21 utilizând algoritmi LS și MMSE.

În urma rezultatelor obținute cu ajutorul schemei din figura 4.21, prezentate în figurile 4.39, 4.40 și 4.41, am constatat că odată cu creșterea secvenței de învățare performanțele celor doi algoritmi devin apropiate. Pentru secvențe de învățare de lungime mică se obțin performanțe mai bune utilizând algoritmul MMSE decât algoritmul LS.

O concluzie finală ar fi aceea că schemele în care estimarea este făcută iterativ, oferă performanțe mai bune comparativ cu estimarea făcută o singură dată pe parcursul unui ciclu de egalizare, excepție face cazul estimării perfecte unde rezultatele sunt aproximativ egale. Întrucât estimarea canalului nu este niciodată perfectă, se poate utiliza schema bloc în care estimarea este făcută iterativ.

Dintre cei doi algoritmi utilizați, am obținut rezultate mai bune privind estimarea și implicit BER cu algoritmul MMSE. În ce privește transmisia secvenței de învățare cu tehnica OFDM, aceasta oferă atât o viteză mai mare cât și o estimare mai bună față de transmisia care utilizează modulația BPSK pentru aceeași lungime a secvenței de biți.

Bibliografie citată și consultată

- [1] C. Shannon, "A Mathematical Theory of Communication," Bell System Technical Journal, pp. 379-423 and 623-656, July and October 1948.
- [2] C. Berrou, A. Glavieux, and P. Thitimajshina, "Near Shannon limit error correcting coding and decoding: Turbo codes," in IEEE int. conf. on Commun., pp. 1064-1070, 1993.
- [3] C. Douillard and al. "Iterative correction of inter-symbol interference: Turbo equalization," European Trans. on Commun., vol. 6, pp. 507-511, Sept.-Oct. 1995.
- [4] S. Benedetto, D. Divsalar, G. Montorsi, and F. Pollara, "Serial concatenation of interleaved codes: performances, analysis, design and iterative decoding," TDA Progress Rep. 42-126, Aug.1996.
- [5] G. Forney, "Maximum-Likelihood sequence estimation of digital sequences in the presence of inter-symbol interference," IEEE Trans. on Information Theory, vol. 18, pp. 363-378, May 1972.
- [6] A. Glavieux, C. Laot, and J. Labat, "Turbo equalization over a frequency selective channel," Proc. Int. Symposium on Turbo codes & related topics, Brest, France, pp. 96-102, Sept. 1997.
- [7] A. Glavieux, C. Laot, and J. Labat, "Turbo equalization: Adaptive equalization and channel decoding jointly optimized," IEEE journal on selected areas in Commun., vol. 19, No 9, pp. 1744-1752, Sept. 2001.
- [8] R. G. Gallager, "Low-density parity-check codes," IRE Trans. Inform. Theory, vol. IT-8, pp. 21-28, Jan. 1962.
- [9] R. G. Gallager, Low-Density Parity-Check Codes. Cambridge, MA: MIT Press, 1963.
- [10] S.-Y. Chung, G. D. Forney, Jr., T. J. Richardson, and R. Urbanke, "On the design of low-density parity-check codes within 0.0045 dB of the Shannon limit," IEEE Commun. Letters, vol. 5, pp. 58-60, Feb. 2001.
- [11] H. Imai and S. Hirakawa, "A new multilevel coding method using error correcting codes," IEEE Trans. Inform. Theory, vol. 23, pp. 371-377, May 1977
- [12] J. Leech and N. J. A. Sloane, "Sphere packing and error-correcting codes," Canad.J.Math., vol. 23, pp. 718-745, 1971.
- [13] Yong Soo Cho, Jaekwon Kim, Won Young Yang, Chung G. Kang "MIMO-OFDM Wireless Communications with MATLAB," October 2010.

- [14] G. Caire and S. Shamai, "On the achievable throughput of a multiantenna Gaussian broad-cast channel," *IEEE Trans.Inform.Theory*, vol. 49, pp. 1691–1706, July 2003.
- [15] H. Harashima and H. Miyakawa, "A method of code conversion for a digital communication channel with intersymbol interference," *IEEE Trans.Commun.*, vol. COM-20, pp. 774–780, Aug. 1972.
- [16] M. Tomlinson, "New automatic equalizer employing modulo arithmetic," *Electron. Lett.*, vol. 7, pp. 138–139, Mar. 1971.
- [17] A. Ruiz, J. M. Cioffi, and S. Kasturia, "Discrete multiple tone modulation with coset coding for the spectrally shaped channel," *IEEE Trans.Commun.* vol. 40, pp. 1012–1029, June 1992.
- [18] Alaa Ghait "Methodes pour l'Estimation de canal, Egalisation et Codage pour le Traitement Iteratif en présence d'interférences" Paris 2006.
- [19] A. Klein, G. Kaleh, and P.W. Baier, "Zero forcing and minimum mean square error equalization for multi-user detection in code-division multiple access channels," *IEEE trans. on vehicular technology*, vol. 45, No. 2, pp. 276-287, May 1996.
- [20] Bilal Riaz "EXIT Chart Analysis for Compressive Turbo Codes", Department of Electrical and Computer Engineering McGill University Montréal, Canada, 2009.
- [21] W. E. Ryan, "A Turbo Code Tutorial", New Mexico State University.
- [22] Turbo codes Encoding/Decoding & EXIT chart-Walid Boumerdassi, Etienne Collange & Team Space Busterss Georgia Tech Atlanta FALL 2010.
- [23] C. Berrou and A. Glavieux, "Near optimum error correcting coding and decoding: Turbo codes", *IEEE Transactions on Communications*, vol. 44, pp. 1261-1271, October 1996.
- [24] R. Steele and L. Hanzo, "Mobile Radio Communications: Second and Third Generation Cellular and WATM Systems", New York, USA, IEEE Press - John Wiley & Sons, 2nd ed., 1999.
- [25] G. Bauch, H. Khorram, and J. Hagenauer, "Iterative equalization and decoding in mobile communications systems", *European Personal Mobile Communications Conference*, Bonn, Germany, pp. 301-312, 30 September-2 October 1997.
- [26] L. R. Bahl, J. Cocke, F. Jelinek, and J. Raviv, "Optimal Decoding of Linear Codes for Minimising Symbol Error Rate", *IEEE Transactions on Information Theory*, vol. 20, pp. 284-287, March 1974.
- [27] P. Robertson, E. Villebrun, and P. Hoeher, "A Comparison of Optimal and Sub-Optimal MAP Decoding Algorithms Operating in the Log Domain", *Proceedings of the International Conference on Communications*, Seattle, USA, pp. 1009-1013, June 1995.

- [28] J. Hagenauer and P. Hoher, „A Viterbi algorithm with soft-decision outputs and its applications”, IEEE Globecom, pp. 1680.1686, 1989.
- [29] J. Hagenauer, „Source-controlled channel decoding”, IEEE Transactions on Communications, vol. 43, pp. 2449. 2457, September 1995.
- [30] C. Berrou, P. Adde, E. Angui, and S. Faudeil, „A low complexity soft-output Viterbi decoder architecture”, Proceedings of the International Conference on Communications, pp. 737.740, May 1993.
- [31] P. Robertson, „Illuminating the structure of code and decoder of parallel concatenated recursive systematic (turbo) codes”, IEEE Globecom, pp. 1298.1303, 1994.
- [32] M. Gertsman and J. Lodge, „Symbol-by-symbol MAP demodulation of CPM and PSK signals on Rayleigh flat-fading channels”, IEEE Transactions on Communications, vol. 45, pp. 788.799, July 1997.
- [33] G. Bauch and V. Franz, „Iterative equalisation and decoding for the GSM-system”, Proceedings of IEEE Vehicular Technology Conference (VTC.98), Ottawa, Canada, pp. 2262.2266, IEEE, 18.21 May 1998.
- [34] S. Benedetto and G. Montorsi, „Unveiling turbo codes: Some results on parallel concatenated coding schemes”, IEEE Transactions on Information Theory, vol. 42, pp. 409.428, March 1996.
- [35] L. Hanzo, T. H. Liew, B. L. Yeap, „Turbo Coding, Turbo Equalisation and Space-Time Coding for Transmission over Wireless Channels”, Edit. John Wiley&Sons, 2002.
- [36] Jan-Jaap van de Beek „Synchronization and Channel Estimation in OFDM Systems”
September 1998.
- [37] Stkphane Le Goff, Alain Glavieux and Claude Berrou “Turbo-codes and high spectral efficiency modulation” IEEE International Conference. vol.2 , pp. 645 – 649, 01 May 1994.
- [38] Jakob Dahl Andersen, “Turbo Codes Extended with Outer BCH Code”, Electronics Letters, vol. 32 No. 22, Oct. 1996.
- [39] J. Dahl Andersen and V. V. Zyablov, “Interleaver Design for Turbo Coding”, Proc. Int. Symposium on Turbo Codes, Brest, Sept. 1997.
- [40] Jakob Dahl Andersen, “Selection of Component Codes for Turbo Coding based on Convergence Properties”, Annales des Telecommunication, Special issue on iterated decoding, June 1999.
- [41] S. Benedetto and G. Montorsi, “Performance Evaluation of Turbo-codes”, Electronics Letters, vol. 31, No. 3, Feb. 1995.

- [42] R. J. McEliece, E. R. Rodemich and J.-F. Cheng, "The Turbo Decision Algorithm", Presented at the 33rd Allerton Conference on Communication, Control and Computing, Oct. 1995.
- [43] L. C. Perez, J. Seghers and D. J. Costello, Jr, "A Distance Spectrum Interpretation of Turbo Codes", IEEE Trans. on Inform. Theory, Vol. 42, No. 6, Nov. 1996.
- [44] Steven S. Pietrobon, "Implementation and Performance of a Serial MAP Decoder for use in an Iterative Turbo Decoder", Proc. Int. Symposium on Information Theory, Whistler, Canada, Sept. 1995.
- [45] G. Ungerboeck, "Channel coding with multi-level/phase signals", IEEE Trans. Inf. Theory, pp. 55-67, Jan. 1982.
- [46] M. Eyuboglu, G. D. Forney, P. Dong, G. Long, "Advanced modulation techniques for V.Fast", Eur. Trans. on Telecom., pp. 243-256, May 1993.
- [47] S. Benedetto and G. Montorsi, "Design of parallel concatenated codes", IEEE Trans. Comm., pp. 591-600, May 1996.
- [47] J. Hagenauer, E. Offer, and L. Papke, "Iterative decoding of binary block and convolutional codes", IEEE Trans. Inf. Theory, pp. 429-445, Mar. 1996.
- [49] D. Arnold and G. Meyerhans, "The realization of the turbo-coding system", Semester Project Report, Swiss Fed. Inst. of Tech., Zurich, Switzerland, July, 1995.
- [50] A. Viterbi, "An intuitive justification and a simplified implementation of the MAP decoder for convolutional codes", IEEE JSAC, pp. 260-264, Feb. 1998.
- [51] D. Divsalar and F. Pollara, "Turbo codes for PCS applications", Proc. 1995 Int. Conf. Comm., pp. 54-59.
- [52] A. Aaron and B. Girod, "Compression with side information using turbo codes," in Proc. IEEE Data Compr. Conf., pp. 252-261, Snowbird, UT, April 2002.
- [53] A. Ashikhmin, G. Kramer, and S. ten Brink, "Code rate and the area under extrinsic information transfer curves," in Proc. IEEE Int. Symp. Information Theory (ISIT 2002), p. 115, Lausanne, Switzerland, July 2002.
- [54] J. Bajcsy, "Course notes ECSE 686B – Codes and Graphs," Department of Electrical and Computer Engineering, McGill University, Winter 2006.
- [55] J. Bajcsy, C. V. Chong, J. A. Hunziker, D. A. Garr, and H. Kobayashi, "Iterative decoding in some existing systems," IEEE J. Select. Areas Commun., vol. 19, no. 5, pp. 883 – 890, May 2001.
- [56] S. ten Brink, "Design of Concatenated Coding Schemes based on Iterative Decoding Convergence," Ph.D. dissertation, University of Stuttgart, Germany, 2001.

- [57] S. ten Brink, "Convergence behaviour of iteratively decoded parallel concatenated codes," *IEEE Trans. Commun.*, vol. 40, pp. 1727-1737, October 2001.
- [58] T. M. Cover, J. A. Thomas, "Elements of Information Theory", New York: Wiley-Interscience, 1991.
- [59] I. Deslauriers and J. Bajcsy, "Serial Turbo Coding for Data Compression and the Slepian-Wolf Problem", in *Proc. of the IEEE Information Theory Workshop*, pp. 296-299, Paris, France, March 2003.
- [60] D. Divsalar, S. Dolinar, F. Pollara, and R. J. McEliece, "Transfer function bounds on the performance of turbo codes," *TDA Progress Report 42-122*, pp. 44 - 55, August 1995.
- [61] N. Dütsch, "Code optimization for lossless turbo source coding," in *Proc. IST Mobile & Wireless Communications Summit*, paper 197, Dresden, Germany, June 2005.
- [62] V. C. Gaudet and P. G. Gulak, "A 13.3-Mb/s 0.35-um CMOS analog Turbo decoder IC with a configurable interleaver," *IEEE J. Solid-State Circuits*, vol. 38, no. 11, pp. 2010-2015, November 2003.
- [63] J. Haganeuer and M. Winklhofer, "The Analog Decoder," in *Proc. of IEEE Int. Symp. On Information Theory (ISIT 98)*, p. 145, Boston, USA, August 1998.
- [64] J. Haganeuer, A. Barros, and A. Schaefer, "Lossless turbo source coding with decremental redundancy," in *Proc. Fifth Int. ITG Conference on Source and Channel Codes*, pp. 333-339, Erlangen, Germany, January 2004.
- [65] J. Haghghat, W. Hamouda, and M. Soleymani, "Design of lossless turbo source encoders," *IEEE Signal Proc. Letters*, vol. 13, no. 8, pp. 453-456, August 2006.
- [66] M. S. C. Ho, S. S. Pietrobon, and T. C. Giles. "Interleavers for punctured turbo codes," in *Proc. IEEE Asia-Pacific Conf. on Commun.*, pp. 520 - 524, Singapore, November 1998.
- [67] Y. Kim, B. J. Jeong, J. Chung, C. Hwang, J. S. Ryu, K. Kim, and Y. K. Kim, "Beyond 3G: Vision, requirements and enabling technologies," *IEEE Commun. Mag.*, vol. 41, no. 3, pp. 120 - 124, March 2003.
- [68] L. -N. Lee, A. R. Hammons, F. -W. Sun, and M. Eroz, "Application and Standardization of Turbo Codes in Third Generation High Speed Wireless Data Services," *IEEE Trans. Vehicular Technology*, vol. 49, no. 6, pp. 2198-2207, November 2000.
- [69] H. Leib, "Course Notes ECSE 620B - Information Theory and Coding," Department of Electrical and Computer Engineering, McGill University, Winter 2008.

- [70] A. D. Liveris, Z. Xiong, and C. N. Georghiades, "Compression of binary sources with side information at the decoder using LDPC codes," *IEEE Communication Letters*, vol. 6, no. 10, pp. 440-442, October 2002.
- [71] A. D. Liveris, Z. Xiong, and C. N. Georghiades, "Distributed compression of binary sources using convolutional parallel and serial concatenated convolutional codes," in *Proc. of IEEE Data Compr. Conf.*, pp. 193-202, Snowbird, UT, March 2003.
- [72] P. Mitran and J. Bajcsy, "Turbo source coding: A noise-robust approach to data compression," in *Proc. of IEEE Data Compr. Conf.*, p.465, Snowbird, UT, Aprilie 2002.
- [73] P. Mitran, "Design and Applications of Turbo Source Codes," M. Eng. Thesis, McGill University, Montreal, QC, Canada, 2002.
- [74] G. Montorsi and S. Benedetto, "Design of fixed-point iterative decoders for concatenated codes with interleavers," *IEEE J. Select. Areas Commun.*, vol. 19, pp. 871-882, May 2001.
- [75] J. Proakis, *Digital Communications*, New York: McGraw Hill, 1989.
- [76] B. Riaz, "Performance Analysis of Turbo Compressive Codes," B. Eng. Thesis, McGill University, Montreal, QC, Canada, December 2006.
- [77] D. Slepian and J. K. Wolf, "Noiseless Coding of Correlated Information Sources," *IEEE Transactions on Information Theory*, pp. 471-480, July 1973.
- [78] M. R. Soleymani, Y. Gao, and U. Vilaipornsawai, *Turbo Coding for Satellite and Wireless Communications*, Norwell, MA: Kluwer Academic Publishers, 2002.
- [79] G. Titericz, R. D. Souza, J. Garcia-Frias, and G. I. Shamir, "Comparing Different Transmission Strategies Using Turbo Codes for Nonuniform Memoryless Sources," in *Proc. of IEEE Int. Conf. on Communications*, pp. 2722-2727, Glasgow, Scotland, June 2007.
- [80] Z. Tu, J. Li, and R. S. Blum, "Compression of a binary source with side information using parallel concatenated convolutional codes," in *Proc. IEEE Global Commun. Conf.*, vol. 1, pp. 46-50, Dallas, TX, November 2004.
- [81] M. Tüchler, "Convergence prediction for iterative decoding of threefold concatenated systems," in *Proc. IEEE Global Commun. Conf.*, pp. 1358 -1362, Taipei, Taiwan, November 2002.
- [82] A. D. Wyner, "On source coding with side information at the decoder," *IEEE Trans. Inform. Theory*, vol. IT-21, pp. 294-300, May 1975.
- [83] Y. Zhao and J. Garcia-Frias, "Data compression of correlated non-binary sources using punctured turbo codes," in *Proc. IEEE Data Compr. Conf.*, pp. 242-251, Snowbird, UT, April 2002.

- [84] Y. Zhao and J. Garcia-Frias, "Joint estimation and compression of correlated nonbinary sources using punctured turbo codes," IEEE Trans. Communications, vol. 53, no. 3, pp. 385-390, March 2005.
- [85] C.Gordan, **L.Morgoș**, R.Reiz: „Detection and estimation of linear FM signals”, International Symposium on Signals, Circuits & Systems, ISSCS 2005, 14-15.07.2005, Iași, pp. 705-708, ISBN 0-7803-9029-6, Indexată ISI
- [86] **L.Morgos**, S.Popa, C.Gordan: "Rayleigh Fading Channels in Digital Communication Systems", The fourth International PhD Student's workshop, IWCIT 2005, Ostrava, Czech Republic, 4th International PhD Student's workshop, IWCIT 2005, Ostrava, Czech Republic, pp. 271-274, ISBN 80-248-0906-0;
- [87] Popa, **L.Morgoș**, N. Draghiciu, S. Castrase- "Fading types in mobile radio communication systems" 8th International Conference on Engineering of Modern Electric Systems 26-28 May 2005, Oradea – România. Analele Universității din Oradea, Fascicula Electrotehnică, Secțiunea Electronică pag. 112-115, ISSN 1454-9239.
- [88] S.Popa, S. Castrase, N. Drăghiciu, **L.Morgoș** „Fading Channels Modelation in Digital Communication Systems”, 8 International Workshop CPEE Wilasky, 14-16.10.2007 Poland, pag.41-44, ISSN 1731-6103.
- [89] **L.Morgos**, Nistor Daniel Trip " Considerations about the Modeling of Software Defined Radio for Mobile Communications Networks" Journal of Electrical and Electronics Engineering 2009, Oradea –România., ISSN 1844-6035.
- [90] S. Popa, **L. Morgoș**, A. Șchiop „Multicarrier modulation techniques (MCM) used to combat frequency-selective fading”, National Symposium of Theoretical Electrical Engineering București, Romania 12.10.2007, pag.330-335, ISBN978-973-718-899-1.
- [91] **L.Morgos** "Turbo Decoding Using BCJR Algorithm" Journal of Electrical and Electronics Engineering Vol.6 Nr1 2013, Oradea – România. pag.87, ISSN 1844-6035.

Anexa 1

```
%Program care utilizeaza turbocodarea la emisie, iar la receptie o
%egalizare si o turbodecodare.
%La receptie se face o estimare iterativa utilizand algoritmul
%LS a secventei transmise,si o egalizare MMSE
clear all;
close all;
EbNO_db_vect= [0:1:4];% Diferite valori pentru raportul semnal zgomot (SNR)care
vor fi utilizate pentru
%a vizualiza evolutia ratei erorii pe bit (BER)

% polinomul generator
g=[1 1 1;1 0 1];
% parametrii polinomului generator
[n,K] = size(g);
% numarul starilor este 2^m
m = K-1;
%Rata codului
R=1/K;
marime_mesaj=128;% numarul bitilor generati aleator de bloc
marime_bloc = marime_mesaj+m;%pentru a termina trellisul este nevoie de m biti
%Determinarea pozitiei bitilor dupa ce trec prin interlaver :poz
[random, poz] = sort(rand(1,marime_bloc));
i_ber=0; %Indice pentru BER
ber=zeros(1,length(EbNO_db_vect));
nr_max_de_erori=500;

for i_ber=1:length(EbNO_db_vect)
    EbNO_db=EbNO_db_vect(i_ber);

    Nr_erori_iteratia_1_mmse=0;
    Nr_erori_iteratia_2_mmse=0;
    Nr_erori_iteratia_3_mmse=0;
    Nr_erori_iteratia_4_mmse=0;
    Nr_erori_iteratia_5_mmse=0;
    nr_erori_mmse=0;
    Nr_erori_iteratia_1_mmseLS=0;
    Nr_erori_iteratia_2_mmseLS=0;
    Nr_erori_iteratia_3_mmseLS=0;
    Nr_erori_iteratia_4_mmseLS=0;
    Nr_erori_iteratia_5_mmseLS=0;
    nr_erori_mmseLS=0;
    numar_secvente_generate=0;
    while Nr_erori_iteratia_5_mmseLS<nr_max_de_erori

        MesajIn = round(rand(1, marime_mesaj));
```

```

%----- Codor -----
    IesireTurboCodor = TurboCodor(g, MesajIn, poz);
bitiicodati= zeros(1,3*length(IesireTurboCodor(1,:)));
    for i=1:marime_bloc
        bitiicodati(3*i-2:3*i) = (IesireTurboCodor(:,i));
    end
bitiicodati;
% modulare BPSK
Simb_codate = 2*bitiicodati - 1;
N=length(bitiiocodati);
%----- Canal multical-----
h = [0.2 0.9 0.3];
[iesire_canal] = canal(h,N,Simb_codate,EbN0_db);
EbN0=10^(EbN0_db/10);
sigmaB_2= 1/(2*R*EbN0);
%----- estimare-----
N1=16; %lungime secventa invatate
secv_inv=round(rand(1, N1));
secv_inv_cod=2*secv_inv-1;
[iesire_canal_secv_inv] = canal(h,N1,secv_inv_cod,EbN0_db);
[h_est]=estimare0_LS(secv_inv,iesire_canal_secv_inv);
%----- egalizare-----
[biti_estimati_zf,biti_estimati_mmse]
=egalizare_zf_mmse(iesire_canal,h_est,N,EbN0_db);
nr_erori_mmse1 = size(find([bitiicodati- biti_estimati_mmse]),2);
nr_erori_mmse = nr_erori_mmse + nr_erori_mmse1;
Simb_transmise_turbodec_mmse=2*biti_estimati_mmse-1;
% Turbo-decodor
%-----
    Lc=2/sigmaB_2;

    In_dec_mmse = [ Simb_transmise_turbodec_mmse(1:3:end);
Simb_transmise_turbodec_mmse(2:3:end);
Simb_transmise_turbodec_mmse(3:3:end)];
    extrinsec2_mmse = zeros(marime_bloc,1);% valoarea extrinseca de la
decodorul 2
    apriori1_mmse = zeros(marime_bloc,1); % valoarea apriorii la primul decodor

%-----
%iteratia 1

[Le1_it1_mmse,Le2_it1_mmse,nr_erori1_mmse,biti_estimati1_mmse]=iteratie(g,M
esajIn,In_dec_mmse,Lc, marime_bloc, apriori1_mmse,extrinsec2_mmse,poz);
    Nr_erori_iteratia_1_mmse=Nr_erori_iteratia_1_mmse+nr_erori1_mmse;
%-----
%iteratia 2

[Le1_it2_mmse,Le2_it2_mmse,nr_erori2_mmse,biti_estimati2_mmse]=iteratie(g,M
esajIn,In_dec_mmse,Lc, marime_bloc, Le1_it1_mmse,Le2_it1_mmse,poz);
    Nr_erori_iteratia_2_mmse=Nr_erori_iteratia_2_mmse+nr_erori2_mmse;
%-----

```

```

%iteratia 3

[Le1_it3_mmse,Le2_it3_mmse,nr_erori3_mmse,biti_estimati3_mmse]=iteratie(g,M
esajIn,In_dec_mmse,Lc, marime_bloc, Le1_it2_mmse,Le2_it2_mmse,poz);
  Nr_erori_iteratia_3_mmse=Nr_erori_iteratia_3_mmse+nr_erori3_mmse;
%_____
%iteratia 4

[Le1_it4_mmse,Le2_it4_mmse,nr_erori4_mmse,biti_estimati4_mmse]=iteratie(g,M
esajIn,In_dec_mmse,Lc, marime_bloc, Le1_it3_mmse,Le2_it3_mmse,poz);
  Nr_erori_iteratia_4_mmse=Nr_erori_iteratia_4_mmse+nr_erori4_mmse;
%_____
%iteratia 5

[Le1_it5_mmse,Le2_it5_mmse,nr_erori5_mmse,biti_estimati5_mmse]=iteratie(g,M
esajIn,In_dec_mmse,Lc, marime_bloc, Le1_it4_mmse,Le2_it4_mmse,poz);
  Nr_erori_iteratia_5_mmse=Nr_erori_iteratia_5_mmse+nr_erori5_mmse;

%----- egalizare-----
[h_estLS]=estimare_LS(marime_bloc,biti_estimati5_mmse,iesire_canal,g,poz);

[biti_estimati_zfLS,biti_estimati_mmseLS]
=egalizare_zf_mmse(iesire_canal,h_estLS,N,EbN0_db);

nr_erori_mmse1LS = size(find([bitiicodati- biti_estimati_mmseLS]),2);
nr_erori_mmseLS = nr_erori_mmseLS + nr_erori_mmse1LS;
Simb_transmise_turbodec_mmseLS=2*biti_estimati_mmseLS-1;

% Turbo-decodor
%-----
Lc=2/sigmaB_2;

In_dec_mmseLS = [ Simb_transmise_turbodec_mmseLS(1:3:end);
  Simb_transmise_turbodec_mmseLS(2:3:end);
  Simb_transmise_turbodec_mmseLS(3:3:end)];

  extrinsec2_mmseLS = zeros(marime_bloc,1);% valoarea extrinseca de la
decodorul 2
  apriori1_mmseLS = zeros(marime_bloc,1); % valoarea apriorii la primul
decodor
%_____
%iteratia 1

[Le1_it1_mmseLS,Le2_it1_mmseLS,nr_erori1_mmseLS,biti_estimati1_mmseLS]=ite
ratie(g,MesajIn,In_dec_mmseLS,Lc, marime_bloc,
apriori1_mmseLS,extrinsec2_mmseLS,poz);

Nr_erori_iteratia_1_mmseLS=Nr_erori_iteratia_1_mmseLS+nr_erori1_mmseLS;
%_____
%iteratia 2

```



```

[Le1_it2_mmseLS,Le2_it2_mmseLS,nr_erori2_mmseLS,biti_estimati2_mmseLS]=ite
ratie(g,MesajIn,In_dec_mmseLS,Lc, marime_bloc,
Le1_it1_mmseLS,Le2_it1_mmseLS,poz);

Nr_erori_iteratia_2_mmseLS=Nr_erori_iteratia_2_mmseLS+nr_erori2_mmseLS;
%_____
%iteratia 3

[Le1_it3_mmseLS,Le2_it3_mmseLS,nr_erori3_mmseLS,biti_estimati3_mmseLS]=ite
ratie(g,MesajIn,In_dec_mmseLS,Lc, marime_bloc,
Le1_it2_mmseLS,Le2_it2_mmseLS,poz);

Nr_erori_iteratia_3_mmseLS=Nr_erori_iteratia_3_mmseLS+nr_erori3_mmseLS;
%_____
%iteratia 4

[Le1_it4_mmseLS,Le2_it4_mmseLS,nr_erori4_mmseLS,biti_estimati4_mmseLS]=ite
ratie(g,MesajIn,In_dec_mmseLS,Lc, marime_bloc,
Le1_it3_mmseLS,Le2_it3_mmseLS,poz);

Nr_erori_iteratia_4_mmseLS=Nr_erori_iteratia_4_mmseLS+nr_erori4_mmseLS;
%_____
%iteratia 5

[Le1_it5_mmseLS,Le2_it5_mmseLS,nr_erori5_mmseLS,biti_estimati5_mmseLS]=ite
ratie(g,MesajIn,In_dec_mmseLS,Lc, marime_bloc,
Le1_it4_mmseLS,Le2_it4_mmseLS,poz);

Nr_erori_iteratia_5_mmseLS=Nr_erori_iteratia_5_mmseLS+nr_erori5_mmseLS;

    numar_secvente_generate=numar_secvente_generate+1; % numarul de
secvente generate
end
    numar_bit_i_generati=numar_secvente_generate*marime_mesaj;
ber1_mmse(i_ber)=Nr_erori_iteratia_1_mmse/numar_bit_i_generati;
ber2_mmse(i_ber)=Nr_erori_iteratia_2_mmse/numar_bit_i_generati;
ber3_mmse(i_ber)=Nr_erori_iteratia_3_mmse/numar_bit_i_generati;
ber4_mmse(i_ber)=Nr_erori_iteratia_4_mmse/numar_bit_i_generati;
ber5_mmse(i_ber)=Nr_erori_iteratia_5_mmse/numar_bit_i_generati;
ber6_mmse(i_ber)=nr_erori_mmse/numar_bit_i_generati;
ber1_mmseLS(i_ber)=Nr_erori_iteratia_1_mmseLS/numar_bit_i_generati;
ber2_mmseLS(i_ber)=Nr_erori_iteratia_2_mmseLS/numar_bit_i_generati;
ber3_mmseLS(i_ber)=Nr_erori_iteratia_3_mmseLS/numar_bit_i_generati;
ber4_mmseLS(i_ber)=Nr_erori_iteratia_4_mmseLS/numar_bit_i_generati;
ber5_mmseLS(i_ber)=Nr_erori_iteratia_5_mmseLS/numar_bit_i_generati;
ber6_mmseLS(i_ber)=nr_erori_mmseLS/numar_bit_i_generati;
end
figure;

```

```

semilogy(EbN0_db_vect,ber1_mmse,'ms-',EbN0_db_vect,ber2_mmse,'k^-',EbN0_db_vect,ber3_mmse,'gv-',EbN0_db_vect,ber4_mmse,'ok-',EbN0_db_vect,ber5_mmse,'dr-',EbN0_db_vect,ber6_mmse,'b<-', 'linewidth',2);
xlabel('Eb/No, dB','FontSize',14)
ylabel('BER','FontSize',14)
hold on
semilogy(EbN0_db_vect,ber1_mmseLS,'ms-.',EbN0_db_vect,ber2_mmseLS,'k^-',EbN0_db_vect,ber3_mmseLS,'gv-.',EbN0_db_vect,ber4_mmseLS,'ok-.',EbN0_db_vect,ber5_mmseLS,'dr-.',EbN0_db_vect,ber6_mmseLS,'b<-.', 'linewidth',2);
grid on
hold off
legend('iteratia1-mmse','iteratia2-mmse','iteratia3-mmse','iteratia4-mmse','iteratia5-mmse','nedecodat-mmse','iteratia1-mmseLS','iteratia2-mmseLS','iteratia3-mmseLS','iteratia4-mmseLS','iteratia5-mmseLS','nedecodat-mmseLS')

```

Funcții utilizate in cadrul programului:

1. canal.m

```

function [y] = canal(h,N,s,Eb_N0_dB)

K=3;
L = length(h);
iesire_canal = conv(s,h);
n = 1/sqrt(2)*[randn(1,N+length(h)-1) + j*randn(1,N+length(h)-1)];% zgomot
y = iesire_canal + 10^(-Eb_N0_dB/20)*n;
end

```

2. egalizare_zf_mmse.m

```

function [biti_est_zf,biti_est_mmse] =egalizare_zf_mmse(y,h,N,Eb_N0_dB);

L = length(h);
K=3;

% egalizare ZF
H = toeplitz([h([2:end]) zeros(1,2*K+1-L+1)], [ h([2:-1:1]) zeros(1,2*K+1-L+1) ]);
d = zeros(1,2*K+1);
d(K+1) = 1;
c_zf = [inv(H)*d.'];
y_zf = conv(y,c_zf);
y_zf = y_zf(K+2:end);
y_zf = conv(y_zf,ones(1,1)); % convolutie
y_esant_zf = y_zf(1:1:N); % esantionare

```

```

% egalizare MMSE
autocor_h = conv(h,flipr(h));
H = toeplitz([autocor_h([3:end]) zeros(1,2*K+1-L)], [ autocor_h([3:end])
zeros(1,2*K+1-L) ]);
H = H + 1/2*10^(-Eb_NO_dB/10)*eye(2*K+1);
d = zeros(1,2*K+1);
d([-1:1]+K+1) = flipr(h);
c_mmse = [inv(H)*d.'].';
y_mmse = conv(y,c_mmse);
y_mmse = y_mmse(K+2:end);
y_mmse = conv(y_mmse,ones(1,1)); % convolutie
y_esant_mmse = y_mmse(1:1:N); % esantionare
% decizie
biti_est_zf = real(y_esant_zf)>0;
biti_est_mmse = real(y_esant_mmse)>0;

```

3. estimare0_LS.m

```

function [h_est]=estimare0_LS(secventa_test,y)
Nr=3;%lungimea lui h
% se face modularea
secv_test_mod_BPSK=2*secventa_test-1;
x=secv_test_mod_BPSK;

Xc=zeros(1,length(x)+ Nr-1);
for i=1:length(x)
    Xc(i)=x(i);
end
Xr=zeros(1,Nr);
Xr(1)=x(1);
Xr=Xr';
X = toeplitz(Xc,Xr);
h_est = inv(X.*X) * X.' * y';
h_est=real(h_est');

```

4. estimare_LS.m

```

function [h_est]=estimare_LS(marime_bloc,secventa_rec,y,g,poz)
%----- Codor -----
IesireTurboCodorLS = TurboCodor(g, secventa_rec, poz);
bitiicodatiLS= zeros(1,3*length(IesireTurboCodorLS(1,:)));
for i=1:marime_bloc
bitiicodatiLS(3*i-2:3*i) = (IesireTurboCodorLS(:,i)');
end
bitiicodatiLS;
Simb_codateLS = 2*bitiicodatiLS - 1;
N=length(bitiicodatiLS);
Nr=3;%lungimea lui h
x=Simb_codateLS;
Xc=zeros(1,length(x)+ Nr-1);

```

```

for i=1:length(x)
    Xc(i)=x(i);
end
Xr=zeros(1,Nr);
Xr(1)=x(1);
Xr=Xr';
X = toeplitz(Xc,Xr);
h_est = inv(X.'*X) * X.' * y';
h_est=real(h_est');

```

5. iteratie.m

```

function[Le1,Le2,nr_erori,X_obt]=iteratie(g,MesajIn,In_dec_cu_zgomot,Lc,marime_
bloc,apriori1,extrinsec2,poz)
    % Primul decodor
    apriori1(poz) = extrinsec2;
    %-----Iesirea primului decodor
    [LMAP1 extrinsec1] = TurboDecodor1(g, In_dec_cu_zgomot,Lc, marime_bloc,
apriori1);
    %-----Stocarea valorii extrinsec1 in Le1
    Le1 = extrinsec1;
    % Al doilea decodor
    apriori2 = extrinsec1(poz);
    %-----Iesirea celui de-al doile decodor
    [LMAP2 extrinsec2] = TurboDecodor2(g, In_dec_cu_zgomot,Lc, marime_bloc,
apriori2, poz);
    %-----Stocarea valorii extrinsec2 in Le2
    Le2 = extrinsec2;
    X_obt=(LMAP1(1:end-2)>0)';
    dif=MesajIn-X_obt;
    nr_erori=sum(abs(dif));

```

6. trellis.m

```

function [matricea_trellis, matricea_paritate] = trellis(cod_g);
[n,K] = size(cod_g);
m = K - 1;
num_starilor = 2^m;
matricea_trellis= zeros(num_starilor);
matricea_paritate= zeros(num_starilor);
for s=1: num_starilor
    cont_zec_s=s-1 ;
    i=1;
    while cont_zec_s >=0 & i<=m
        cont_bin_s(i) = rem( cont_zec_s,2); %restul impartirii la 2
        cont_zec_s = (cont_zec_s- cont_bin_s(i))/2;
        i=i+1;
    end
    cont_bin_s=cont_bin_s(m:-1:1);

```

```

% urmatoarea stare cand intrarea este zero
a = rem( cod_g(1,:)*[0 cont_bin_s ]', 2 );
v = cod_g(2,1)*a;
for j = 1:K-1
    v = xor(v, cod_g(2,j+1)*cont_bin_s(j)); %suma modulo 2
end;
starea0 = [a cont_bin_s(1:m-1)];
d=2.^(m-1:-1:0);
j=starea0*d'+1;
matricea_trellis(s,j)= -1;
matricea_paritate(s,j)= 2*v-1;
% urmatoarea stare cand intrarea este 1
a = rem( cod_g(1,:)*[1 cont_bin_s]', 2 );
v = cod_g(2,1)*a;
for j = 1:K-1
    v = xor(v, cod_g(2,j+1)*cont_bin_s(j));
end;
starea1 = [a cont_bin_s(1:m-1)];
d=2.^(m-1:-1:0);
j=starea1*d'+1;
matricea_trellis(s,j)= 1;
matricea_paritate(s,j)= 2*v-1;
end

```

7. TurboCodor.m

```

function IesireTurboCodor = TurboCodor(g, MesajIn, poz);
% parametri polinomului generator
[n,K] = size(g);
% numarul starilor este m
m = K-1;
% seteaza starile la zero
stare = zeros(1,m);
[b,lungime]=size(MesajIn);
iesirecodor11=[];
iesirecodor12=[];
iesirecodor22=[];
for x=1:lungime+m
    if x<=lungime
        mes=MesajIn(1,x);
    else
        mes=rem(g(1,2:K)*(stare)',2);
    end
    intrare=rem(g(1,:)*([mes stare])',2);
    for i=1:n
        iesire(i) = g(i,1)*intrare;
        for j = 2:K
            temp=g(i,j)*stare(j-1);
            iesire(i) = xor(iesire(i),temp);
        end;
    end
end

```

```

    stare = [intrare, stare(1:m-1)];
    iesirecodor11=[iesirecodor11,mes];
    iesirecodor12=[iesirecodor12,iesire(i)];

end
% codor 2
for x=1:lungime+m
    mesajintretesut=iesirecodor11(1,poz(1,x));
    intrare=rem(g(1,:)*([mesajintretesut stare])',2);
    for i=1:n
        iesire(i) = g(i,1)*intrare;
        for j = 2:K
            temp=g(i,j)*stare(j-1);
            iesire(i) = xor(iesire(i),temp);
        end;
        if i==1
            temp1=iesire(i);
        end
    end
    stare = [intrare, stare(1:m-1)];
    % concateneaza noul element
    iesirecodor22=[iesirecodor22,iesire(2)];
end
IesireTurboCodor = [ iesirecodor11;
                    iesirecodor12;
                    iesirecodor22 ];

```

8. TurboDecodor1.m

```

function [LMAP LE] = TurboDecodor1(g, In_dec_cu_zgomot,Lc, marime_bloc,
apriori)
x=In_dec_cu_zgomot(1,:);
p1=In_dec_cu_zgomot(2,:);
% parametrii generatorului polinomial
[n,K] = size(g);
% dimensiunea memoriei
m = K-1;
% numarul starilor
nr_stari=2^m;
[matricea_trelis, matricea_paritate]= trellis(g);
LMAP=zeros(marime_bloc,1);
LE=zeros(marime_bloc,1);
%Initializarea Decodorului
alpha= zeros(nr_stari,marime_bloc+1);
alpha(1,1)=1;
beta= zeros(nr_stari,marime_bloc+1);
beta(1,end)=1;
gamma(1,1:marime_bloc)= struct('matricea_gamma',zeros(size(matricea_trelis)));
for k=1:marime_bloc

```

```

    gamma(k).matricea_gamma= exp(1/2*(matricea_trelis.*(apriori(k) + Lc*x(k)')
+ Lc*matricea_paritate.*p1(k)'));
    gamma(k).matricea_gamma= gamma(k).matricea_gamma.*(matricea_trelis>0 |
matricea_trelis<0);
end
%Calculul lui alpha1
for k=1:marime_bloc
    alpha(:,k+1)= (gamma(k).matricea_gamma)*(alpha(:,k));
    alpha(:,k+1)=alpha(:,k+1)/sum(alpha(:,k+1));
end
%Calcularea lui beta1
for k=marime_bloc:-1:1
    beta(:,k)=(gamma(k).matricea_gamma)*(beta(:,k+1));
    beta(:,k)=beta(:,k)/sum(beta(:,k));
end

for k=1:marime_bloc

sumSplus=alpha(:,k)*(gamma(k).matricea_gamma.*(matricea_trelis>0))*beta(:,k
+1);

sumSminus=alpha(:,k)*(gamma(k).matricea_gamma.*(matricea_trelis<0))*beta(
(:,k+1);
    LMAP(k)=log(sumSplus/sumSminus);
end

LE=LMAP-apriori-Lc*x';

end

```

9. TurboDecodor2.m

```

function [LMAP LE] = TurboDecodor2(g, In_dec_cu_zgomot,Lc, marime_bloc, apriori,
poz);
x=In_dec_cu_zgomot(1,poz);
%p1=In_dec_cu_zgomot(2,:);
p2=In_dec_cu_zgomot(3,:);
% parametrii polinomului generator
[n,K] = size(g);
% marimea memoriei
m = K-1;
% numarul starilor
nr_stari=2^m;
[matricea_trelis, matricea_paritate]= trellis(g);
LMAP=zeros(marime_bloc,1);
LE=zeros(marime_bloc,1);
%Initializare decodor MAP2
alpha= zeros(nr_stari,marime_bloc+1);
alpha(1,1)=1;
beta= zeros(nr_stari,marime_bloc+1);
beta(:,end)=1/(nr_stari)*ones(nr_stari,1);

```

```

gamma(1,1:marime_bloc)= struct('matricea_gamma',zeros(size(matricea_trelis)));
gammaE(1,1:marime_bloc)=
struct('matricea_gamma',zeros(size(matricea_trelis)));

for k=1:marime_bloc
    gamma(k).matricea_gamma= exp(1/2*(matricea_trelis.*(apriori(k) + Lc*x(k))'
+ Lc*matricea_paritate.*p2(k)));
    gamma(k).matricea_gamma= gamma(k).matricea_gamma.*(matricea_trelis>0 |
matricea_trelis<0);
end

for k=1:marime_bloc
    alpha(:,k+1)= (gamma(k).matricea_gamma)*(alpha(:,k));
    alpha(:,k+1)=alpha(:,k+1)/sum(alpha(:,k+1));
end
for k=marime_bloc:-1:1
    beta(:,k)= (gamma(k).matricea_gamma)'*(beta(:,k+1));
    beta(:,k)=beta(:,k)/sum(beta(:,k));
end

for k=1:marime_bloc

sumSplus=alpha(:,k)*(gamma(k).matricea_gamma.*(matricea_trelis>0))*beta(:,k
+1);

sumSminus=alpha(:,k)*(gamma(k).matricea_gamma.*(matricea_trelis<0))*beta(
(:,k+1);
    LMAP(k)=log(sumSplus/sumSminus);
end
LE=LMAP-apriori-Lc*x';
end

```


Anexa 2

```
%Egalizor turbo cu estimare LS
%(atat estimarea initiala cat si iterativa)

% ber.m
clear all;
close all;
clc;
Eb=2; %energia bitului
EbN0_db =[0:6]; % SNR
EbN0=10.^(EbN0_db/10);
No=Eb./EbN0;
varianta=No./2;
h=[0.302 0.725 0.456];
lungimea_secventei_de_date =128;
nr_max_de_erori=100;

for i=1:length(EbN0_db)
    Nr_erori_iteratia_0=0;
    Nr_erori_iteratia_1=0;
    Nr_erori_iteratia_2=0;
    Nr_erori_iteratia_3=0;
    Nr_erori_iteratia_4=0;
    Nr_erori_iteratia_5=0;
    Nr_erori_iteratia_1LS=0;
    Nr_erori_iteratia_2LS=0;
    Nr_erori_iteratia_3LS=0;
    Nr_erori_iteratia_4LS=0;
    Nr_erori_iteratia_5LS=0;

    numar_secvente_generate=0;
    while Nr_erori_iteratia_5LS<nr_max_de_erori
%
% iteratia 0
[bitii_transmisi,simboluri_codate,Lapos_dec_a0,Lapos_dec_b0,...
Lex_deint_apriori_dec0,y,numar_erori0,rata0,y1,h_est]=...
iteratia_0(varianta(i),lungimea_secventei_de_date,h);
Nr_erori_iteratia_0=Nr_erori_iteratia_0+numar_erori0;
%
%o iteratie
[Lapos_dec_a1,Lapos_dec_b1,Lex_deint_apriori_dec1,...
numar_erori1,rata1]=iteratia_N(varianta(i),...
Lapos_dec_a0,Lex_deint_apriori_dec0,y,bitii_transmisi,h_est);
Nr_erori_iteratia_1=Nr_erori_iteratia_1+numar_erori1;
%
%doua iteratii
[Lapos_dec_a2,Lapos_dec_b2,Lex_deint_apriori_dec2,...
```

```

numar_erori2,rata2]=iteratia_N(varianta(i),...
Lapos_dec_a1,Lex_deint_apriori_dec1,y,bitii_transmisi,h_est);
Nr_erori_iteratia_2=Nr_erori_iteratia_2+numar_erori2 ;
%
%trei iteratii
[Lapos_dec_a3,Lapos_dec_b3,Lex_deint_apriori_dec3,...
numar_erori3,rata3]=iteratia_N(varianta(i),...
Lapos_dec_a2,Lex_deint_apriori_dec2,y,bitii_transmisi,h_est);
Nr_erori_iteratia_3=Nr_erori_iteratia_3+numar_erori3;
%
%patru iteratii
[Lapos_dec_a4,Lapos_dec_b4,Lex_deint_apriori_dec4,...
numar_erori4,rata4]=iteratia_N(varianta(i),...
Lapos_dec_a3,Lex_deint_apriori_dec3,y,bitii_transmisi,h_est);
Nr_erori_iteratia_4=Nr_erori_iteratia_4+numar_erori4;
%
%cinci iteratii
[Lapos_dec_a5,Lapos_dec_b5,Lex_deint_apriori_dec5,...
numar_erori5,rata5]=iteratia_N(varianta(i),...
Lapos_dec_a4,Lex_deint_apriori_dec4,y,bitii_transmisi,h_est);
Nr_erori_iteratia_5=Nr_erori_iteratia_5+numar_erori5;

%cu estimare LS
%
% iteratia 0
h_est0LS=estimare_LS(Lapos_dec_b0,y1)
%
%o iteratie
[Lapos_dec_a1LS,Lapos_dec_b1LS,Lex_deint_apriori_dec1LS,...
numar_erori1LS,rata1LS]=iteratia_N(varianta(i),...
Lapos_dec_a0,Lex_deint_apriori_dec0,y,bitii_transmisi,h_est0LS);
Nr_erori_iteratia_1LS=Nr_erori_iteratia_1LS+numar_erori1LS;
h_est1LS=estimare_LS(Lapos_dec_b1LS,y1)
%
%doua iteratii
[Lapos_dec_a2LS,Lapos_dec_b2LS,Lex_deint_apriori_dec2LS,...
numar_erori2LS,rata2LS]=iteratia_N(varianta(i),...
Lapos_dec_a1LS,Lex_deint_apriori_dec1LS,...
y,bitii_transmisi,h_est1LS);
Nr_erori_iteratia_2LS=Nr_erori_iteratia_2LS+numar_erori2LS ;
h_est2LS=estimare_LS(Lapos_dec_b2LS,y1)
%
%trei iteratii
[Lapos_dec_a3LS,Lapos_dec_b3LS,Lex_deint_apriori_dec3LS,...
numar_erori3LS,rata3LS]=iteratia_N(varianta(i),...
Lapos_dec_a2LS,Lex_deint_apriori_dec2LS,...
y,bitii_transmisi,h_est2LS);
Nr_erori_iteratia_3LS=Nr_erori_iteratia_3LS+numar_erori3LS;
h_est3LS=estimare_LS(Lapos_dec_b3LS,y1)
%
%patru iteratii

```

```

[Lapos_dec_a4LS,Lapos_dec_b4LS,Lex_deint_apriori_dec4LS,...
numar_erori4LS,rata4LS]=iteratia_N(varianta(i),...
Lapos_dec_a3LS,Lex_deint_apriori_dec3LS,...
y,bitii_transmisi,h_est3LS);
Nr_erori_iteratia_4LS=Nr_erori_iteratia_4LS+numar_erori4LS;
h_est4LS=estimare_LS(Lapos_dec_b4LS,y1)
%_____
%cinci iteratii
[Lapos_dec_a5LS,Lapos_dec_b5LS,Lex_deint_apriori_dec5LS,...
numar_erori5LS,rata5LS]=iteratia_N(varianta(i),...
Lapos_dec_a4LS,Lex_deint_apriori_dec4LS,...
y,bitii_transmisi,h_est4LS);
Nr_erori_iteratia_5LS=Nr_erori_iteratia_5LS+numar_erori5LS;
h_est5LS=estimare_LS(Lapos_dec_b5LS,y1)
numar_secvente_generate=numar_secvente_generate+1;
end
numar_bitii_generati=numar_secvente_generate...
*lungimea_secventei_de_date;

ber0(i)=Nr_erori_iteratia_0/numar_bitii_generati;
ber1(i)=Nr_erori_iteratia_1/numar_bitii_generati;
ber2(i)=Nr_erori_iteratia_2/numar_bitii_generati;
ber3(i)=Nr_erori_iteratia_3/numar_bitii_generati;
ber4(i)=Nr_erori_iteratia_4/numar_bitii_generati;
ber5(i)=Nr_erori_iteratia_5/numar_bitii_generati;
ber1LS(i)=Nr_erori_iteratia_1LS/numar_bitii_generati;
ber2LS(i)=Nr_erori_iteratia_2LS/numar_bitii_generati;
ber3LS(i)=Nr_erori_iteratia_3LS/numar_bitii_generati;
ber4LS(i)=Nr_erori_iteratia_4LS/numar_bitii_generati;
ber5LS(i)=Nr_erori_iteratia_5LS/numar_bitii_generati;
end

semilogy(EbN0_db,ber0,'b<-',EbN0_db,ber1,'k^-',...
EbN0_db,ber2,'gv-',EbN0_db,ber3,'ok-',EbN0_db,...
ber4,'ms-',EbN0_db,ber5,'dr-',EbN0_db,ber0,...
'b<-.',EbN0_db,ber1LS,'k^-.',EbN0_db,ber2LS,...
'gv-',EbN0_db,ber3LS,'ok-',EbN0_db,ber4LS,...
'ms-',EbN0_db,ber5LS,'dr-', 'linewidth',2);

grid on;
legend('iteratia0','iteratia1','iteratia2',...
'iteratia3','iteratia4','iteratia5',...
'iteratia0LS','iteratia1LS','iteratia2LS',...
'iteratia3LS','iteratia4LS','iteratia5LS');
xlabel('E_b/N_0','FontSize',14);
ylabel('BER','FontSize',14);

```

Funcții utilizate în cadrul programului ber.m

1. calc_erorii.m

```
%calculul erorii de bit
function [numar_erori,rata]=calc_erorii(Secventa_rec,bitii_transmisi)

for i=1:length(Secventa_rec)
    if Secventa_rec(i)>=0
        bit_dec(i)=1;
    elseif Secventa_rec(i)<0
        bit_dec(i)=0;
    end
end
[numar_erori,rata]=biterr(bit_dec,bitii_transmisi);
```

2. canal.m

```
%face modularea BPSK a semnalului codat care
%apoi este trecut printr-un canal avand raspunsul h
%la semnal se mai adauga si zgomotul rezultand semnalul y
function [y,y1]=canal(simb_cod_int,h,varianta,amplitudinea)
%simb_cod_intr-sunt simbolurile de la iesirea codorului
%h-raspunsul canalului
Nr=length(h);
N=length(simb_cod_int);
Secventa=simb_cod_int;
Secventa_cu_zero=[zeros(1,Nr-1) Secventa];
Secveta_mod_BPSK=2*Secventa-1; %moduleaza BPSK Secventa
Secventa_cu_zero_mod_BPSK=2*Secventa_cu_zero-1;
Prod_conv=amplitudinea*conv(h,Secventa_cu_zero_mod_BPSK);
y=zeros(1,length(Secventa_cu_zero_mod_BPSK)-(Nr-1));
%generarea zgomotului
randn('state',0);
n=randn(length(Prod_conv),1)*sqrt(varianta);
y1=Prod_conv+n';
for i=Nr:length(Secventa_cu_zero_mod_BPSK)
    v(i-(Nr-1))=y1(i);
end
y=v';
```

3. canal_fara_zg.m

```
%aceasta functie este utilizata pentru a determina
%matricea iesire la egalizor

function [y]=canal_fara_zg(secventa_test,h_est,amplitudinea)
```

```

%secventa_test-sunt simbolurile generate
%pentru determinarea tranzitiilor
Nr=length(h_est);
N=length(secventa_test);
Secventa=secventa_test;
Secventa_cu_zero=[zeros(1,Nr-1) Secventa];
Secveta_mod_BPSK=2*Secventa-1;
Secventa_cu_zero_mod_BPSK=2*Secventa_cu_zero-1;
Prod_conv=amplitudinea*conv(h_est,Secventa_cu_zero_mod_BPSK);
y=zeros(1,length(Secventa_cu_zero_mod_BPSK)-(Nr-1));
for i=Nr:length(Secventa_cu_zero_mod_BPSK)
    v(i-(Nr-1))=Prod_conv(i);
end
y=v'

```

4. codare.m

```

%codarea de canal
function iesire=codare(K,g1,g2,Secventa_intrare)
%Codare cod convolutional
clear iesire;
clear intrare;
n=2;
[trel]=trellis(K,g1,g2);
size=K-1;
intrare=[Secventa_intrare zeros(1,size)] ;
iesire=zeros(1,n*length(intrare));

if intrare(1)==0
    a=fliplr(de2bi(trel.iesire(1,1)));
    if isempty(a)==1
        a=[0 0];
    end
    if length(a)<n
        a=[zeros(1,2-length(a)) a];
    end
    stare=trel.state(1,1);
elseif intrare(1)==1
    a=fliplr(de2bi(trel.iesire(1,2)));
    if isempty(a)==1
        a=[0 0];
    end
    if length(a)<n
        a=[zeros(1,2-length(a)) a];
    end
    stare=trel.state(1,2);
end
iesire=[a];
for i=2:length(intrare)
    if intrare(i)==0

```

```

    a=fliplr(de2bi(trel.iesire(stare+1,1)));
    if isempty(a)==1
        a=[0 0];
    end
    if length(a)<n
        a=[zeros(1,2-length(a)) a];
    end
    stare=trel.state(stare+1,1);

elseif intrare(i)==1
    a=fliplr(de2bi(trel.iesire(stare+1,2)));
    if isempty(a)==1
        a=[0 0];
    end
    if length(a)<n
        a=[zeros(1,2-length(a)) a];
    end

    stare=trel.state(stare+1,2);
end
iesire=[iesire a];
end

```

5. conversie.m

```

function [C0,C1]=conversie(Secventa)
    C0=zeros(1,length(Secventa));
    for i=1:length(Secventa)
        C0(i)=exp(-Secventa(i))/(1+exp(-Secventa(i)));
    end
    C1=zeros(1,length(Secventa));
    for i=1:length(Secventa)
        C1(i)=1/(1+exp(-Secventa(i)));
    end

```

6. decod_canal.m

```

% decodor de canal
%Lapos_dec_b-este informatia a-posteriori generata de decodor
%din care rezulta bitii sursa(sistenatici) estimati
%Lapos_dec_a-este informatia a-posteriori provenita
% de la decodor care se va utiliza la determinarea informatiei
% a-priori pentru egalizor
function [Lapos_dec_b,Lapos_dec_a] =...
    decod_canal(C1,C0,lungimea_secventei_receptionate)
lungimea_secventei_transmise=...
    length(lungimea_secventei_receptionate)/2;
gamma=zeros(4,4,lungimea_secventei_transmise);
l=1;
for i=1:lungimea_secventei_transmise
    gamma(:,:,i)=.5*[C0(l)*C0(l+1),C1(l)*C1(l+1),0,0;

```

```

        0,0,C1(l)*C0(l+1),C0(l)*C1(l+1);
        C1(l)*C1(l+1),C0(l)*C0(l+1),0,0;
        0,0,C0(l)*C1(l+1),C1(l)*C0(l+1)];
    l=l+2;
end
nr_stari=4;          %Numarul de stari
A1=[0 1 0 0;0 0 1 0;1 0 0 0;0 0 0 1];
A0=[1 0 0 0;0 0 0 1;0 1 0 0;0 0 1 0];
B1_d1=zeros(4,4,lungimea_secventei_transmise);
B0_d0=zeros(4,4,lungimea_secventei_transmise);
numarator_d1=zeros(1,lungimea_secventei_transmise);
numitor_d1=zeros(1,lungimea_secventei_transmise);

%Initializare vector F utilizand recursivitatea înainte
F=zeros(nr_stari,1,lungimea_secventei_transmise+1);
F(:,1,1)=[1;0;0;0] ;
C(1)=1;
%F calculat recursiv
for i=1:lungimea_secventei_transmise
    F(:,1,i+1)=gamma(:,i)*F(:,1,i);
    C(i+1)=sum(F(:,1,i+1));
    F(:,1,i+1)=F(:,1,i+1)./C(i+1);
end

%Initializare vector G utilizand recursivitatea înapoi
G=zeros(nr_stari,1,lungimea_secventei_transmise+1);
G(:,1,lungimea_secventei_transmise+1)=[1;1;1;1];
%calcul vector G
for i=lungimea_secventei_transmise:-1:1
    G(:,1,i)=gamma(:,i)*G(:,1,i+1);
    h(i)=sum(G(:,1,i));
    G(:,1,i)=G(:,1,i)./h(i);
end
for n=1:lungimea_secventei_transmise
    B1_d1(:,n)=A1.*gamma(:,n);
    B0_d0(:,n)=A0.*gamma(:,n);
end
LLR_d1=zeros(1,lungimea_secventei_transmise);
for l=1:lungimea_secventei_transmise
    numarator_d1(l)=F(:,l)*B1_d1(:,l)*G(:,l+1);
    numitor_d1(l)=F(:,l)*B0_d0(:,l)*G(:,l+1);
    LLR_d1(l)=log((numarator_d1(l))/(numitor_d1(l)));
end

for i=1:lungimea_secventei_transmise
    if LLR_d1(i)>=0
        d1(i)=1;
    else
        d1(i)=-1;
    end
end
end
%nr_stari=4;          %Numarul de stari

```

```

A1=[0 1 0 0;0 0 0 1;1 0 0 0;0 0 1 0];
A0=[1 0 0 0;0 0 1 0;0 1 0 0;0 0 0 1];

B1_d1=zeros(4,4,lungimea_secventei_transmise);
B0_d0=zeros(4,4,lungimea_secventei_transmise);
numarator_d2=zeros(1,lungimea_secventei_transmise);
numitor_d2=zeros(1,lungimea_secventei_transmise);
for n=1:lungimea_secventei_transmise
    B1_d1(:,:,n)=A1.*gamma(:,:,n);
    B0_d0(:,:,n)=A0.*gamma(:,:,n);
end
LLR_d2=zeros(1,lungimea_secventei_transmise);
for l=1:lungimea_secventei_transmise
    numarator_d2(l)=F(:,:,l)*B1_d1(:,:,l)*G(:,:,l+1);
    numitor_d2(l)=F(:,:,l)*B0_d0(:,:,l)*G(:,:,l+1);
    LLR_d2(l)=log((numarator_d2(l))/(numitor_d2(l)));
end
for i=1:lungimea_secventei_transmise
    if LLR_d2(i)>=0
        d2(i)=1;
    else
        d2(i)=-1;
    end
end
concatenare=0;
for n=1:lungimea_secventei_transmise
    concatenare=[concatenare LLR_d1(n) LLR_d2(n)];
end
Lapos_dec_a=concatenare...
(2:length(lungimea_secventei_receptionate)+1);
%LLR-ul generat la iesirea decodurului
%nr_stari=4;
A1=[0 1 0 0;0 0 0 1;0 1 0 0;0 0 0 1];
A0=[1 0 0 0;0 0 1 0;1 0 0 0;0 0 1 0];

B1_d1=zeros(4,4,lungimea_secventei_transmise);
B0_d0=zeros(4,4,lungimea_secventei_transmise);
numarator_db=zeros(1,lungimea_secventei_transmise);
numitor_db=zeros(1,lungimea_secventei_transmise);
for n=1:lungimea_secventei_transmise
    B1_d1(:,:,n)=A1.*gamma(:,:,n);
    B0_d0(:,:,n)=A0.*gamma(:,:,n);
end
Lapos_dec_b=zeros(1,lungimea_secventei_transmise);
for l=1:lungimea_secventei_transmise
    numarator_db(l)=F(:,:,l)*B1_d1(:,:,l)*G(:,:,l+1);
    numitor_db(l)=F(:,:,l)*B0_d0(:,:,l)*G(:,:,l+1);
    Lapos_dec_b(l)=log((numarator_db(l))/(numitor_db(l)));
end

```


7. deintretesere.m

```
function deintretesere=...
    deintretesere(Secventa,lungimea_secventei_de_date)
a=0;
matricea_de_deintretesere=reshape(Secventa,sqrt...
(2*lungimea_secventei_de_date),sqrt...
(2*lungimea_secventei_de_date));
[nr_linii,nr_coloane]=size(matricea_de_deintretesere);
for i=1:nr_linii
    a=[a matricea_de_deintretesere(i,:)];
end
deintretesere=a(2:(1+2*lungimea_secventei_de_date));
```

8. det_prag.m

```
%detectie prag
function [biti_obtinuti]=det_prag(Secventa_rec)

for i=1:length(Secventa_rec)
    if Secventa_rec(i)>=0
        bit_dec(i)=1;
    elseif Secventa_rec(i)<0
        bit_dec(i)=0;
    end
end
biti_obtinuti= bit_dec;
```

9. egalizor_it0.m

```
%egalizor MAP iteratia 0

function [Lex,date_estimate]=egalizor_it0(y,varianta,h_est)
%iesire=[1->1,1->2, 0 0;
% 0 0 2->3 2->4; % tranzitiile posibile
% 3->1,3->2, 0 0;
% 0 0 4->3 4->4];

%starile sunt 00->1; 01->2 ; 10->3 11->4

Secventa=[0 1 0 0 1 1 0 1 1 1 0 0 0];%este secventa pe baza careia se
construieste matricea iesire

%succesiunea starilor este urmatoarea(iau grupuri de cate doua):
% 1->2->3->1->2->4->3->2->4->4->3->1->1
%se observa ca avem toate combinatiile necesare pentru matricea iesire
%aceasta 'secventa' se trece prin functie canal
%este important ca zgomotul prin canal sa fie 0 cand construiesc aceasta
matrice
amplitudinea=1;
```

```

[y_iesire]=canal_fara_zg(Secventa,h_est,amplitudinea);

iesire=zeros(4,4);
iesire(1,1)=y_iesire(1);
iesire(1,2)=y_iesire(2);
iesire(2,3)=y_iesire(3);
iesire(2,4)=y_iesire(6);
iesire(3,1)=y_iesire(4);
iesire(3,2)=y_iesire(8);
iesire(4,3)=y_iesire(7);
iesire(4,4)=y_iesire(10);
nr_stari=4; %Numarul starilor
G=zeros(4,4,length(y));

A1=[0 1 0 0;0 0 0 1;0 1 0 0;0 0 0 1];
A0=[1 0 0 0;0 0 1 0;1 0 0 0;0 0 1 0];

pozitie=[1 1 0 0;0 0 1 1;1 1 0 0;0 0 1 1];
gamma=zeros(4,4,length(y));
B1=zeros(4,4,length(y));
B0=zeros(4,4,length(y));
numarator=zeros(1,length(y));
numitor=zeros(1,length(y));

%calculul gamma
for k=1:length(y)
    for i=1:4
        for j=1:4
            argument=-(y(k)-iesire(i,j))^2;

            G(i,j,k)=exp(argument/(2*varianta))*pozitie(i,j);

        end
    end
end
gamma=G;

N=length(y)+1;

%recursivitate inainte ; initializare vector f
f=zeros(nr_stari,1,N);
f(:,1,1)=[1;0;0;0] ;
c=zeros(1,N);
c(1)=1;
%Calculul recursiv înainte a vectorului f
for i=1:(N-1)
    f(:,1,i+1)=gamma(:,i)*f(:,1,i);
    c(i+1)=sum(f(:,1,i+1));
    f(:,1,i+1)=f(:,1,i+1)./c(i+1);
end
%recursivitate inapoi; initializare vector b

```

```

b=zeros(nr_stari,1,N);
b(:,1,N)=[1;1;1;1];
%Calculul vectorului b
for i=(N-1):-1:1
    b(:,1,i)=gamma(:,i)*b(:,1,i+1);
    h(i)=sum(b(:,1,i));
    b(:,1,i)=b(:,1,i)/h(i);
end
for n=1:length(y)
    B1(:,n)=A1.*gamma(:,n);
    B0(:,n)=A0.*gamma(:,n);
end
date_estimate=zeros(1,N-1);
for k=1:(N-1)
    numarator(k)=f(:,k)'*B1(:,k)*b(:,k+1);
    numitor(k)=f(:,k)'*B0(:,k)*b(:,k+1);
    Lex(k)=log((numarator(k))/(numitor(k)));
end
for i=1:length(y)
    if Lex(i)>=0
        date_estimate(i)=1;
    elseif Lex(i)<0
        date_estimate(i)=-1;
    end
end
end

```

10. egalizor_itN.m

```

% egalizor MAP iteratia N
%Lex-informatia extrinseca la iesirea din egalizor
function [Lex,secventa_estimata]=...
    egalizor_itN(y,varianta,C1egalizor,C0egalizor,h_est)

Secventa=[0 1 0 0 1 1 0 1 1 1 0 0 0];%este secventa pe baza
%careia se construiesc matricea iesire

amplitudinea=1;
[y_iesire]=canal_fara_zg(Secventa,h_est,amplitudinea);
iesire=zeros(4,4);
iesire(1,1)=y_iesire(1);
iesire(1,2)=y_iesire(2);
iesire(2,3)=y_iesire(3);
iesire(2,4)=y_iesire(6);
iesire(3,1)=y_iesire(4);
iesire(3,2)=y_iesire(8);
iesire(4,3)=y_iesire(7);
iesire(4,4)=y_iesire(10);
numarul_starilor=4;
P=zeros(4,4,length(y));

```

```

A1=[0 1 0 0;0 0 0 1;0 1 0 0;0 0 0 1];
A0=[1 0 0 0;0 0 1 0;1 0 0 0;0 0 1 0];

gamma=zeros(numarul_starilor,numarul_starilor,length(y));
B1=zeros(numarul_starilor,numarul_starilor,length(y));
B0=zeros(numarul_starilor,numarul_starilor,length(y));
numarator=zeros(1,length(y));
numitor=zeros(1,length(y));
inf_apriori_egal=...
    zeros(numarul_starilor,numarul_starilor,length(y));

for l=1:length(y)
    inf_apriori_egal(:,l)=[C0egalizor(l),C1egalizor(l),...
        0,0;0,0,C0egalizor(l),C1egalizor(l);C0egalizor(l)...
        ,C1egalizor(l),0,0;0,0,C0egalizor(l),C1egalizor(l)];
end
%calcul gamma
for l=1:length(y)
    for i=1:4
        for j=1:4
            arg=-(y(l)-iesire(i,j))^2;
            P(i,j,l)=inf_apriori_egal(i,j,l)...
                *exp(arg/(2*varianta))*(1/sqrt(2*pi*varianta));
        end
    end
end
gamma=P;

N=length(y)+1;
%recursivitate inainte; initializare vector f
f=zeros(numarul_starilor,1,N);
f(:,1,1)=[1;0;0;0] ;
c=zeros(1,N);
c(1)=1;
%Calculul vector f
for i=1:(N-1)
    f(:,1,i+1)=gamma(:,i)*f(:,1,i);
    c(i+1)=sum(f(:,1,i+1));
    f(:,1,i+1)=f(:,1,i+1)./c(i+1);
end
%recursivitate inapoi; initializare vector b
b=zeros(numarul_starilor,1,N);
b(:,1,N)=[1;1;1;1];
%Calculul recursiv inapoi a vectorului b
for i=(N-1):-1:1
    b(:,1,i)=gamma(:,i)*b(:,1,i+1);
    h(i)=sum(b(:,1,i));
    b(:,1,i)=b(:,1,i)/h(i);
end
b;
for n=1:length(y)

```

```

B1(:,:,n)=A1.*gamma(:,:,n);
B0(:,:,n)=A0.*gamma(:,:,n);
end
date=zeros(1,N-1);
for l=1:(N-1)
    numarator(l)=f(:,:,l)*B1(:,:,l)*b(:,:,l+1);
    numitor(l)=f(:,:,l)*B0(:,:,l)*b(:,:,l+1);
    Lex(l)=log((numarator(l))/(numitor(l)));
end
for i=1:length(y)
    if Lex(i)>=0
        secventa_estimata(i)=1;
    elseif Lex(i)<0
        secventa_estimata(i)=-1;
    end
end
end

```

11. estimare0_LS.m

```

% estimarea initiala
function [h_est]=estimare0_LS(secventa_test,y)
    Nr=3;
    secv_test_cu_zero=[zeros(1,Nr-1) secventa_test];
    % se face modularea
    secv_test_cu_zero_mod_BPSK=2*secv_test_cu_zero-1;
    % in estimarea Ls aceasta este notata cu x
    x=secv_test_cu_zero_mod_BPSK;
    %-----
    %construirea matricei X

    Xc=zeros(1,length(x)+ Nr-1);
    for i=1:length(x)
        Xc(i)=x(i);
    end
    Xr=zeros(1,Nr);
    Xr(1)=x(1);
    Xr=Xr';
    X = toeplitz(Xc,Xr);
    %-----
    h_est = inv(X.*X) * X.' * y';
    h_est=h_est';

```

12. estimare_LS.m

```

%se utilizeaza pentru estimare iterativa
function [h_est]=estimare_LS(Secventa_rec,y)
%y -reprezinta secventa obtinuta la iesirea din canal
%secventa receptionata trebuie trecuta
%printr-un slicer (functia det prag)pt a obtine bitii 1 si 0.

```

```

[Secventa_rec]=det_prag(Secventa_rec);
%aceasta secventa trebuie codata
lungimea_secventei=length(Secventa_rec);
K=3;
g1=[1 1 1];g2=[1 0 1];
simboluri_rec_codate=codare(K,g1,g2,Secventa_rec);
simboluri_rec_codate=...
    simboluri_rec_codate(1:2*lungimea_secventei);
%se face o intretesere

simboluri_codate_intreteresute=...
    intreteresere(simboluri_rec_codate,lungimea_secventei);
Nr=3;
Secventa_cu_zero_rec=[zeros(1,Nr-1) simboluri_codate_intreteresute];
% se face modularea
Secventa_cu_zero_rec_mod_BPSK=2*Secventa_cu_zero_rec-1;
% in estimarea Ls aceasta este notata cu x
x=Secventa_cu_zero_rec_mod_BPSK;
%-----
%construirea matricei X

Xc=zeros(1,length(x)+ Nr-1);
for i=1:length(x)
    Xc(i)=x(i);
end
Xr=zeros(1,Nr);
Xr(1)=x(1);
Xr=Xr';
X = toeplitz(Xc,Xr);
%-----
h_est = inv(X.'*X) * X.' * y';
h_est=h_est';

```

13. intreteresere.m

```

function intreteresere=intreteresere...
    (Secventa,lungimea_secventei_de_date)
a=0;
matricea_de_intreteresere=...
reshape(Secventa,sqrt(2*lungimea_secventei_de_date),...
sqrt(2*lungimea_secventei_de_date));

[nr_linii,nr_coloane]=size(matricea_de_intreteresere);
for i=1:nr_linii
    a=[a matricea_de_intreteresere(i,:)];
end
intreteresere=a(2:(1+2*lungimea_secventei_de_date));

```

14. **trellis.m**

```

%matricea trellis
function trel = trellis(K,g1,g2)

memorie_trellis=K-1;
num_stari_trellis=2^(K-1);
trel.state=zeros(num_stari_trellis,2);
trel.iesire=zeros(num_stari_trellis,2);
s=zeros(1,memorie_trellis);
%implementarea matricii de stare
%prima linie a matricii de stare
for j=memorie_trellis:2
    s(j)=s(j-1);
end
s(1)=0;
trel.state(1,1)=bi2de(s);
s(1)=1;
trel.state(1,2)=bi2de(s);
%urmatoarele linii ale matricii
for i=1:num_stari_trellis-1
    s=de2bi(i);
    for j=memorie_trellis:2
        s(j)=s(j-1);
    end
    s(1)=0;
    trel.state(i+1,1)=bi2de(s);
    s(1)=1;
    trel.state(i+1,2)=bi2de(s);
end

%implemantarea primei coloane a matricii de iesire
W=zeros(1,K);
for w=1:num_stari_trellis ;
    iesireg1=0;
    iesireg2=0;
    H=de2bi(w-1);
    a=length(H);
    if a<K
        x=memorie_trellis-a;
        G=zeros(1,x);
        H=[H G];
    end
    a=isempty(H);
    if a==1
        H=zeros(1,memorie_trellis);
    end
    W=[0 H];
    iesire1=bitand(W,g1);
    iesire2=bitand(W,g2);
end
for j=1:2

```

```

        iesireg1=bitxor(iesireg1,iesire1(j+1));
        iesireg2=bitxor(iesireg2,iesire2(j+1));
    end
    z=[iesireg2 iesireg1];
    trel.iesire(w,1)=bi2de(z);
end
trel.iesire;
%implementarea coloanei a doua a matricii de iesire
W=zeros(1,K);
for w=1:num_stari_trelis
    iesireg1=1;
    iesireg2=1;
    H=de2bi(w-1);
    a=length(H);
    if a<K
        x=memorie_trelis-a;
        G=zeros(1,x);
        H=[H G];
    end
    a=isempty(H);
    if a==1
        H=zeros(1,memorie_trelis);
    end
    W=[1 H];
    iesire1=bitand(W,g1);
    iesire2=bitand(W,g2);
    for j=1:2
        iesireg1=bitxor(iesireg1,iesire1(j+1));
        iesireg2=bitxor(iesireg2,iesire2(j+1));
    end
    z=[iesireg2 iesireg1];
    trel.iesire(w,2)=bi2de(z);
end
trel.iesire;

```

15. iteratia_0.m

```

function [bitii_transmisi,simboluri_codate,...
    Lapos_dec_a0,Lapos_dec_b0, Lex_deint,y,...
    numar_erori,rata,y1,h_est]=...
    iteratia_0(varianta,lungimea_secventei,h)

    K=3;
    g1=[1 1 1];g2=[1 0 1];
    bitii_transmisi = randint(1,lungimea_secventei);
    %codificarea de canal; codare convolutionala
    simboluri_codate=codare(K,g1,g2,bitii_transmisi);
    simboluri_codate=simboluri_codate(1:2*lungimea_secventei);

```



```

%intretesere
simboluri_codate_intretesute=...
    intretesere(simboluri_codate,lungimea_secventei);

secventa_test=randint(1,18);%sau alte valori
%Dupa care aceste date trec prin canal otinandu-se la iesire y

amplitudinea=1; %amplitudinea semnalului
[y,y1]=canal(simboluri_codate_intretesute,...
    h,varianta,amplitudinea);
[y_test,y1_test]=canal(secventa_test,h,...
    varianta,amplitudinea); %secventa test prin canal

[h_est]=estimare0_LS(secventa_test,y1_test);

%Algoritmul MAP prin egalizor

[Lex,date_estimate]=egalizor_it0(y,varianta,h_est);
% informatia extrinseca provenita de la egalizor

%deintretesere
Lex_deint=deintretesere(Lex,lungimea_secventei);

%Genereaza informatia a-priori în decodor
[C0,C1]=conversie(Lex_deint);

%decodarea de canal----- Algoritmul MAP
[Lapos_dec_b0,Lapos_dec_a0]=decod_canal(C1,C0,Lex_deint);
%Lapos_dec_b0-este informatia a-posteriori generata
%de decodor din care rezulta bitii sursa(sistenatici) estimati
%Lapos_dec_a0-este informatia extinseca provenita de la decodor
% care se va utiliza la determinarea informatiei
% a-priori pentru egalizor

[numar_erori,rata]=calc_erorii(Lapos_dec_b0,bitii_transmisi);

```

16. iteratia_N.m

```

function [Lapos_dec_a,Lapos_dec_b,Lex_deint_apriori_dec,...
    numar_erori,rata]=iteratia_N(varianta,...
    Lapos_dec_a_anterior,Lex_deint,y,bitii_transmisi,h_est)

%Informatiile extrinseci la iesirea din decodor
Lextrinsec_decodor=Lapos_dec_a_anterior-Lex_deint;
%informatiile extrinseci combinate cu ale canalului
%(Lex_deint) sunt scoase din informatiile a-posteriori
%provenite din decodor

```

```
%Dupa intretesere
lungimea_secventei = length(bitii_transmisi);
Lapriori_egalizor=intretesere...
(Lextrinsec_decoder,lungimea_secventei);
%informatia apriori care merge la egalizor

%Informatii extrinseci la intrarea in egalizor
[C0egalizor,C1egalizor]=conversie(Lapriori_egalizor);

%Prin egalizor ----- algoritmul MAP
[Lextrinseci_egalizor0,secventa_estimata]=...
egalizor_itN(y,varianta,C1egalizor,...
C0egalizor,h_est);
%Se obtine la iesirea egalizorului informatii extrinseci

Lextrinseci_egalizor=...
Lextrinseci_egalizor0-Lapriori_egalizor; %Înainte de
%a transmite decodorului SISO informatia a-posteriori
%generata de egalizorul SISO, trebuie eliminata contributia
%decodorului (ca informatie a-priori),de
% la iteratia anterioara,pentru a aduce la intrarea
% decodorului doar informatiile extrinseci combinate
% cu ale canalului.

%deintretesere
Lex_deint_apriori_dec=...
deintretesere(Lextrinseci_egalizor,lungimea_secventei);

%Obtinerea informatiilor la intrarea in decodor
[C0,C1]=conversie( Lex_deint_apriori_dec);

%decodor canal algoritm MAP
[Lapos_dec_b,Lapos_dec_a]=...
decod_canal(C1,C0,Lex_deint_apriori_dec);

[numar_eroari,rata]=calc_eroarii(Lapos_dec_b,bitii_transmisi);
```